



TUGAS AKHIR - KI141502

ESTIMASI BIAYA PERANGKAT LUNAK MENGGUNAKAN METODE COCOMO YANG DIMODIFIKASI

Johannes Christian P. Sidabutar
NRP 5111100 179

Dosen Pembimbing
**Prof. Drs. Ec. Ir. Rianarto Sarno, M.Sc.,Ph.D.
Sarwosri, S.Kom., M.T.**

**JURUSAN TEKNIK INFORMATIKA
Fakultas Teknologi Informasi
Institut Teknologi Sepuluh Nopember
Surabaya 2015**



FINAL PROJECT - KI141502

ESTIMATING SOFTWARE COST BASED ON MODIFIED COCOMO

Johannes Christian P. Sidabutar
NRP 5111100 179

Lecture Supervisors
Prof. Drs. Ec. Ir. Riyanto Sarno, M.Sc.,Ph.D.
Sarwosri, S.Kom., M.T.

DEPARTMENT OF INFORMATICS
Faculty of Information Technology
Institut Teknologi Sepuluh Nopember
Surabaya 2015

ESTIMASI BIAYA PERANGKAT LUNAK MENGGUNAKAN METODE COCOMO YANG DIMODIFIKASI

TUGAS AKHIR

Dikeren Untuk Memenuhi Salah Satu Syarat
Memperoleh Gelar Sarjana Komputer
pada

Rumusan Mata Kuliah Manajemen Informasi
Program Studi S-1 Jurusan Teknik Informatika
Fakultas Teknologi Informasi
Institut Teknologi Sepuluh Nopember

Oleh
Johannes Christian P. Sidabutar
NRP : 5111 100 179

Diklasifikasi oleh Dosen Pembimbing Tugas Akhir

Pmt. Drs. Ec. Ir. Riyanto Samo
NIP. 19590803 198601 1 001

Sewosri. S.Kom.M.T.
NIP. 19760809 200112 2 001



SURABAYA
JUNI, 2015

ESTIMASI BIAYA PERANGKAT LUNAK MENGGUNAKAN METODE COCOMO YANG DIMODIFIKASI

Nama Mahasiswa : Johannes Christian P. Sidabutar
NRP : 5111100179
Jurusan : Teknik Informatika FTIf-ITS
Dosen Pembimbing 1 : Prof. Drs. Ec. Ir. Riyanto Sarno, M.Sc., Ph.D.
Dosen Pembimbing 2 : Sarwosri, S.Kom. M.T.

Abstrak

Dewasa ini, perangkat lunak merupakan sebuah kebutuhan bagi sebagian masyarakat. Tidak bisa dipungkiri, perangkat lunak dapat membantu manusia mempermudah segala pekerjaanya. Perangkat lunak diharapkan bisa memiliki kemampuan yang diharapkan oleh pemakainya. Seiring berkembangnya kebutuhan manusia, perangkat lunak juga diharapkan bisa berevolusi sesuai kebutuhan. Namun, evolusi perangkat tersebut harus bisa diandalkan dan memiliki performa yang baik. Dalam rangka mengatasi permasalahan tersebut diperlukan estimasi biaya yang mampu memperkirakan segala kebutuhan yang terdapat pada sebuah aplikasi.

Estimasi biaya perangkat lunak merupakan hal yang sangat penting dalam pengembangan aplikasi. Namun, banyak pengembang aplikasi kurang mempertimbangkan hal ini. Mereka hanya memperkirakan biaya aplikasi berdasarkan kebutuhan fungsional maupun metode atau algoritma yang digunakan. Model estimasi biaya aplikasi berbasis algoritma memiliki keterbatasan dalam mengatasi ketidaktentuan dan kesalahan dalam tahap awal pengembangan aplikasi.

Tugas akhir ini berusaha untuk memecahkan permasalahan tersebut. Estimasi biaya yang dikembangkan meliputi model algoritma dan non algoritma. Metode algoritma dikembangkan dengan bantuan Constructive Cost Model

(COCOMO) yang merupakan teknik estimasi biaya perangkat lunak yang paling umum digunakan dalam pengembangan perangkat lunak. COCOMO bergantung pada beberapa variabel yang disebut dengan cost drivers. Cost drivers ini dikembangkan oleh beberapa ahli dan dikalkulasi menggunakan fungsi matematika. Namun dalam perkembangannya, untuk meningkatkan akurasi dari model ini diperlukan implementasi model non algoritma untuk mengatasi ketidakpastian dan kesalahan. Tugas akhir ini mengimplementasi fuzzy logic dan artificial neural network sebagai model non algoritma yang dapat memperbaiki akurasi COCOMO. Diharapkan kedua metode ini dapat membantu pengembang aplikasi dalam memperkirakan biaya aplikasi secara lebih akurat.

Kata Kunci : manajemen informasi, perangkat lunak, estimasi biaya perangkat lunak, COCOMO, fuzzy logic, artificial neural network, cost drivers.

“ESTIMATING SOFTWARE COST BASED ON MODIFIED COCOMO.”

Student Name	:	Johannes Christian P
Student ID	:	5111100179
Major	:	Teknik Informatika FTIf-ITS
Advisor 1	:	Prof. Drs. Ec. Ir. Rianarto Sarno, M.Sc.,Ph.D.
Advisor 2	:	Sarwosri, S.Kom., M.T.

Abstract

Recently, software has become needs for some people. It cannot be denied, software could help people to ease their activities. Software is expected to have ability as what the user hoped for. As the developing of people needs, software also is anticipated to evolve as the requirement. But, the software evolution must be reliable and have good performance. In order to handle the problem, it is needed cost estimation that could manage every requirement which software has.

Software cost estimation is one of critical tasks in software development. But, some developers less consider this issue. They estimate software cost based one algorithmic models. These models are limited by their inability to cope with uncertainties and imprecision in early stage of software development.

This final project tries to handle the problems. Cost estimation which is implemented based on algorithmic and non algorithmic models. Algorithmic model is applied with help of Constructive Cost Model (COCOMO) which is most common software cost estimation model. COCOMO depends on several variables or cost drivers. Cost drivers is designed by some experts and calculated with mathematical functions. But, in order to improve the accuracy, the model requires implementation of non algorithmic models which could help to overcome uncertainties and imprecision. This final project implements fuzzy logic and artificial neural network as non algorithmic models which could

improve the accuracy of COCOMO. It is expected that these models could help software developer to estimate software cost accurately.

Keywords: *information management, software, software cost estimation, COCOMO, fuzzy logic, artificial neural network, cost drivers.*

KATA PENGANTAR

Puji syukur kepada Tuhan Yang Maha Esa atas segala karunia dan rahmat-Nya penulis dapat menyelesaikan tugas akhir yang berjudul:

“Estimasi Biaya Perangkat Lunak Menggunakan Metode COCOMO yang Dimodifikasi”

Harapan dari penulis semoga apa yang tertulis di dalam buku tugas akhir ini dapat bermanfaat bagi pengembangan ilmu pengetahuan saat ini, serta dapat memberikan kontribusi yang nyata.

Dalam pelaksanaan dan pembuatan tugas akhir ini tentunya sangat banyak bantuan yang penulis terima dari berbagai pihak, tanpa mengurangi rasa hormat penulis ingin mengucapkan terima kasih sebesar-besarnya kepada:

1. Keluarga penulis yang selalu memberikan dukungan penuh dan memberikan semangat untuk menyelesaikan tugas akhir ini.
2. Bapak Prof. Riyanarto Sarno selaku pembimbing pertama yang membantu penulis memecahkan setiap permasalahan yang ada dan memberikan petunjuk selama penggerjaan tugas akhir ini. Penulis juga berterima kasih untuk kesediaan pembimbing dalam meluangkan waktu dalam proses menyelesaikan tugas akhir ini.
3. Ibu Sarwosri selaku pembimbing kedua yang telah bersedia meluangkan waktu untuk memberikan petunjuk selama proses penggerjaan tugas akhir ini.
4. Bapak Victor Hariadi selaku dosen wali penulis, serta segenap dosen Jurusan Teknik Informatika ITS yang telah banyak memberikan ilmu dan bimbingan yang tak ternilai harganya bagi penulis.
5. Seluruh staf dan karyawan FTIf ITS yang banyak memberikan kelancaran administrasi akademik kepada penulis.

6. Nadia Emeralda Christiana yang selalu memberi dorongan dan semangat.
7. Teman-teman penghuni Lab IGS dan MI yang telah memberikan banyak dukungan dan semangat serta tempat kepada penulis.
8. Teman-teman angkatan 2011 jurusan Teknik Informatika ITS yang telah menemani perjuangan selama 4 tahun ini atas saran, masukan, dan dukungan terhadap pengerjaan tugas akhir ini.
9. Serta pihak-pihak lain yang tidak dapat disebutkan disini yang telah banyak membantu penulis dalam penyusunan tugas akhir ini.

Penulis telah berusaha sebaik-baiknya dalam menyusun tugas akhir ini, namun penulis mohon maaf apabila terdapat kekurangan, kesalahan maupun kelalaian yang telah penulis lakukan. Kritik dan saran yang membangun dapat disampaikan sebagai bahan perbaikan selanjutnya.

Surabaya, Juni 2015

Johannes Christian P

DAFTAR ISI

LEMBAR PENGESAHAN	v
Abstrak	vii
<i>Abstract</i>	ix
KATA PENGANTAR.....	xi
DAFTAR ISI.....	xiii
DAFTAR GAMBAR	xvii
DAFTAR TABEL	xix
BAB I PENDAHULUAN	1
1.1 Latar Belakang	1
1.2 Tujuan	2
1.3 Rumusan Permasalahan.....	2
1.4 Batasan Permasalahan	2
1.5 Metodologi	2
1.6 Sistematika Penulisan.....	4
BAB II TINJAUAN PUSTAKA	7
2.1. Penelitian Terkait	7
2.2. Perangkat Lunak.....	7
2.3. <i>Software Cost Estimation</i>	8
2.3.1. <i>Algorithmic models</i>	9
2.3.2. <i>Non-algorithmic models</i>	9
2.4. COCOMO	10
2.4.1. COCOMO 81	10
2.4.2. COCOMO II.....	14

2.5. <i>Fuzzy Logic</i>	24
2.5.1. <i>Fuzzification Process</i>	25
2.5.2. <i>Inference Process</i>	26
2.5.3. <i>Defuzzification Process</i>	27
2.6. <i>Neural Network</i>	28
BAB III ANALISIS DAN PERANCANGAN SISTEM	31
3.1. Analisis	31
3.1.1. Analisis Permasalahan	31
3.1.2. Data Uji	33
3.1.3. Optimasi COCOMO dengan <i>Fuzzy Logic</i>	36
3.1.4. Pendekatan Metode <i>Fuzzy</i> pada COCOMO.....	37
3.1.5. Optimasi COCOMO dengan <i>Neural Network</i>	40
3.1.6. Pendekatan <i>Fuzzy</i> dan <i>Artificial Neural Network</i> pada COCOMO	47
3.1.7. Deskripsi Umum Aplikasi berbasis Metode yang Dikembangkan	47
3.2. Perancangan Sistem	53
3.2.1. Perancangan Antarmuka Pengguna	53
BAB IV IMPLEMENTASI.....	55
4.1. Lingkungan Implementasi.....	55
4.2. Penjelasan Implementasi	55
4.3. Implementasi <i>Fuzzy</i> pada COCOMO II	56
4.4. Implementasi <i>Neural Network</i> pada <i>Fuzzy</i> COCOMO II ...	65
4.5. Implementasi Aplikasi Estimasi Biaya Perangkat Lunak ...	67
BAB V PENGUJIAN DAN EVALUASI.....	69
5.1. Lingkungan Uji Coba.....	69

5.2. Metode Pengujian.....	69
5.3. Evaluasi COCOMO 81, COCOMO II, dan Fuzzy COCOMO II.....	70
5.4. Evaluasi <i>Neural Network</i> pada <i>Fuzzy COCOMO</i>	71
5.5. Uji Coba pada Aplikasi Estimasi Biaya Perangkat Lunak ..	74
5.5.1. Uji Coba Memasukkan Nilai Atribut	74
5.5.2. Uji Coba Melihat Nilai Estimasi Biaya Perangkat Lunak .	76
BAB VI KESIMPULAN DAN SARAN	79
6.1 Kesimpulan	79
6.2 Saran	79
DAFTAR PUSTAKA.....	81
LAMPIRAN.....	85
A. COCOMO Dataset	85
B. NASA Dataset.....	89
D. Hasil estimasi biaya perangkat lunak menggunakan metode COCOMO 81.....	111
E. Hasil estimasi biaya perangkat lunak menggunakan metode COCOMO II.	117
F. Hasil estimasi biaya perangkat lunak menggunakan metode <i>Fuzzy-COCOMO II</i>	123
G. Daftar Istilah	128
BIODATA PENULIS.....	130

(Halaman ini sengaja dikosongkan)

DAFTAR TABEL

Tabel 2. 1. Konstanta pada setiap mode di COCOMO 81	11
Tabel 2. 2. Kategori <i>Effort Multiplier</i>	12
Tabel 2. 3. Nilai dari COCOMO <i>effort multiplier</i>	13
Tabel 2. 4. Perbedaan COCOMO 81 dan COCOMO II.....	15
Tabel 3. 1 Atribut COCOMO Dataset	34
Tabel 3. 2. Atribut NASA 93 Dataset.....	35
Tabel 3. 3. Daftar Kebutuhan Fungsional Perangkat Lunak	48
Tabel 3. 4. Daftar Kode Diagram Kasus Penggunaan.....	49
Tabel 3. 5. Spesifikasi Kasus Pengguna Memasukkan Nilai Atribut	50
Tabel 3. 6. Spesifikasi Kasus Pengguna Melihat Estimasi.....	52
Tabel 4. 1. COCOMO II <i>Effort Multiplier</i>	63
Tabel 4. 2. <i>Fuzzy</i> COCOMO II <i>Effort Multiplier</i>	64
Tabel 5. 1. Perbandingan MMRE terhadap COCOMO 81, COCOMO II dan <i>fuzzy</i> COCOMO II	70
Tabel 5. 2. Perbandingan MRE COCOMO dengan <i>neural network</i> pada <i>dataset</i> COCOMO	72
Tabel 5. 3. Perbandingan MRE COCOMO dengan <i>neural network</i> pada <i>dataset</i> COCOMO	73
Tabel 5. 4. <i>Blackbox Testing</i> Kasus Pengguna Memasukkan Nilai Atribut.....	74
Tabel 5. 5. <i>Blackbox Testing</i> Kasus Pengguna Memasukkan Nilai Atribut.....	77

DAFTAR GAMBAR

Gambar 2. 1. Deskripsi RELY.....	17
Gambar 2. 2. Deskripsi DATA.....	17
Gambar 2. 3. Deskripsi RUSE.....	17
Gambar 2. 4. Deskripsi DOCU.....	18
Gambar 2. 5. Deskripsi TIME	18
Gambar 2. 6. Deskripsi STOR.....	19
Gambar 2. 7. Deskripsi PVOL.....	19
Gambar 2. 8. Deskripsi ACAP	19
Gambar 2. 9. Deskripsi PCAP	20
Gambar 2. 10. Deskripsi PCON	20
Gambar 2. 11. Deskripsi APEX.....	20
Gambar 2. 12. Deskripsi PLEX.....	21
Gambar 2. 13. Deskripsi LTEX.....	21
Gambar 2. 14. Deskripsi TOOL	22
Gambar 2. 15. Deskripsi SITE.....	22
Gambar 2. 16. Deskripsi SCED.....	22
Gambar 2. 17. Deskripsi CPLX.....	23
Gambar 2. 18. Nilai dari <i>scale factors</i>	24
Gambar 2. 19. <i>Fuzzy Inference System</i>	24
Gambar 2. 20. <i>Triangular Membership Function</i>	25
Gambar 2. 21. <i>Trapezoidal Membership Function</i>	26
Gambar 2. 22. <i>Gaussian Membership Function</i>	26
Gambar 2. 23. <i>Defuzzification Process</i>	28
Gambar 2. 24. <i>Single-layer two-input perceptron</i>	29
Gambar 3. 1. Arsitektur Fuzzy Logic untuk COCOMO	37
Gambar 3. 2. Representasi DATA menggunakan <i>Gaussian Membership Function</i>	39
Gambar 3. 3. <i>Multilayer Neural Netwok</i>	41
Gambar 3. 4 . Diagram Alur Implementasi <i>Basic Architecture</i>	42
Gambar 3. 5. Arsitektur <i>Basic Neural Network</i>	43
Gambar 3. 6. Diagram Alur Implementasi <i>Modified Architecture</i>	45
Gambar 3. 7. Arsitektur <i>Modified Neural Network</i>	46

Gambar 3. 8. Diagram Alur Proses Implementasi Fuzy Logic dan Neural Network pada COCOMO II	47
Gambar 3. 9. Diagram Kasus Penggunaan Sistem.....	49
Gambar 3. 10. Diagram Aktifitas Menghitung Biaya Perangkat Lunak	51
Gambar 3. 11. Diagram Aktifitas Menampilkan estimasi biaya perangkat lunak	52
Gambar 3. 12. Antarmuka Aplikasi Estimasi Biaya Perangkat Lunak	53
Gambar 4. 1. FIS Editor	57
Gambar 4. 2. <i>Membership Function</i> pada FIS Editor	57
Gambar 4. 3. <i>Membership Function Editor</i>	58
Gambar 4. 4. Deskripsi LTEX	59
Gambar 4. 5. <i>LTEX Membership Function</i>	59
Gambar 4. 6. <i>Output</i> pada <i>Membership Function Editor</i>	60
Gambar 4. 7. Nilai LTEX <i>Effort Multiplier</i>	61
Gambar 4. 8. <i>LTEX Membership Function</i>	61
Gambar 4. 9. <i>Rule Editor</i> LTEX	62
Gambar 4. 10. <i>Rule Viewer</i> LTEX	63
Gambar 5. 1. Grafik perbandingan MMRE terhadap COCOMO 81, COCOMO II dan <i>fuzzy</i> COCOMO II	71
Gambar 5. 2. Peringatan field masih ada yang belum diisi pada aplikasi	76
Gambar 5. 3. Aplikasi menampilkan jumlah pegawai, lama serta biaya perangkat lunak	77

BAB I

PENDAHULUAN

Pada bab ini akan dipaparkan mengenai garis besar tugas akhir yang meliputi latar belakang, tujuan, rumusan dan batasan permasalahan, metodologi pembuatan tugas akhir, dan sistematika penulisan.

1.1 Latar Belakang

Perangkat lunak merupakan sebuah kebutuhan bagi sebagian masyarakat. Tidak bisa dipungkiri, perangkat lunak dapat membantu manusia mempermudah segala pekerjaanya. Perangkat lunak diharapkan bisa memiliki kemampuan yang diharapkan oleh pemakainya. Seiring berkembangnya kebutuhan manusia, perangkat lunak juga diharapkan bisa berevolusi sesuai kebutuhan. Namun, evolusi perangkat tersebut harus bisa diandalkan dan memiliki performa yang baik. Dalam rangka mengatasi permasalahan tersebut diperlukan estimasi biaya yang mampu memperkirakan segala kebutuhan yang terdapat pada sebuah aplikasi.

Saat ini, teknik estimasi yang paling umum digunakan adalah *Constructive Cost Model* (COCOMO). COCOMO merupakan teknik estimasi biaya aplikasi berbasis pada metode algoritma. Namun dalam perkembangannya, untuk meningkatkan akurasi dari model ini diperlukan implementasi model non algoritma untuk mengatasi ketidaktentuan dan kesalahan dalam tahap awal pengembangan aplikasi.

Untuk mengatasi segala permasalahan diatas, tugas akhir ini menggabungkan metode algoritma dan non algoritma dalam memprediksi biaya perangkat lunak. Hal ini dilakukan dengan cara mengimplementasi metode *fuzzy logic* dan *artificial neural network* pada COCOMO. Dengan penggabungan metode ini diharapkan biaya aplikasi dapat diestimasi dengan akurat dan dapat mengatasi permasalahan ketidakpastian dan kesalahan.

1.2 Tujuan

Tujuan dari pembuatan tugas akhir ini adalah membangun model estimasi biaya perangkat lunak secara lebih akurat yang dapat mengatasi ketidakpastian dan kesalahan yang mungkin terjadi.

1.3 Rumusan Permasalahan

Berikut adalah beberapa rumusan masalah yang terdapat dalam rancang bangun sistem ini:

1. Bagaimana menemukan model yang tepat dalam estimasi biaya aplikasi?
2. Bagaimana memodelkan kebutuhan aplikasi pada COCOMO?
3. Bagaimana meningkatkan akurasi pada COCOMO dengan mengimplementasi metode non algoritma?

1.4 Batasan Permasalahan

Permasalahan yang dibahas dalam tugas akhir ini memiliki beberapa batasan, di antaranya sebagai berikut:

1. Mengimplementasikan *fuzzy logic* dan *artificial neural network* ke dalam COCOMO dalam rangka meningkatkan akurasi estimasi biaya perangkat lunak.
2. Data uji yang digunakan berdasarkan data uji yang telah ada yang berasal dari COCOMO dan NASA.

1.5 Metodologi

Langkah-langkah yang ditempuh dalam penggerjaan tugas akhir ini yaitu:

1. Studi literatur

Pada tahap ini dilakukan pengumpulan informasi

mengenai bagaimana memodelkan biaya aplikasi, model apa saja yang berkembang, serta bagaimana meningkatkan akurasi estimasi biaya aplikasi.

2. Analisis

Pada tahap ini dilakukan analisis yang bertujuan untuk mengetahui sifat atau kecenderungan dari COCOMO serta mencari metode untuk menambahkan metode lain dalam rangka memperbaiki akurasi.

3. Implementasi

Pada tahap ini dilakukan pembuatan elemen estimasi biaya perangkat lunak serta perbaikan estimasi melalui metode non algoritma

Perincian tahap ini adalah sebagai berikut:

- a. Implementasi estimasi biaya aplikasi menggunakan COCOMO
- b. Implementasi *fuzzy logic* pada COCOMO.
- c. Implementasi *artificial neural network* pada COCOMO.

4. Pengujian dan evaluasi

Pada tahap ini dilakukan pengujian terhadap model yang dikembangkan dengan memakai data uji yang telah dipersiapkan.

5. Penyusunan buku tugas akhir

Pada tahap ini dilakukan pendokumentasian dan pelaporan dari seluruh konsep, dasar teori, implementasi, proses yang telah dilakukan, dan hasil-hasil yang telah didapatkan selama penggerjaan tugas akhir.

1.6 Sistematika Penulisan

Buku tugas akhir ini bertujuan untuk mendapatkan gambaran dari penggerjaan tugas akhir ini. Selain itu, diharapkan dapat berguna untuk pembaca yang tertarik untuk melakukan pengembangan lebih lanjut. Secara garis besar, buku tugas akhir terdiri atas beberapa bagian seperti berikut ini.

BAB I. PENDAHULUAN

Bab ini berisi mengenai latar belakang, tujuan, dan manfaat dari pembuatan tugas akhir. Selain itu, permasalahan, batasan masalah, metodologi yang digunakan, dan sistematika penulisan juga merupakan bagian dari bab ini.

BAB II. TINJAUAN PUSTAKA

Bab ini berisi penjelasan secara detail mengenai dasar-dasar penunjang dan teori-teori yang digunakan untuk mendukung pembuatan tugas akhir ini.

BAB III. METODE PEMECAHAN MASALAH

Pada bab ini akan dibahas mengenai metodologi pemecahan masalah yang digunakan sebagai dasar solusi dari pembuatan Tugas Akhir.

BAB IV. ANALISIS DAN PERANCANGAN SISTEM

Bab ini membahas tahap analisis permasalahan dan perancangan dari sistem yang akan dibangun. Analisis permasalahan membahas permasalahan yang yang diangkat dalam penggerjaan tugas akhir.

BAB IV. IMPLEMENTASI

Bab ini membahas implementasi dari desain yang telah dibuat pada bab sebelumnya. Bab ini berisi proses implementasi dari setiap kelas pada semua modul.

BAB V. PENGUJIAN DAN EVALUASI

Bab ini menjelaskan kemampuan perangkat lunak dengan melakukan pengujian kebenaran dan pengujian kinerja dari sistem yang telah dibuat.

BAB VI. KESIMPULAN DAN SARAN

Bab ini merupakan bab terakhir yang menyampaikan kesimpulan dari hasil uji coba yang dilakukan dan saran untuk pengembangan perangkat lunak ke depannya.

BAB II

TINJAUAN PUSTAKA

Pada bab ini akan dibahas mengenai teori-teori yang menjadi dasar dari pembuatan tugas akhir.

2.1. Penelitian Terkait

Reddy dan Raju [1] melakukan sebuah penelitian untuk meningkatkan akurasi dengan cara melakukan proses *fuzzifying* pada COCOMO *cost drivers*. Mereka mempelajari sifat dari COCOMO *cost drivers*, kemudian melakukan pendekatan menggunakan karakter dari *Gaussian Membership Function* pada *cost drivers* dalam rangka merepresentasi nilai linguistik dari setiap variabel. Hasil penelitian yang dilakukan menunjukkan bahwa model yang dikembangkan lebih akurat dibanding model asli dari COCOMO maupun *Trapezoidal Membership Function (TMF)*.

Kaushik dan Soni [2] mengobservasi penggunaan dari *back-propagation neural networks* dalam estimasi biaya perangkat lunak. Mereka meningkatkan akurasi dari model COCOMO dengan cara melakukan proses training terhadap arsitekur *neural network* untuk setiap *dataset*. Hasil penelitian menunjukkan pendekatan dengan *neural network* memiliki akurasi yang lebih baik dibanding COCOMO.

2.2. Perangkat Lunak

Perangkat lunak adalah instruksi (program komputer) yang bila dieksekusi dapat menjalankan fungsi tertentu, struktur data yang dapat membuat program memanipulasi informasi, dokumen yang menjelaskan program [2]. Teknik implementasi perangkat lunak disebut dengan *software engineering*. *Software Engineering* adalah pendekatan aplikasi yang sistematis, disiplin, terukur untuk mengembangkan, melakukan operasi dan perbaikan perangkat lunak [3]. Adapun hal-hal yang penting dalam rekayasa perangkat lunak adalah :

- a. Ketepatan waktu (*on time*)
- b. Kesesuaian biaya (*on budget*)
- c. Kemampuan yang memadai (*acceptable performance*)
- d. Operasi yang sesuai (*correct operation*)

Dalam *software engineering* tidak hanya diperlukan ilmu komputer yang mumpuni namun juga diperlukan ilmu manajemen yang handal. Ilmu manajemen proyek meliputi semua hal yang berkaitan dengan proyek, seperti ruang lingkup proyek, anggaran, tenaga kerja, kualitas, manajemen resiko dan keandalan, perbaikan kualitas, dan metode-metode kuantitatif. Secara spesifik, ilmu manajemen ini berperan dalam menciptakan ketepatan waktu dan kesesuaian biaya. Dalam pengembangannya dikenal dengan 2 model umum dalam pengembangan aplikasi yaitu *Waterfall Model* dan *Spiral Model*.

2.3. *Software Cost Estimation*

Software cost atau biaya perangkat lunak adalah anggaran dana yang dikeluarkan dalam pengembangan sebuah aplikasi. *Software cost estimation* memiliki arti memprediksi total tenaga (*effort*), waktu dan tingkat kemampuan karyawan yang dibutuhkan dalam pengembangan sebuah perangkat lunak [4]. Estimasi ini sangat penting dalam perencanaan sebuah perangkat lunak dikarenakan permasalahan utama umumnya terjadi dalam tiga bulan pengembangan perangkat lunak menjadi dua yaitu *algorithmic* dan *non-algorithmic model*. yang dikarenakan jadwal yang terburu-buru, kurangnya komitmen, dan tidak profesional dalam teknik estimasi biaya [5].

Estimasi biaya yang terbaik adalah perkiraan yang dibuat dia tahap awal pengembangan aplikasi, yang didasarkan pada studi kelayakan dan dokumen spesifikasi kebutuhan [6]. Akan tetapi, estimasi pada tahap awal pengembangan aplikasi sangat sulit dilakukan, umumnya estimasi ini kurang akurat dikarenakan hanya sedikit yang dapat diketahui atau diprediksi pada tahap awal.

Estimasi biaya serta jadwal dalam pengembangan perangkat lunak berguna untuk perencanaan dan pemantauan

sebuah aplikasi. Teknik estimasi perangkat lunak dapat dikategorikan menjadi dua yaitu *algorithmic* dan *non-algorithmic model*.

2.3.1. Algorithmic models

Barry W. Boehm adalah peneliti pertama yang melihat *software engineering* dari sudut pandang ekonomi kemudian melahirkan model estimasi biaya perangkat lunak. Pada tahun 1981, COCOMO-81 diciptakan setelah mempelajari basis data yang besar dari perusahaan TRW Inc. yaitu perusahaan besar yang bergerak dibidang otomotif dan kedirgantaraan [7]. Putnam juga mengembangkan teknik estimasi biaya perangkat lunak yang disebut dengan SLIM pada tahun 1978 [8]. Baik COCOMO maupun SLIM, keduanya memakai jumlah kode program (*Line of Code*) sebagai masukan yang penting pada teknik estimasi yang mereka kembangkan.

Algorithmic model ialah teknik estimasi model yang bergantung pada data biaya pengembangan aplikasi terdahulu. Namun, model ini memiliki keterbatasan dikarenakan atribut dan *relationships* yang digunakan untuk memprediksi biaya perangkat lunak bisa berubah setiap saat, hal ini dapat menciptakan perbedaan pada ruang lingkup pengembangan perangkat lunak [9].

Dalam perkembangannya, model ini dinilai gagal untuk menciptakan solusi yang tepat sesuai dengan perkembangan teknologi. Model ini hanya dapat berhasil pada sebagian kecil model pengembangan perangkat lunak tapi tidak bisa diterapkan pada model pengembangan yang lain.

2.3.2. Non-algorithmic models

Pada tahun 1990 peneliti merubah perhatian dalam estimasi biaya perangkat lunak menjadi berbasis *soft computing*. *Soft computing* adalah segolongan metoda yang mampu mengolah data dengan baik walaupun didalamnya terdapat ketidakpastian, ketidakakuratan maupun kebenaran parsial [10]. *Soft computing*

dapat dikategorikan ke dalam tiga tipe. Mereka adalah *fuzzy logic*, *neural networks* dan *probabilistic reasoning*. Hal yang penting yang terdapat dalam *soft computing* adalah metode ini bersifat komplementer dan sinergis, bukan kompetitif. Artinya, metode ini bersifat saling melengkapi dan bekerja sama dalam mengatasi permasalahan yang bersifat tidak pasti atau ambigu. Tujuan penggunaan metode ini adalah untuk mencari toleransi pada ketidakpastian, ketidakpastiaan, perkiraan dan kebenaran yang parsial untuk mencapai solusi yang diinginkan.

2.4. COCOMO

Cost Constructive Model (COCOMO) adalah teknik estimasi perangkat lunak menggunakan *source of line code* (SLOC) yang digunakan untuk mengestimasi biaya, tenaga yang diperlukan, dan penjadwalan dalam pengembangan perangkat lunak. COCOMO merupakan model estimasi perangkat lunak yang menggunakan *algorithmic model* dimana model ini dikembangkan dengan cara mengumpulkan banyak data dari perangkat lunak yang sudah pernah dikerjakan. Data ini dianalisa untuk menemukan formula yang tepat sesuai dengan hasil observasi. Dalam perkembangannya COCOMO terbagi 2 jenis yaitu COCOMO 81 dan COCOMO II. Hasil dari estimasi biaya disebut *person-month* yang berarti jumlah usaha yang harus dilakukan pegawai dalam suatu periode bulan. Pada COCOMO dikenal istilah *cost drivers* yang memiliki arti variabel atau parameter yang digunakan dalam estimasi biaya perangkat lunak.

2.4.1. COCOMO 81

COCOMO 81 pertama kali diterbitkan pada tahun 1981 oleh Barry Boehm W. [11] sebagai model untuk memperkirakan usaha, biaya, dan jadwal untuk proyek-proyek perangkat lunak. Ini menarik pada studi dari 63 proyek di TRW Aerospace di mana Barry Boehm adalah Direktur Riset dan Teknologi Perangkat Lunak pada tahun 1981. Penelitian ini memeriksa proyek-proyek

yang memiliki ukuran mulai dari 2.000 sampai 100.000 baris kode dan bahasa pemrograman yang digunakan. Proyek-proyek ini didasarkan pada model pengembangan perangkat lunak dengan *waterfall model* yang merupakan proses pengembangan perangkat lunak yang umum pada tahun 1981. Model ini memiliki tiga mode yang dibagi berdasarkan lingkup kerja, ukuran dari perangkat lunak, dan batasan-batasan yang terkait proyek perangkat lunak. Ketiga mode tersebut yaitu:

- a. *Organic*: mode ini digunakan untuk perangkat lunak dengan sedikit pengembang atau karyawan yang terlibat, perangkat lunak juga umum diimplementasikan, dan biasanya pengembangannya bersifat rumahan atau skala kecil.
- b. *Embedded*: mode ini digunakan untuk perangkat lunak yang memiliki batasan yang sangat jelas di mana perangkat lunak ini sangat terikat dengan perangkat keras, perangkat lunak, regulasi dan prosedur operasional yang kompleks.
- c. *Semi-detached*: mode ini berada diantara mode *organic* dan *embedded*. Biasanya perangkat lunak pada mode ini memiliki baris kode mencapai 300000 baris.

Mode yang terdapat diatas dipergunakan sebagai acuan dalam penentuan konstanta. Tabel 2.1. memperlihatkan daftar konstanta berdasarkan mode yang digunakan.

Tabel 2. 1. Konstanta pada setiap mode di COCOMO 81

Model	A	B	c	D
Organic	2.4	1.05	2.5	0.38
Semi-detached	3.0	1.12	2.5	0.35
Embeded	3.6	1.2	2.5	0.32

Persamaan 2.1. menampilkan persamaan yang digunakan untuk menghitung usaha serta waktu yang dibutuhkan pada COCOMO 81 .

$$PM = a * (KDSI)^b * \prod_i^p EMi$$

...(2.1.)

$$TDEV = c * (PM)^d$$

Dimana:

- a. PM adalah usaha dalam *person-month*.
- b. EM adalah perkalian dari setiap variabel *effort mutiplier*.
- c. TDEV adalah waktu yang diperlukan untuk mengembangkan sebuah perangkat lunak.
- d. KDSI adalah jumlah baris kode (dalam ribuan).
- e. a,b,c,d merupakan konstanta yang didapat tergantung pada mode yang digunakan.

Pada COCOMO 81 terdapat 15 *effort multiplier* yang terbagi dalam empat kategori. *Effort multiplier* ini merupakan *linguistic variable* (variabel verbal) yang mendeskripsikan parameter yang digunakan dalam pengembangan perangkat lunak. Setiap *effort multiplier* memiliki skala dari Very Low sampai Extra High dimana setiap skala ini memiliki nilai tersendiri yang nantinya dipergunakan untuk menghitung usaha yang diperlukan. Tabel 2.2. menampilkan daftar *effort multiplier* beserta kategorinya. Sedangkan Tabel 2.3 menampilkan nilai setiap skala pada *effort multiplier*.

Tabel 2. 2. Kategori *Effort Multiplier*

Kategori	Effort Multiplier
Product Attributes	RELY - Required reliability
	DATA - Database size
	CPLX - Product complexity
Computer Attributes	TIME – Execution time constraint
	STOR – Main storage constraint
	VIRT – Virtual machine volatility

Kategori	Effort Multiplier
	TURN – Computer turnaround time
Personnel Attributes	ACAP – Analyst capability
	PCAP – Programmer capability
	VEXP - Virtual machine experience
	AEXP – Application experience
	LEXP - Programming language experience
Project Attributes	MODP - Modern programming practices
	TOOL - Use of software tools
	SCED - Required development schedule

Tabel 2. 3. Nilai dari COCOMO *effort multiplier*

Effort Multiplier	Very Low	Low	Nominal	High	Very High	Extra High
ACAP	1.46	1.19	1.00	0.86	0.71	-
PCAP	1.42	1.17	1.00	0.86	0.70	-
AEXP	1.29	1.13	1.00	0.91	0.82	-
MODP	1.24	1.10	1.00	0.91	0.82	-
TOOL	1.24	1.10	1.00	0.91	0.83	-
VEXP	1.21	1.10	1.00	0.90	-	-
LEXP	1.14	1.07	1.00	0.95	-	-
SCED	1.23	1.08	1.00	1.04	1.10	-
STOR	-	-	1.00	1.06	1.21	1.56
DATA	-	0.94	1.00	1.08	1.16	-
TIME	-	-	1.00	1.11	1.30	1.66
TURN	-	0.87	1.00	1.07	1.15	-
VIRT	-	0.87	1.00	1.15	1.30	-
RELY	0.75	0.88	1.00	1.15	1.40	-
CPLX	0.70	0.85	1.00	1.15	1.30	1.65

Penjelasan dari masing masing effort multiplier akan dipaparkan pada bab 2.4.2 dikarenakan *effort multiplier* pada COCOMO 81 dan COCOMO II memiliki kemiripan.

2.4.2. COCOMO II

Pada July 1994, B. Boehm [12] memulai pengembangan proyek COCOMO II dengan tujuan untuk mengakomodir pendekatan yang lebih baik terhadap estimasi biaya perangkat lunak. Berbeda dengan COCOMO 81, COCOMO II menggunakan *spiral model* sebagai siklus (*life-cycle*) dalam pengembangan perangkat lunak. Dengan model ini dimungkinkan untuk menghitung biaya evolusi perangkat lunak. Artinya apabila perangkat lunak sudah selesai dikerjakan dan pada perkembangannya dikehendaki adanya evolusi atau perubahan, maka estimasi biaya evolusi perangkat lunak dapat dilakukan. Hal ini dikarenakan dalam pengembangan perangkat lunak sangat penting untuk dapat mengakomodir evolusi dengan cepat [13]. Model ini dikembangkan dari 161 data proyek perangkat lunak. Tabel 2.4. menampilkan perbedaan COCOMO 81 dengan COCOMO II.

Tabel 2. 4. Perbedaan COCOMO 81 dan COCOMO II

Kategori	COCOMO 81	COCOMO II
Eksponen	Eksponen = konstanta yang mutlak yang dipilih berdasar <i>mode</i> - Organic = 1.05 - Semi-detached = 1.12 - Embedded = 1.20	Eksponen = nilai diambil dai lima <i>scale factor</i> - PREC - FLEX - RESL - TEAM - PMAT
Dataset	Terdiri dari 63 <i>data point</i>	Terdiri dari 161 <i>data point</i>
Baris Kode	KDSI	KLOC
<i>Effort Multiplier</i>	Terdapat 15 <i>Effort Multiplier</i>	Terdapat 17 <i>Effort Multiplier</i>

Sama halnya dengan pendahulunya, model ini menggunakan beberapa *cost drivers* yaitu jumlah baris kode (KSLOC), 17 *Effort Multiplier*, dan 5 *Scale Factors*. COCOMO II bagi kedalam 3 mode, yaitu:

- a. *The Applications Compostion Model*: digunakan pada tahap awal pengembangan perangkat lunak dan estimasi usaha pada perangkat lunak menggunakan besaran yang diestimasi berdasar pada estimasi sederhana dan formula produktifitas.
- b. *The Early Design Model*: digunakan setelah kebutuhan perangkat lunak dan arsitektur perangkat lunak telah stabil.
- c. *The Post Architecture Model*: digunakan pada saat implementasi perangkat lunak dan tahap estimasi usaha. Mode ini menggunakan parameter secara menyeluruh yang merepresentasikan kemampuan karyawan, perangkat lunak serta karakter dari proyek tersebut.

The Post Architecture Model merupakan model yang paling lengkap dari COCOMO II. Persamaan 2.2. menjelaskan bagaimana cara mendapatkan usaha dalam *person month* sedangkan Persamaan 2.3. menjelaskan rumus yang digunakan dalam mendapatkan lama pengerjaan dalam bulan.

$$PM = A * (KSLOC)^{B+C} * \prod_{i=1}^{17} EM_i$$

$$C = 0.01 * \sum_{i=1}^5 SF_i$$

...(2.2.)

$$TDEV = C * (PM)^F$$

$$F = D + 0.2 * 0.01 * \sum_{i=1}^5 SF_i = D + 0.2 * (E - B)$$

...(2.3.)

Dimana:

- a. PM adalah usaha dalam *person-month*.
- b. TDEV adalah waktu yang diperlukan untuk mengembangkan sebuah perangkat lunak.
- c. EM adalah perkalian dari setiap variabel *effort mutiplier*.
- d. SF adalah penjumlahan dari setiap variabel *scale factors*.
- e. A adalah konstanta produktifitas. A = 2.94
- f. B = 0.91
- g. D = 0.28

Adapun 17 effort mutipler yang dimaksud adalah

1. *Required Software Reliability* (RELY): parameter ini berfungsi untuk mengukur tingkat kemampuan aplikasi melakukan fungsinya pada periode waktu tertentu. Gambar 2.1. menjelaskan setiap tingkatan parameter beserta nilai dan deskripsinya masing – masing.

RELY Descriptors	slight inconvenience	low, easily recoverable losses	moderate, easily recoverable losses	high financial loss	risk to human life	
Rating Levels	Very Low	Low	Nominal	High	Very High	Extra High
Effort Multipliers	0.82	0.92	1.00	1.10	1.26	n/a

Gambar 2. 1. Deskripsi RELY

2. *Data Base Size* (DATA): parameter ini berfungsi untuk menjelaskan besaran data yang disimpan pada penyimpanan yang tidak utama. D/P adalah besaran basis data dalam bytes atau karakter dibagi jumlah baris kode dalam SLOC. Gambar 2.2. menjelaskan setiap tingkatan parameter beserta nilai dan deskripsinya masing – masing.

DATA Descriptors		Testing DB bytes/Pgm SLOC < 10	10 = D/P < 100	100 = D/P <1000	D/P = 1000	
Rating Levels	Very Low	Low	Nominal	High	Very High	Extra High
Effort Multipliers	n/a	0.90	1.00	1.14	1.28	n/a

Gambar 2. 2. Deskripsi DATA

3. *Developed for Reusability* (RUSE): parameter ini berfungsi untuk memperkirakan usaha yang dibutuhkan dalam rangka mengembangkan komponen yang akan digunakan kembali pada proyek berikutnya. Gambar 2.3. menjelaskan setiap tingkatan parameter beserta nilai dan deskripsinya masing – masing.

RUSE Descriptors		none	across project	across program	across product line	across multiple product lines
Rating Levels	Very Low	Low	Nominal	High	Very High	Extra High
Effort Multipliers	n/a	0.95	1.00	1.07	1.15	1.24

Gambar 2. 3. Deskripsi RUSE

4. *Documentation Match to Life-Cycle Needs* (DOCU): parameter ini menjelaskan mengenai kesesuaian antara dokumentasi proyek dengan kebutuhan pengembangan perangkat lunak. Gambar 2.4. menjelaskan setiap tingkatan parameter beserta nilai dan deskripsinya masing – masing.

DOCU Descriptors	Many lifecycle needs uncovered	Some lifecycle needs uncovered.	Right-sized to life-cycle needs	Excessive for life-cycle needs	Very excessive for life-cycle needs	
Rating Levels	Very Low	Low	Nominal	High	Very High	Extra High
Effort Multipliers	0.81	0.91	1.00	1.11	1.23	n/a

Gambar 2. 4. Deskripsi DOCU

5. *Execution Time Constraint* (TIME): paramaeter ini menjelaskan persentasi ketepatan waktu eksekusi perintah yang diharapkan. Gambar 2.5. menjelaskan setiap tingkatan parameter beserta nilai dan deskripsinya masing – masing.

TIME Descriptors			= 50% use of available execution time	70% use of available execution time	85% use of available execution time	95% use of available execution time
Rating Levels	Very Low	Low	Nominal	High	Very High	Extra High
Effort Multipliers	n/a	n/a	1.00	1.11	1.29	1.63

Gambar 2. 5. Deskripsi TIME

6. *Main Storage Constraint* (STOR): parameter ini merepresentasikan persentasi besaran penyimpanan yang digunakan. Gambar 2.6. menjelaskan setiap tingkatan parameter beserta nilai dan deskripsinya masing – masing.

STOR Descriptors			= 50% use of available storage	70% use of available storage	85% use of available storage	95% use of available storage
Rating Levels	Very Low	Low	Nominal	High	Very High	Extra High
Effort Multipliers	n/a	n/a	1.00	1.05	1.17	1.46

Gambar 2. 6. Deskripsi STOR

7. *Platform Volatility* (PVOL): parameter ini menjelaskan kompleksitas perangkat lunak dan keras yang digunakan seperti sistem operasi, sistem manajemen basis data (DBMS), dll. Gambar 2.7 menjelaskan setiap tingkatan parameter beserta nilai dan deskripsinya masing – masing.

PVOL Descriptors		Major change every 12 mo.; Minor change every 1 mo.	Major: 6 mo.; Minor: 2 wk.	Major: 2 mo.; Minor: 1 wk.	Major: 2 wk.; Minor: 2 days	
Rating Levels	Very Low	Low	Nominal	High	Very High	Extra High
Effort Multipliers	n/a	0.87	1.00	1.15	1.30	n/a

Gambar 2. 7. Deskripsi PVOL

8. *Analyst Capability* (ACAP): parameter ini menjelaskan kemampuan dari analis dalam mengobservasi kebutuhan serta desain. Gambar 2.8 menjelaskan setiap tingkatan parameter beserta nilai dan deskripsinya masing – masing.

ACAP Descriptors	15th percentile	35th percentile	55th percentile	75th percentile	90th percentile	
Rating Levels	Very Low	Low	Nominal	High	Very High	Extra High
Effort Multipliers	1.42	1.19	1.00	0.85	0.71	n/a

Gambar 2. 8. Deskripsi ACAP

9. *Programmer Capability* (PCAP): parameter ini menjelaskan kemampuan dari programmer sebagai sebuah tim yang mampu berkomunikasi dan bekerjasama. Gambar 2.9 menjelaskan setiap tingkatan parameter beserta nilai dan deskripsinya masing – masing.

PCAP Descriptors	15th percentile	35th percentile	55th percentile	75th percentile	90th percentile	
Rating Levels	Very Low	Low	Nominal	High	Very High	Extra High
Effort Multipliers	1.34	1.15	1.00	0.88	0.76	n/a

Gambar 2. 9. Deskripsi PCAP

10. *Personnel Continuity* (PCON): parameter ini mendeskripsikan persentasi pergantian pegawai dalam setahun. Gambar 2.10 menjelaskan setiap tingkatan parameter beserta nilai dan deskripsinya masing – masing.

PCON Descriptors	48% / year	24% / year	12% / year	6% / year	3% / year	
Rating Levels	Very Low	Low	Nominal	High	Very High	Extra High
Effort Multipliers	1.29	1.12	1.00	0.90	0.81	

Gambar 2. 10. Deskripsi PCON

11. *Applications Experience* (APEX): parameter ini menjelaskan tingkat pengalaman tim pengembang dalam mengembangkan perangkat lunak. Gambar 2.11 menjelaskan setiap tingkatan parameter beserta nilai dan deskripsinya masing – masing.

APEX Descriptors	≤ 2 months	6 months	1 year	3 years	6 years	
Rating Levels	Very Low	Low	Nominal	High	Very High	Extra High
Effort Multipliers	1.22	1.10	1.00	0.88	0.81	n/a

Gambar 2. 11. Deskripsi APEX

12. *Platform Experience* (PLEX): parameter ini menjelaskan tingkat pengalaman tim pengembang dalam mengembangkan antar muka, basis data, jaringan dan distribusi sistem. Gambar 2.12 menjelaskan setiap tingkatan parameter beserta nilai dan deskripsinya masing – masing.

PLEX Descriptors	≤ 2 months	6 months	1 year	3 years	6 year	
Rating Levels	Very Low	Low	Nominal	High	Very High	Extra High
Effort Multipliers	1.19	1.09	1.00	0.91	0.85	n/a

Gambar 2. 12. Deskripsi PLEX

13. *Language and Tool Experience* (LTEX): parameter ini menjelaskan tingkat pengalaman tim pengembang dalam bahasa pemrograman dan penggunaan tool. Gambar 2.13 menjelaskan setiap tingkatan parameter beserta nilai dan deskripsinya masing – masing.

LTEX Descriptors	≤ 2 months	6 months	1 year	3 years	6 year	
Rating Levels	Very Low	Low	Nominal	High	Very High	Extra High
Effort Multipliers	1.20	1.09	1.00	0.91	0.84	

Gambar 2. 13. Deskripsi LTEX

14. *Use of Software Tools* (TOOL): parameter ini menjelaskan kompleksitas tool yang digunakan dalam pengembangan. Gambar 2.14 menjelaskan setiap tingkatan parameter beserta nilai dan deskripsinya masing – masing.

TOOL Descriptors	edit, code, debug	simple, frontend, backend CASE, little integration	basic lifecycle tools, moderately integrated	strong, mature lifecycle tools, moderately integrated	strong, mature, proactive life-cycle tools, well integrated with processes, methods, reuse	
Rating Levels	Very Low	Low	Nominal	High	Very High	Extra High
Effort Multipliers	1.17	1.09	1.00	0.90	0.78	n/a

Gambar 2. 14. Deskripsi TOOL

15. *Multisite Development* (SITE): parameter ini merepresentasikan dua hal yaitu distribusi data serta penunjang komunikasi. Gambar 2.15 menjelaskan setiap tingkatan parameter beserta nilai dan deskripsinya masing – masing.

Collocation Descriptors	Internatio nal	Multi-city and Multi-company	Multi-city or Multi-company	Same city or metro. area	Same building or complex	Fully collocated
Communications Descriptors	Some phone, mail	Individual phone, FAX	Narrow band email	Wideband electronic communication.	Wideband elect. comm., occasional video conf.	Interactive multimedia
Rating Levels	Very Low	Low	Nominal	High	Very High	Extra High
Effort Multipliers	1.22	1.09	1.00	0.93	0.86	0.80

Gambar 2. 15. Deskripsi SITE

16. *Required Development Schedule* (SCED): parameter ini menjelaskan persentasi akselerasi penyelesaian proyek terhadap waktu yang diberikan. Gambar 2.16 menjelaskan setiap tingkatan parameter beserta nilai dan deskripsinya masing – masing.

SCED Descriptors	75% of nominal	85% of nominal	100% of nominal	130% of nominal	160% of nominal	
Rating Level	Very Low	Low	Nominal	High	Very High	Extra High
Effort Multiplier	1.43	1.14	1.00	1.00	1.00	n/a

Gambar 2. 16. Deskripsi SCED

17. *Product Complexity* (CPLX): parameter ini dibagi ke dalam lima area yaitu operasi pengendalian, komputasional, kemandirian perangkat, manajemen data, manajemen antar muka. Gambar 2.17 menjelaskan setiap tingkatan parameter beserta nilai dan deskripsinya masing – masing.

Rating Level	Very Low	Low	Nominal	High	Very High	Extra High
EM	0.73	0.87	1.00	1.17	1.34	1.74

Gambar 2. 17. Deskripsi CPLX

Sedangkan kelima *scale factors* yang dgunakan pada COCOMO II adalah :

1. *Precedentedness* (PREC): parameter ini menjelaskan pengalaman terdahulu terhadap proyek yang identik dengan proyek yang sedang dikembangkan. *Very Low* berarti tidak ada pengalaman sedangkan *Extra High* berarti sangat paham.
2. *Development Flexibility* (FLEX): parameter ini menjelaskan fleksibilitas dari proses pengembangan. *Very Low* berarti proses sesuai dengan yang tertulis sedangkan *Extra High* berarti proses sangat fleksibel
3. *Architecture/Risk Resolution* (RESL): parameter ini menjelaskan sejauh mana analisis terhadap resiko dilakukan. *Very Low* berarti sangat sedikit analisis sedangkan *Extra High* berarti analisis telah menyeluruh.
4. *Team Cohesion* (TEAM): parameter ini menjelaskan seberapa jauh anggota tim mengenal satu dengan yang lain. *Very Low* berarti sulit berinteraksi sedangkan *Extra High* berarti tidak ada permasalahan komunikasi.
5. *Process Maturity* (PMAT): parameter ini menjelaskan kematangan dari organisasi. *Very Low* berarti organisasi belum terstruktur *Extra High* berarti organisasi sudah mapan atau matang.

Gambar 2.18 menampilkan nilai dari setiap tingkatan yang terdapat pada *scale factors*.

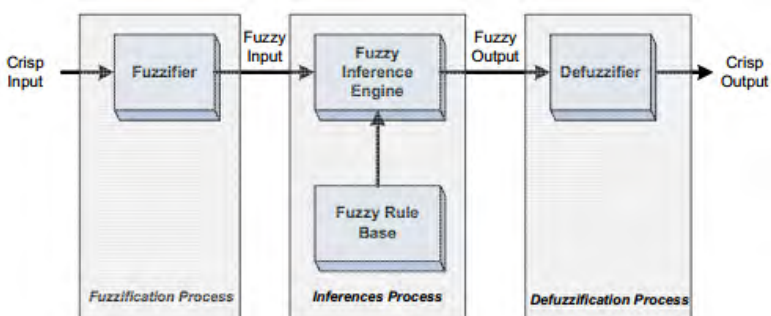
Drivers	Symbol	Scale Factors						
		Very Low	Low	Nominal	High	Very High	Extra High	
Precedentedness	PREC	SF1	6.20	4.96	3.72	2.48	1.24	0.00
Development Flexibility	FLEX	SF2	5.07	4.05	3.04	2.03	1.01	0.00
Architecture/Risk Resolution	RESL	SF3	7.07	5.65	4.24	2.83	1.41	0.00
Team Cohesion	TEAM	SF4	5.48	4.38	3.29	2.19	1.10	0.00
Process Maturity	PMAT	SF5	7.80	6.24	4.68	3.12	1.56	0.00

Gambar 2. 18. Nilai dari *scale factors*

2.5. Fuzzy Logic

Fuzzy Logic System adalah satu dari tiga komponen utama dalam *soft computing*. Tujuan dari penggunaan *fuzzy logic* ialah untuk menangani ketidakpastian, ketidaktepatan, dan perkiraan untuk mencapai solusi yang diinginkan. Pada tahun 1965, Prof. Lofti Zadeh memperkenalkan *fuzzy logic* untuk menyelesaikan permasalahan yang sulit dipecahkan secara kuantitatif [14]. *Fuzzy logic system* menggunakan *fuzzy parameter* untuk mengatasi ketidakpastiaan dan ketidaktepatan dengan cara memetakan *input* ke *output* menggunakan *framework* yang disebut *Fuzzy Inference System* [15].

Framework ini terdiri dari tiga bagian utama yaitu *Fuzzification Process*, *Inferences Process* dan *Defuzzification Process*. Gambar 2.19. menampilkan diagram *fuzzy inference system* dengan tiga proses utama.

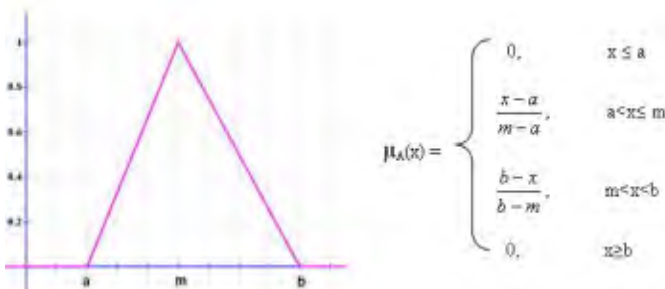


Gambar 2. 19. *Fuzzy Inference System*

2.5.1. Fuzzification Process

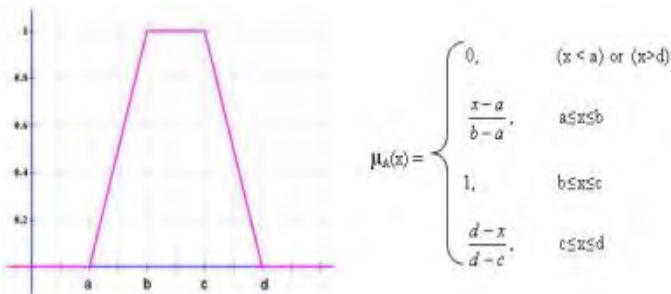
Fuzzification Process terdiri dari sebuah fuzzifier yang merubah *crisp input* menjadi nilai *fuzzy set* berdasarkan *membership function*. *Fuzzy set* adalah model matematika yang meliputi data yang bersifat kualitatif maupun kuantitatif, yang umumnya didapatkan dengan sarana bahasa natural. *Membership function* adalah sebuah kurva yang memetakan *input* menjadi *membership value* yang memiliki rentang antara 0 hingga 1. *Fuzzification process* memasukkan *input* kedalam sistem dengan menggunakan bahasa natural. *Membership function* pada *fuzzy system* memiliki beberapa tipe yaitu *triangular*, *trapezoidal*, dan *gaussian*.

- a. *Triangular Membership Function*: sebuah fungsi $\mu_A(x)$ yang bergantung pada parameter skalar a sebagai batas bawah, b sebagai batas atas, dan $a < m < b$. Gambar 2.20 menampilkan diagram dari *Triangular MF*.



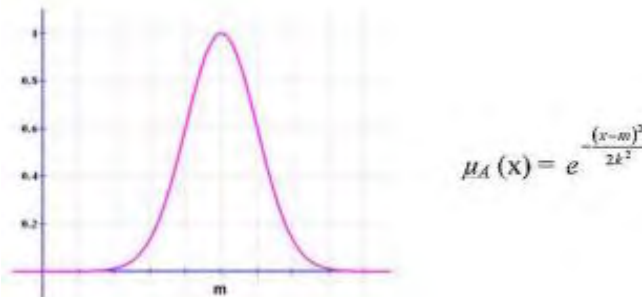
Gambar 2. 20. Triangular Membership Function

- b. *Trapezoidal Membership Function*: sebuah fungsi $\mu_A(x)$ yang bergantung pada parameter skalar a sebagai batas bawah, d sebagai batas atas, b sebagai batas tengah bawah, c sebagai batas tengah atas dan $a < b < c < d$. Gambar 2.21 menampilkan diagram dari *Trapezoidal MF*.



Gambar 2. 21. Trapezoidal Membership Function

- c. *Gaussian Membership Function*: sebuah fungsi $\mu_A(x)$ yang bergantung pada nilai tengah m dan dengan sebuah standar deviasi $k > 0$. Semakin kecil nilai k , semakin rapat kurva. Gambar 2.22. menampilkan diagram dari *Gaussian MF*.



Gambar 2. 22. Gaussian Membership Function

2.5.2. Inference Process

Inference process melibatkan *fuzzy inference engine* yang digunakan untuk memetakan antara *input* yang berasal dari *fuzzification process* dan *output* yang didapat dari pakar. Tugas dari *fuzzy rule* dalam *inference process* adalah menangkap ketidakpastian dan bertindak sebagai sarana untuk menghasilkan

fuzzy output dari *fuzzy input*. *Fuzzy rule* dikenal juga dengan *Fuzzy IF-THEN rule* yang secara umum diekspresikan pada Persamaan 2.4.

$$\text{IF } (x \text{ is } A) \text{ AND } (y \text{ is } B) \text{ THEN } (z \text{ is } Z) \quad \dots(2.4)$$

Dimana:

- a. x, y, z merepresentasikan variabel.
- b. A, B, Z adalah nilai linguistik.

Fuzzy rule dapat dibagi dua bagian, bagian IF, yang digunakan sebagai premis yang mengandung deskripsi *fuzzy* untuk mengukur *input*, dan bagian THEN merupakan kesimpulan yang menentukan semua kemungkinan *output* dari setiap *input*. Pada proses ini, beberapa *fuzzy rule* dapat diaplikasikan pada *fuzzy inference engine* untuk menciptakan dasar pengetahuan yang digunakan dalam pengambilan keputusan dengan melakukan agregasi *fuzzy* untuk memetakan antara *input* ke *output*, yang berdasarkan modus ponen pada Persamaan 2.5.

Premis 1: IF x is A THEN y is B

Premis 2: x is A' (2.5.)

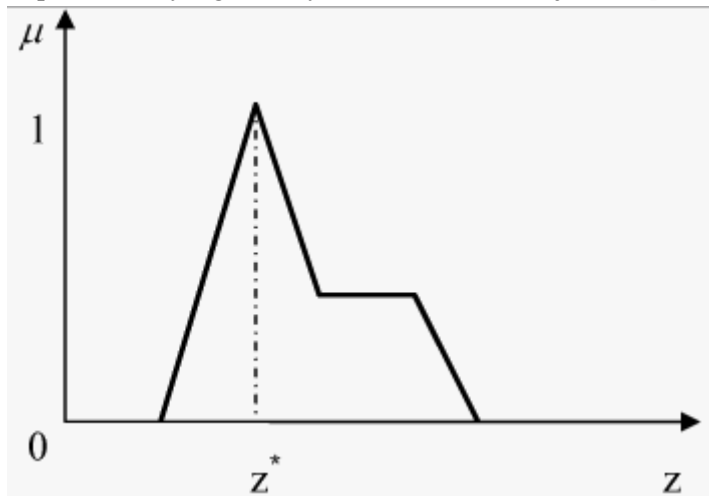
Kesimpulan: y is B'

Variabel A, A', B, B' adalah *fuzzy set* dan x, y adalah simbol untuk objek. *Inference process* menciptakan *fuzzy output* sebagai agregasi dari beberapa *fuzzy rule*.

2.5.3. *Defuzzification Process*

Defuzzification process memproduksi dan menterjemahkan agregasi *fuzzy output* dari *inference process* menjadi hasil kuantitatif. Gambar 2.23. mengilustrasikan *defuzzification process* yang mengubah *fuzzy value* menjadi sebuah *crisp output*. Dimana μ merepresentasikan *Membership Function*

pada z . Nilai z^* merupakan titik puncak dari grafik μ yang merupakan titik yang nantinya akan berubah menjadi *crisp output*.



Gambar 2. 23. Defuzzification Process

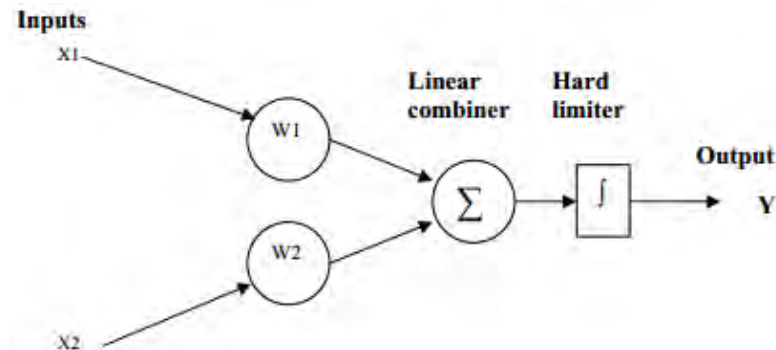
Dengan kemampuan meniru pikiran manusia dan mengatasi ketidakpastian, *fuzzy logic* system menjadi alat yang tepat untuk manajemen resiko yang terkait dengan ketidakpastian hasil dalam peristiwa yang tidak pasti.

2.6. Neural Network

Artificial Neural Networks terinspirasi dari dasar pemikiran mengenai bagaimana otak bekerja. Otak terdiri dari begitu banyak sel saraf yang saling berhubungan, atau alat pengolah informasi, yang disebut neuron [16]. Setiap neuron adalah alat pengolah informasi. Untuk membangun *artificial neural network* (ANN), pertama kita harus menentukan berapa banyak jumlah neuron dan bagaimana neuron tersebut saling terhubung sehingga menciptakan suatu jaringan.

Secara umum, *nilai input* dikalikan dengan *weight*, dijumlahkan, lalu dikirim ke neuron yang lainnya lalu pada akhirnya ke neuron *output*. *Weight* menyesuaikan secara sistematis, bergantung pada data yang diberikan untuk mengoptimasi vektor *output*. Sebuah *neural network* yang belajar melalui penyesuaian *weight* yang berulang-ulang disebut dengan *training*.

Pada 1958, Frank Roseblatt memperkenalkan *training algorithm* yang menyediakan prosedur awal untuk melakukan *training* pada ANN disebut *The Perceptron*. *The perceptron* merupakan bentuk paling sederhana dari ANN yang terdiri dari sebuah neuron dengan *weight* yang dapat menyesuaikan dan fungsi lain. Gambar 2.24. menampilkan sebuah *perceptron* dengan 2 buah *input* dan 1 (*single*) *layer*. *Single layer perceptron* dapat mengklasifikasi hanya fungsi yang bersifat dapat dipisah secara linear, untuk fungsi yang dipisah tidak secara linear diperlukan *multilayer neural network*.



Gambar 2. 24. Single-layer two-input perceptron

Ada beberapa *learning algorithm* untuk melakukan *training* pada ANN, tapi metode yang paling popular adalah *back-propagation learning algorithm*. ANN dikenal dapat memberikan hasil yang baik ketika berhadapan dengan masalah yang kompleks antara hubungan *input* dan *output*, dan ketika *input data* memiliki nilai standar deviasi yang begitu beragam. Akan tetapi,

kemampuan dari *neural network* tergantung kepada arsitektur yang digunakan serta pengaturan pada parameteranya.

BAB III

ANALISIS DAN PERANCANGAN SISTEM

Bab ini membahas tahap analisis permasalahan dan perancangan Tugas Akhir. Analisis permasalahan membahas bagaimana memodelkan data uji dengan menggunakan COCOMO dan bagaimana meningkatkan akurasi dari COCOMO. Sedangkan, perancangan membahas bagaimana membuat aplikasi berdasarkan analisa yang sudah dikembangkan.

3.1. Analisis

Dalam penggerjaan tugas akhir ini dilakukan analisa terhadap permasalahan yang ada. Analisa ini berfungsi untuk memodelkan permasalahan dengan metode yang ada serta meningkatkan akurasi metode tersebut.

3.1.1. Analisis Permasalahan

Permasalahan utama yang diangkat dalam pembuatan tugas akhir ini adalah bagaimana cara untuk mengoptimasi biaya dari sebuah perangkat lunak dengan menggunakan metode COCOMO. Sehingga dengan adanya optimasi ini kedepannya biaya perangkat lunak dapat diperkirakan dengan lebih akurat.

Untuk menunjang metode ini digunakan *dataset* yang didapat dari COCOMO 81 dan NASA 93. COCOMO 81 terdiri dari 63 data proyek perusahaan automotif dan kedirgantaraan yang mengembangkan perangkat lunak dalam menunjang perusahaan tersebut. Sedangkan NASA 93 merupakan *dataset* yang didapat dari proyek-proyek pengembangan perangkat lunak yang dilakukan oleh NASA sebanyak 93 proyek. Setiap data terdiri dari 17 variabel yaitu 15 variabel yang merepresentasikan *Effort Multiplier*, sebuah variabel KLOC dan satu buah variabel nilai yang sebenarnya. Dataset diatas diaplikasikan dengan COCOMO lalu hasilnya dibandingkan dengan nilai sebenarnya. Untuk memperkecil kesalahan atau ketidakakuratan antara nilai estimasi

dan nilai sebenarnya digunakan *fuzzy logic* dan *neural network*. Adapun langkah – langkah untuk menganalisa metode yang dikembangkan adalah observasi literatur terkait, perancangan COCOMO, memodelkan *fuzzy logic* ke dalam COCOMO, mengkonfigurasi *neural network* ke dalam COCOMO, dan evaluasi model.

3.1.1.1. Observasi Literatur Terkait

Dalam rangka memecahkan masalah estimasi biaya perangkat lunak, makan langkah awal yang dilakukan adalah studi literatur segala jenis bahan yang terkait. Langkah ini termasuk mengulas literatur mengenai memodelkan biaya perangkat lunak untuk mengenali setiap parameter yang ada didalamnya. Langkah ini dimulai dengan memahami penggunaan *cost drivers* yang terdapat dalam COCOMO, serta literatur lain yang terkait optimasi akurasi COCOMO.

3.1.1.2. Perancangan COCOMO

Setelah studi literatur dilakukan dan pemahaman akan COCOMO didapatkan, berikutnya dataset yang ada diimplementasikan ke dalam COCOMO. Hasil yang didapat berupa estimasi usaha yang digunakan selama pengembangan perangkat lunak. Kemudian nilai estimasi ini dibandingkan dengan nilai yang sebenarnya untuk menentukan apakah model yang digunakan sudah cukup akurat atau belum. Apabila model COCOMO belum akurat maka diimplementasikan metode lain untuk meningkatkan akurasi.

3.1.1.3. Memodelkan *Fuzzy Logic* ke dalam COCOMO

Dalam rangka meningkatkan akurasi, model COCOMO yang sebelumnya sudah dibuat dimodelkan kedalam *Fuzzy Logic*. *Fuzzy Logic* bertujuan untuk mengoptimasi nilai dari *setiap effort multiplier*. Cara mengoptimasi nilai tersebut adalah dengan

memodelkan *effort multiplier* ke dalam *fuzzy inference system*. *Membership Function* yang digunakan untuk memodelkan adalah *Gaussian Membership Function*. Dalam penelitian lain telah dibuktikan bahwa *Gaussian Membership Function* menghasilkan akurasi yang lebih baik dalam rangka estimasi biaya perangkat lunak dibandingkan dengan *Triangular* dan *Trapezoidal Membership Function* [17].

3.1.1.4. Mengkonfigurasi *Neural Network* ke COCOMO

Untuk lebih meningkatkan akurasi dari COCOMO, selain *fuzzy logic* digunakan metode *neural network*. Metode ini memetakan setiap *input* menjadi sebuah jaringan neuron yang terhubung dengan neuron lain di *layer* yang lain yang pada akhirnya menghasilkan sebuah *output*. Kemudian *output* tersebut dibandingkan dengan nilai sebenarnya. Apabila kesalahan masih belum bisa diterima maka dilakukan penyesuaian terhadap *weight* agar pada iterasi berikutnya hasilnya semakin dekat dengan nilai sebenarnya.

3.1.1.5. Evaluasi Model

Tahapan ini berfungsi untuk mengevaluasi semua model yang sudah dikembangkan. Tahapan ini juga membandingkan antara 1 model dengan model yang lainnya. Bukan hanya itu saja, apabila pada perkembangannya bisa diciptakan model baru maka akan dievaluasi apakah model tersebut lebih akurat dari model yang lainnya.

3.1.2. Data Uji

Terdapat dua buah *dataset* yang digunakan pada model yang dikembangkan yaitu COCOMO 81 dan NASA 91. Data tersebut digunakan secara umum pada penelitian yang menggunakan metode COCOMO.

3.1.2.1. COCOMO 81

Dataset ini merupakan *dataset* resmi yang dikembangkan sendiri untuk menciptakan COCOMO. *Dataset* ini berisi 63 *data points*. Data ini diambil dari proyek perusahaan yang bergerak di bidang kedirgantaraan yang bernama TRW dimana Barry W. Boehm bekerja sebagai direktur penelitian dan teknologi perangkat lunak. Setiap *data point* berisi 17 atribut yang terdiri dari 15 atribut COCOMO *effort multiplier*, 1 atribut baris kode (dalam ribuan) dan 1 atribut usaha yang sebenarnya. Keterangan atribut pada *dataset* dapat dilihat pada tabel 3.1.

Tabel 3. 1 Atribut COCOMO Dataset

Nomor	Atribut	Jenis
1	RELY	Numerik
2	DATA	Numerik
3	CPLX	Numerik
4	TIME	Numerik
5	STOR	Numerik
6	VIRT	Numerik
7	TURN	Numerik
8	ACAP	Numerik
9	AEXP	Numerik
10	PCAP	Numerik
11	VEXP	Numerik
12	LEXP	Numerik
13	MODP	Numerik
14	TOOL	Numerik
15	SCED	Numerik
16	LOC	Numerik
17	Actual Effort	Numerik

3.1.2.2. NASA 93

Dataset ini diambil dari proyek perangkat lunak yang dikembangkan oleh lembaga antariksa Amerika Serikat yang bernama NASA. *Dataset* ini diambil dari proyek tahun 1971 sampai dengan 1987. *Dataset* ini terdiri dari 93 data point. Setiap data point berisi 24 atribut yang terdiri dari 7 atribut yang mendeskripsikan proyek, 15 atribut COCOMO *effort multiplier*, satu atribut jumlah baris kode, satu atribut usaha yang sebenarnya. Keterangan atribut pada dataset dapat dilihat pada tabel 3.2.

Tabel 3. 2. Atribut NASA 93 Dataset

Nomor	Atribut	Jenis
1	Id	Numerik
2	Project Name	Alfabetis
3	Category of Application	Alfabetis
4	Flight or Ground System	Alfabetis
5	Nasa Center	Numerik
6	Years of Development	Numerik
7	Mode	Alfabetis
8	RELY	Alfabetis
9	DATA	Alfabetis
10	CPLX	Alfabetis
11	TIME	Alfabetis
12	STOR	Alfabetis
13	VIRT	Alfabetis
14	TURN	Alfabetis
15	ACAP	Alfabetis
16	AEXP	Alfabetis
17	PCAP	Alfabetis
18	VEXP	Alfabetis
19	LEXP	Alfabetis
20	MODP	Alfabetis
21	TOOL	Alfabetis
22	SCED	Alfabetis

Nomor	Atribut	Jenis
23	LOC	Numerik
24	Actual Effort	Numerik

3.1.3. Optimasi COCOMO dengan *Fuzzy Logic*

Hal yang penting ditekankan pada estimasi biaya perangkat lunak pada COCOMO adalah ketika ada ketidakpastian pada input di COCOMO model maka akan menyebabkan ketidakpastian pada *output* [18]. Maka dari itu diperlukan sebuah langkah atau penanganan yang substansial untuk menangani ketidakpastian ini.

Pendekatan *fuzzy logic* dalam estimasi biaya perangkat lunak adalah metode yang tepat ketika ketidakpastian pada informasi menjadi hal yang sangat diperhatikan. Menggunakan *fuzzy logic*, *cost drivers* dari sebuah proyek perangkat lunak dapat dispesifikasi berdasarkan distribusi nilai yang memungkinkan. *Cost drivers* merupakan variabel pemicu biaya suatu perangkat lunak. Secara umum, bentuk distribusi yang dapat merepresentasikan *cost drivers* adalah *fuzzy set*.

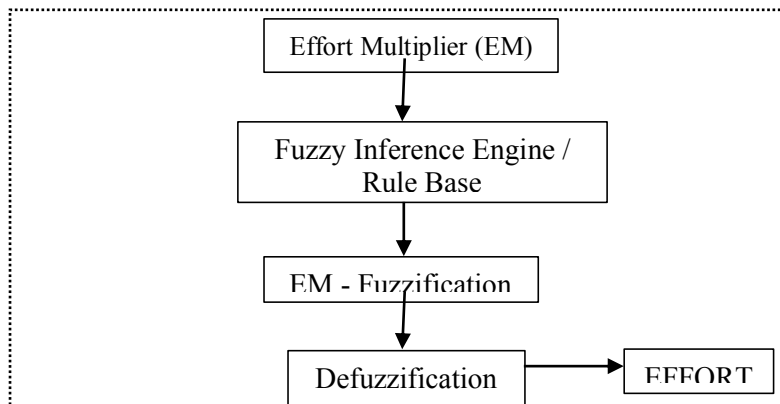
Daripada menggunakan nilai mutlak untuk mengkarakterisasi *cost drivers*, kita dapat menggunakan nilai interval yang diwakili oleh berbagai jenis *membership function* seperti *triangular*, *trapezoidal* dan *gaussian*. Pada literatur lain, sebuah jurnal menyimpulkan bahwa *gaussian membership function* memberikan akurasi yang lebih baik *dibanding triangular* dan *trapezoidal membership function* [1]. Pada *trapezoidal* ada kemungkinan bahwa beberapa atribut ditetapkan sebagai nilai maksimal ketika seharusnya nilai atribut tersebut lebih rendah, dikarena nilai maksimal pada *trapezoidal* memiliki rentang yang memungkinkan hal tersebut bisa terjadi.

Cost drivers sering kali diinterpretasikan dalam kategori yang tidak jelas yang membutuhkan penilaian secara subjektif. *Effort multiplier* dan *scale factors* pada COCOMO dideskripsikan menggunakan bahasa natural seperti *Very Low*, *Low*, *Nominal*,

High, *Very High*, *Extra High* dan direpresentasikan dengan nilai numerik [19]. Secara konvensional, estimasi biaya perangkat lunak dengan menggunakan metode COCOMO pada setiap *cost drivers*nya bergantung pada satu nilai untuk memprediksi usaha yang diperlukan. Dengan mengetahui hal di atas, kita dapat menggunakan menggunakan metode atau teknologi yang dapat mengevaluasi ketidaktepatan pada setiap *cost driver*. Dengan mengubah *cost drivers* kedalam *fuzzy set*, kita dapat meningkatkan akurasi estimasi biaya perangkat lunak.

3.1.4. Pendekatan Metode *Fuzzy* pada COCOMO

Dengan mempelajari sifat dari *cost driver* pada COCOMO, dipahami bahwa untuk meningkatkan akurasi pada estimasi perangkat lunak digunakan *gaussian membership function* untuk merepresentasikan *cost driver* yang berupa nilai linguistik. Input pada model ini yaitu berupa *effort multiplier* COCOMO. Dikarenakan dari semua *cost driver* pada COCOMO yaitu berupa *effort multiplier*, *scale factor*, dan LOC, dianalisa bahwa hanya *effort multiplier* yang memiliki deskripsi setiap atributnya berupa bahasa yang bisa diinterpretasikan menjadi *fuzzy set*. Arsitektur model ini bisa dilihat pada Gambar 3.1.



Gambar 3. 1. Arsitektur Fuzzy Logic untuk COCOMO

Dalam observasi yang dilakukan, tidak semua *effort multiplier* dapat direpresentasikan ke dalam *fuzzy set*. Hal ini dikarenakan deskripsi dari masing – masing *effort multiplier* dapat dikategorikan ke dalam dua tipe yaitu *kuantitatif* dan *kualitatif*. *Effort multiplier* yang kuantitatif adalah *effort multiplier* dimana deskripsinya bersifat mendeskripsikan suatu ukuran yang dapat diukur karena bersifat angka. Sedangkan *effort multiplier* yang bersifat kualitatif tidak dapat direpresentasikan karena deskripsinya bersifat kata-kata. Sebagai contoh adalah RELY, mengacu pada deskripsinya RELY dikatakan *Very High* apabila perangkat lunak itu dapat mengancam kehidupan manusia. Deskripsinya jelas sangat subjektif, artinya setiap orang akan berbeda-beda menafsirkannya. Sedangkan *effort multiplier* yang bersifat kuantitatif sebagai contoh adalah LTEX. LTEX dikatakan *Nominal* apabila tim sudah berpengalaman selama satu tahun menanangani perangkat lunak yang menggunakan bahwa maupun tool yang sama dengan yang dikembangkan. Jelas hal ini dapat diukur tanpa adanya subjektifitas. Adapun *effort multiplier* yang bersifat kuantitatif adalah:

1. DATA
2. TIME
3. STOR
4. ACAP
5. PCAP
6. APEX
7. PLEX
8. LTEX
9. SCED
10. PVOL
11. PCON

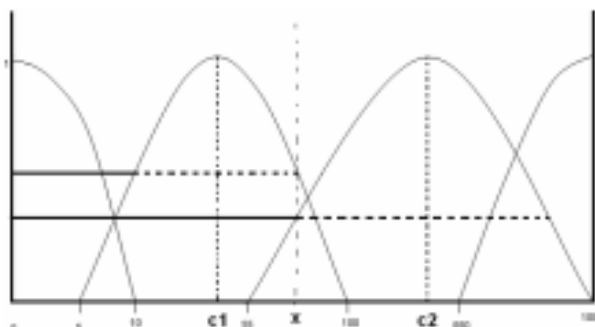
Dalam mengembangkan *fuzzy logic* ke dalam COCOMO terdapat 3 langkah yang harus dilakukan yaitu:

3.1.4.1. *Fuzzification*

Langkah yang pertama adalah *fuzzification*. *Fuzzification* mengubah input yang berupa *crisp data* ke dalam *fuzzy set*. Kesebelas *effort multiplier* yang bersifat kuantitatif dijadikan input untuk dilakukan *fuzzification*. Dalam tugas akhir ini menggunakan *gaussian membership function* sebagai model *fuzzy set* untuk setiap *effort multiplier*. Fungsi *Gaussian* direpresentasikan dalam Persamaan 3.1. [20].

$$\mu_{Ai}(x) = \text{Gaussian}(x, c_i, \sigma_i) = e^{-(x-c_i)^2/2\sigma_i^2} \quad \dots(3.1.)$$

Dimana c^i adalah nilai tengah dari *fuzzy set* ke-i dan σ_i adalah lebar dari kurva pada *fuzzy set* ke-i. Sebagai contoh, Gambar 3.2. merepresentasikan *effort multiplier* DATA kedalam *fuzzy set* dengan menggunakan *gaussian membership function*.



Gambar 3. 2. Representasi DATA menggunakan *Gaussian Membership Function*

3.1.4.2. *Fuzzy Inference Engine*

Fuzzy inference engine bertugas untuk membuat *fuzzy rules* pada *fuzzy set*. *Fuzzy rule* berisi variabel linguistik atau verbal yang berhubungan dengan proyek. *Fuzzy rule* ini berfungsi untuk memetakan antara *input* pada *fuzzy* dan *output* pada *fuzzy set*.

Persamaan 3.2. mengilustrasikan *fuzzy rules* pada COCOMO DATA *effort multiplier*. DATA merupakan *effort multiplier* yang dapat diganti dengan *effort multiplier* yang lain. Jumlah *fuzzy rules* pada setiap *effort multiplier* bergantung pada jumlah *membership function* yang ada. *Low* mendeskripsikan nilai linguistik yang terdapat pada *input* sedangkan *decreased* merepresentasikan nilai yang terdapat pada *output*.

- $R_1 : \text{IF Input DATA is low THEN Output data is decreased}$
- $R_2 : \text{IF Input DATA is nominal THEN Output data is unchanged}$
- dan seterusnya... ... (3.2.)

3.1.4.3. Defuzzification

Langkah yang ketiga adalah *defuzzification*. *Defuzzification* mengubah *fuzzy output* menjadi *crisp data*. Adapaun *defuzzification* ditampilkan pada Persamaan 3.3.

$$y = \frac{\sum_{i=1}^K \mu(x_i)x_i}{\sum_{i=1}^K \mu(x_i)} \quad \dots (3.3.)$$

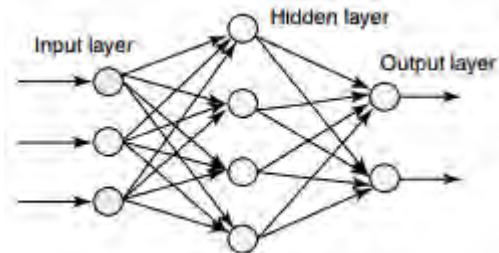
Dimana:

- a. y adalah *centre of gravity* (COG) yang merupakan nilai tengah dari *output* yang kemudian dirubah menjadi *crisp data*.
- b. K adalah jumlah dari *fuzzy set* dalam sebuah *fuzzy logic*.

3.1.5. Optimasi COCOMO dengan *Neural Network*

Subbab ini menjelaskan mengenai bagaimana meningkatkan akurasi dari COCOMO dengan menggunakan *neural network*. Kemampuan dari sebuah *neural network* ditentukan oleh arsitektur dan parameter lain yang digunakan. Ada banyak parameter yang terkait termasuk jumlah *layer*, jumlah *node* atau neuron pada setiap *layer*, *weight* antara dua buah *node* dan lain sebagainya. Sejauh ini teknik yang paling tepat dalam mengoptimasi estimasi biaya perangkat lunak adalah *multilayer*

feed forward dengan *back-propagation learning algorithm* dan aktivasi sigmoid. Gambar 3.3. menunjukkan *arsitektur multilayer neural network* secara umum. Dalam observasi yang dilakukan,

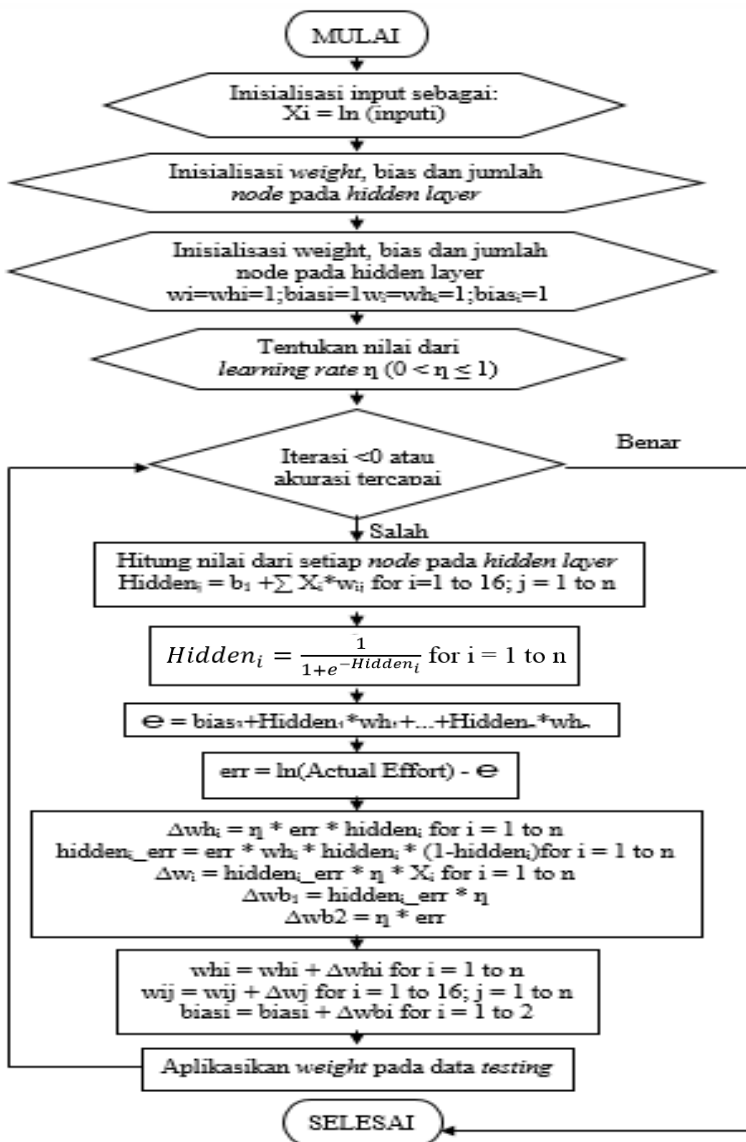


Gambar 3.3. Multilayer Neural Network

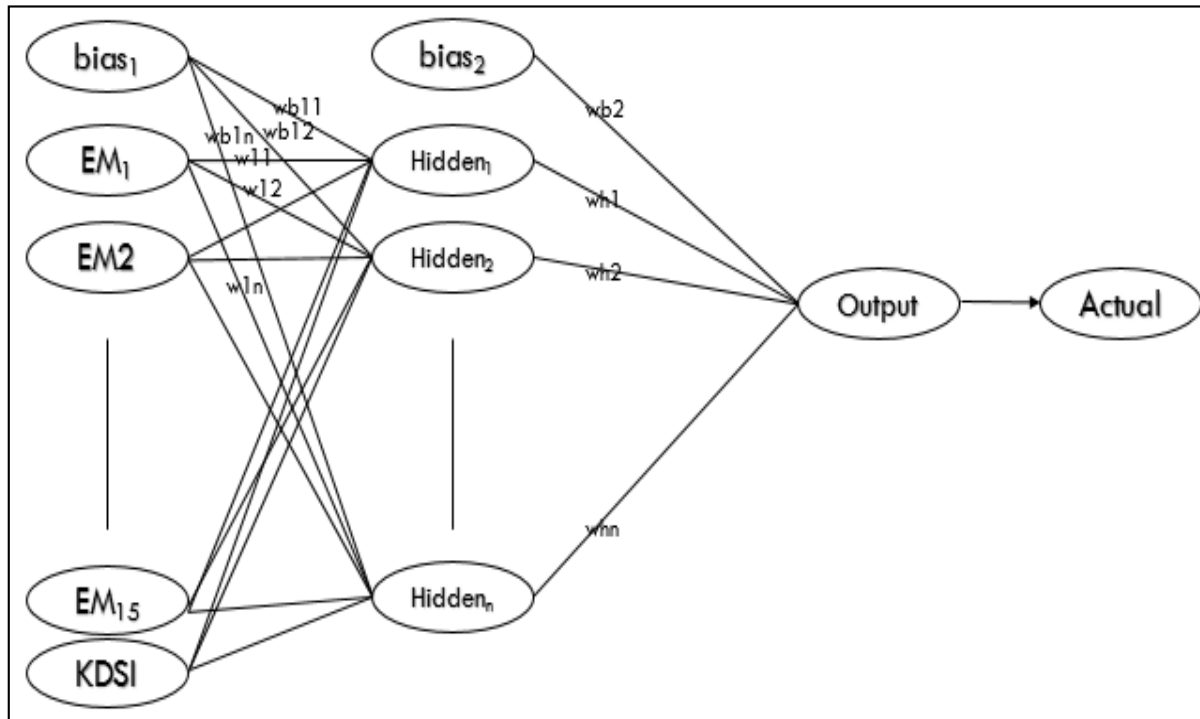
terdapat dua model arsitektur yang dikembangkan pada tugas akhir ini dalam rangka meningkatkan akurasi estimasi biaya proyek.

3.1.5.1. Basic Neural Network Architecture

Arsitektur ini merupakan pemodelan yang sederhana atau mendasar dengan menggunakan *neural network* pada COCOMO. Arsitektur ini menggunakan parameter pada COCOMO 81 sebagai *input*. Model ini memiliki 16 parameter *input* dan dua buah bias. 16 *input* tersebut terdiri dari 15 variabel *effort multiplier* dan 1 variabel KDSI (jumlah baris kode). Terdapat sebuah *hidden layer* diantara *input* dan *output layer*. Tidak ada nilai yang mutlak untuk jumlah *node* pada *hidden layer*. Arsitektur ini juga menggunakan aktivasi sigmoid untuk menghitung nilai dari setiap *node* pada *hidden layer*. Secara umum arsitektur ini dapat dilihat pada Gambar 3.5. Arsitektur ini juga diimplementasikan pada COCOMO yang sudah mengadopsi fuzzy logic. Secara umum langkah-langkah untuk mengimplementasikan arsitektur ini dapat dilihat pada Gambar 3.4.



Gambar 3. 4 . Diagram Alur Implementasi *Basic Architecture*



Gambar 3. 5. Arsitektur Basic Neural Network

3.1.5.2. Modified Neural Network Architecture

Pada arsitektur ini, perubahan yang signifikan dengan arsitektur yang sebelumnya adalah penggunaan *Scale Fator* yang diambil dari COCOMO II. Model ini memiliki 22 parameter *input* dan tiga buah bias. 22 input tersebut terdiri dari 15 variabel *effort multiplier*, 5 variable *scale factor*, dan 1 variable KLOC (jumlah baris kode). Antara *input* dan *output layer* terdapat dua buah *node* pada *hidden layer*. Namun berbeda dengan arsitektur sebelumnya, pada arsitektur ini tidak semua *input* terhubung ke setiap *node* pada *hidden layer*. *Hidden layer* 1 menampung *input* dari *effort multiplier* sedangkan *hidden layer* 2 menampung *input* dari *scale factor* dimana *weight* antara *scale factor* dan *hidden layer* 2 ditambah dengan $\ln(\text{size})$. Arsitektur ini juga menggunakan aktivasi sigmoid untuk menghitung nilai dari setiap *node* pada *hidden layer*. Secara umum arsitektur ini dapat dilihat pada Gambar 3.7. Pada arsitektur ini, setiap input diubah ke dalam bentuk logaritma natural seperti berikut:

$$\begin{aligned}\ln(PM) = & \ln(A) + \ln(EM_1) + \ln(EM_2) + \dots + \ln(EM_{15}) \\ & + [1.01 + SF_1 + \dots + SF_5] * \ln(\text{size})\end{aligned}$$

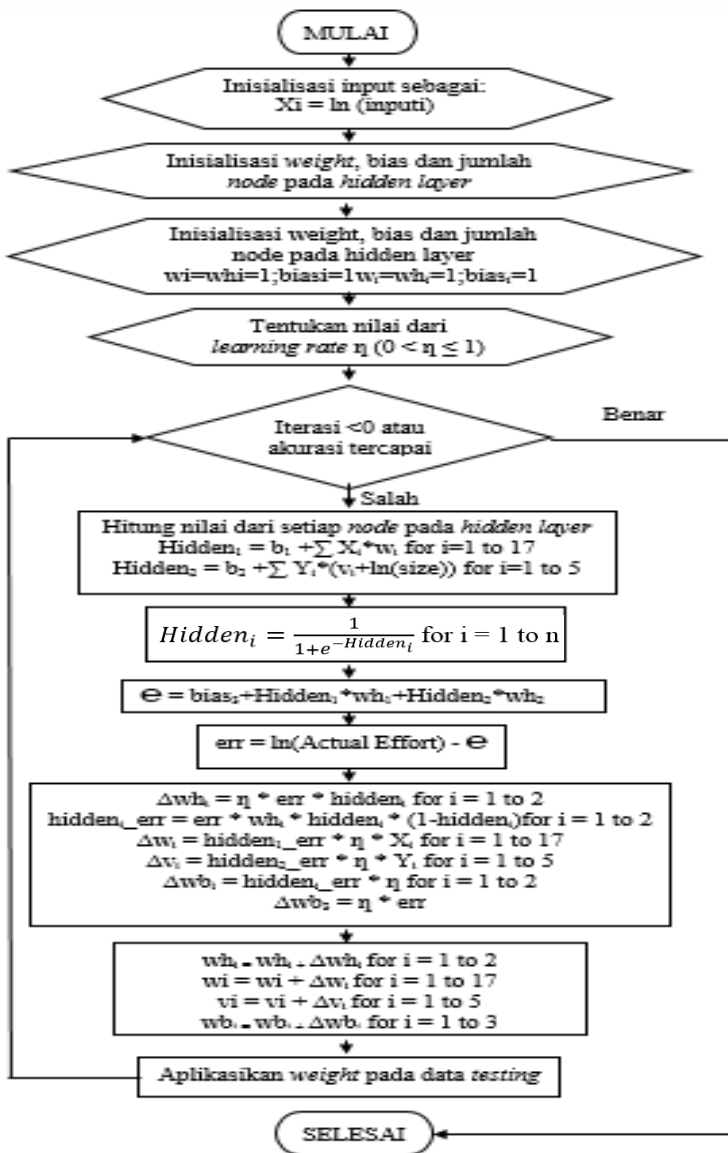
Persamaan diatas dirubah menjadi:

$$\begin{aligned}\Theta = & [b_1 + w_1 * X_1 + w_2 * X_2 + \dots + w_{15} * w_{15}] \\ & + [b_2 + Y_1 + \dots + Y_5] * [v_1 + \ln(\text{size})]\end{aligned}$$

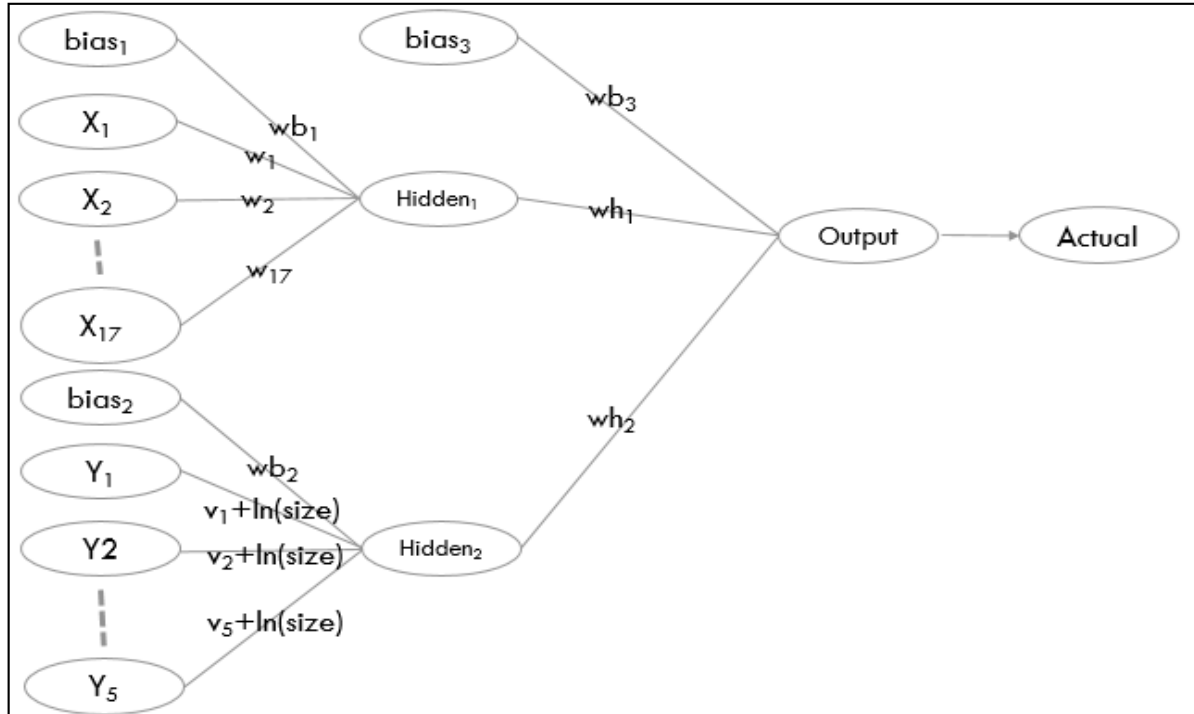
Dimana:

- a. $\Theta = \ln(PM)$
- b. $X_1 = \ln(EM_1); \dots; X_{17} = \ln(EM_{17})$
- c. $Y_1 = SF_1; \dots; Y_5 = SF_5$

Arsitektur ini juga diimplementasikan pada COCOMO yang sudah mengadopsi *fuzzy logic*. Secara umum langkah-langkah untuk mengimplementasikan arsitektur dapat dilihat pada Gambar 3.6.



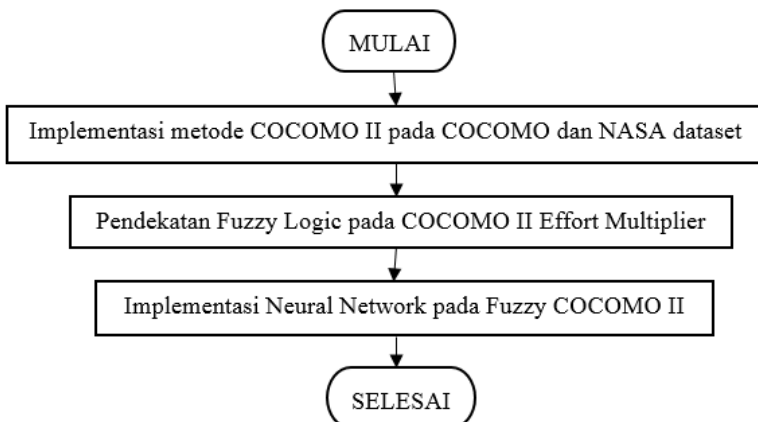
Gambar 3. 6. Diagram Alur Implementasi *Modified Architecture*



Gambar 3. 7. Arsitektur Modified Neural Network

3.1.6. Pendekatan *Fuzzy* dan *Artificial Neural Network* pada COCOMO

Pada tugas akhir ini, akurasi dari COCOMO ditingkatkan dengan cara menggabungkan metode *Fuzzy* dan *Artificial Neural Network*. Gambar 3.8. menunjukkan proses ini secara umum.



Gambar 3. 8. Diagram Alur Proses Implementasi Fuzy Logic dan Neural Network pada COCOMO II

3.1.7. Deskripsi Umum Aplikasi berbasis Metode yang Dikembangkan

Selain menganalisa metode yang dapat meningkatkan akurasi estimasi perangkat lunak, tugas akhir ini juga memberikan kontribusi tambahan berupa perangkat lunak yang dapat menghitung estimasi biaya perangkat lunak berdasarkan metode optimasi yang dikembangkan. Aplikasi ini menghitung estimasi biaya perangkat lunak dengan memasukkan data *effort multiplier*, *scale factor*, dan LOC.

3.1.7.1. Spesifikasi Kebutuhan Perangkat Lunak

Bagian ini berisi semua kebutuhan perangkat lunak yang diuraikan secara rinci dalam bentuk diagram kasus, diagram urutan, dan diagram aktivitas. Masing-masing diagram menjelaskan perilaku atau sifat dari sistem ini. Kebutuhan perangkat lunak dalam sistem ini mencakup kebutuhan fungsional saja. Pada bab ini juga dijelaskan tentang spesifikasi terperinci pada masing-masing kebutuhan fungsional. Rincian spesifikasi dari kasus penggunaan disajikan dalam bentuk tabel.

3.1.7.2. Kebutuhan Fungsional

Kebutuhan fungsional berisi kebutuhan utama yang harus dipenuhi oleh sistem agar dapat bekerja dengan baik. Kebutuhan fungsional mendefinisikan layanan yang harus disediakan oleh sistem, bagaimana reaksi terhadap masukan, dan apa yang harus dilakukan sistem pada situasi khusus. Daftar kebutuhan fungsional dapat dilihat pada Tabel 3.3.

Tabel 3.3. Daftar Kebutuhan Fungsional Perangkat Lunak

Kode Kebutuhan	Kebutuhan Fungsional	Deskripsi
A0001	Memasukkan nilai atribut	Pengguna memasukkan atribut yang diperlukan seperti <i>effort multiplier</i> , <i>scale factor</i> , dan LOC.
A0002	Melihat hasil estimasi biaya perangkat lunak	Pengguna dapat melihat hasil estimasi biaya perangkat lunak

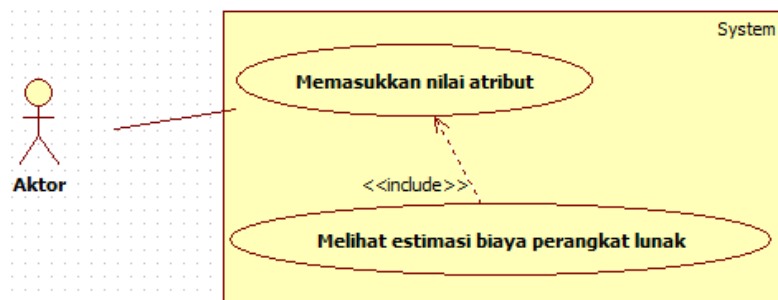
3.1.7.3. Aktor

Aktor mendefinisikan entitas-entitas yang terlibat dan berinteraksi langsung dengan sistem. Entitas ini bisa berupa manusia maupun sistem atau perangkat lunak yang lain. Penulis

mendefinisikan aktor untuk sistem ini yaitu pengguna dari aplikasi estimasi biaya perangkat lunak.

3.1.7.4. Kasus Pengguna

Kasus-kasus penggunaan dalam sistem ini akan dijelaskan secara rinci pada subbab ini. Kasus penggunaan secara umum akan digambarkan oleh salah satu model UML, yaitu diagram kasus penggunaan. Rincian kasus penggunaan berisi spesifikasi kasus penggunaan dan diagram aktivitas. Diagram kasus penggunaan dapat dilihat pada Gambar 3.9. Daftar kode diagram kasus penggunaan sistem dapat dilihat pada Tabel 3.4.



Gambar 3. 9. Diagram Kasus Penggunaan Sistem

Tabel 3. 4. Daftar Kode Diagram Kasus Penggunaan

Kode Kasus Pengguna	Nama
UC01	Memasukkan nilai atribut
UC02	Melihat estimasi biaya perangkat lunak

3.4.3.1. Memasukkan nilai atribut

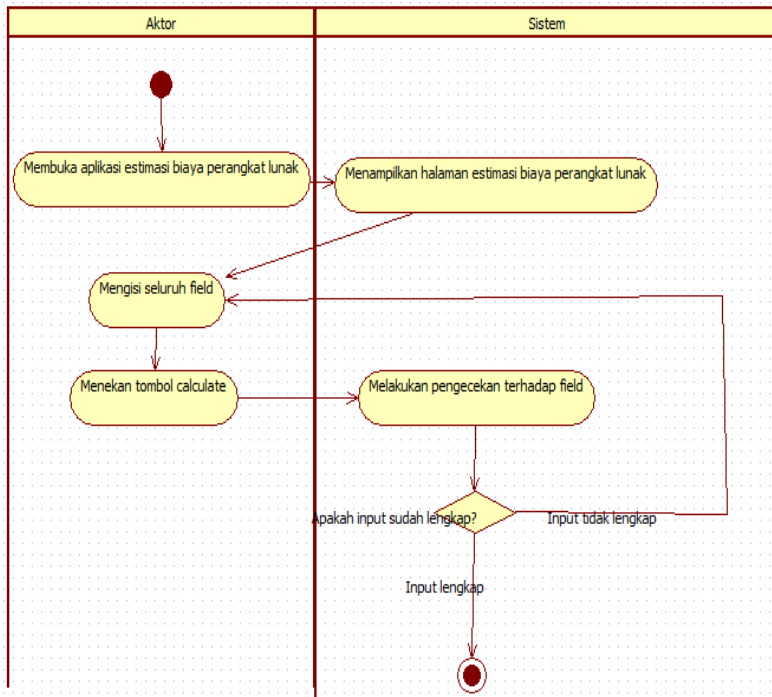
Pada kasus pengguna ini, pengguna memasukkan *effort multiplier*, *scale factor* dan LOC pada halaman aplikasi. Diagram

aktivitas dan diagram urutan dari kasus penggunaan ini bisa dilihat pada Tabel 3.5. dan Gambar 3.10.

Tabel 3. 5. Spesifikasi Kasus Pengguna Memasukkan Nilai Atribut

Nama	Memasukkan Nilai Atribut	
Kodel	UC01	
Deskripsi	Memasukkan nilai atribut berupa effort multiplier, scale factors dan LOC ke dalam sistem.	
Aktor	Pengguna	
Kondisi Awal	Field masih kosong.	
Alir Kejadian Normal	Pengguna 1. Pengguna membuka aplikasi estimasi perangkat lunak. 3. Pengguna mengisi seluruh <i>field</i> yang terdapat pada halaman. 4. Pengguna menekan tombol <i>calculate</i> .	Sistem 2. Sistem menampilkan halaman estimasi biaya perangkat lunak. 5. Sitem melakukan pengecekan terhadap seluruh <i>field</i> yang diisi pengguna A.1. <i>Input</i> yang diberikan pengguna tidak lengkap atau tidak sesuai dengan ketentuan
Aliran Kejadian Alternatif	A1. <i>Input</i> yang diberikan pengguna tidak sesuai dengan ketentuan atau tidak lengkap. A1.1. Sistem menampilkan peringatan kepada pengguna untuk melengkapi <i>field</i> A1.2. Lanjut ke aliran normal 3	

Kondisi Akhir	Proses memasukkan atribut berhasil.
Kebutuhan	-
Khusus	



Gambar 3. 10. Diagram Aktifitas Menghitung Biaya Perangkat Lunak

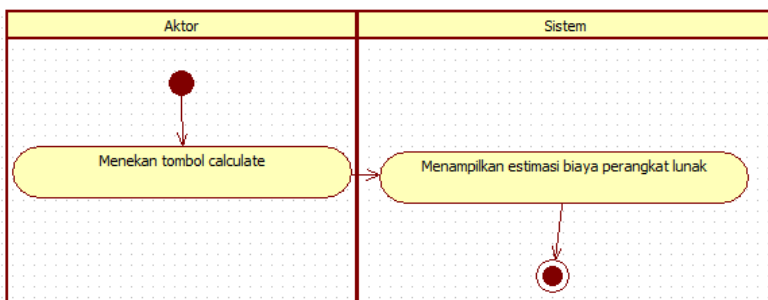
3.4.3.2. Melihat Estimasi Biaya Perangkat Lunak

Pada kasus pengguna ini, pengguna dapat melihat hasil estimasi biaya perangkat lunak. Kasus penggunaan ini hanya dapat terjadi apabila kasus penggunaan memasukkan atribut sudah

dilakukan. Diagram aktivitas dan diagram urutan dari kasus penggunaan ini bisa dilihat pada Tabel 3.6. dan Gambar 3.11.

Tabel 3. 6. Spesifikasi Kasus Pengguna Melihat Estimasi

Nama	Melihat Estimasi Biaya Perangkat Lunak	
Kodel	UC02	
Deskripsi	Melihat estimasi biaya perangkat lunak	
Aktor	Pengguna	
Kondisi Awal	Field sudah terisi	
Alir Kejadian Normal	Pengguna 1. Pengguna menekan tombol <i>calculate</i> .	Sistem 2. Sistem menampilkan hasil biaya perangkat lunak
Aliran Kejadian Alternatif	-	
Kondisi Akhir	Hasil estimasi biaya perangkat lunak ditampilkan	
Kebutuhan Khusus	-	



Gambar 3. 11. Diagram Aktifitas Menampilkan estimasi biaya perangkat lunak

3.2. Perancangan Sistem

Penjelasan tahap perancangan perangkat lunak dijelaskan dalam bentuk perancangan antarmuka.

3.2.1. Perancangan Antarmuka Pengguna

Penjelasan tahap perancangan perangkat lunak dijelaskan dalam bentuk perancangan antarmuka.

3.2.2.1 Halaman Tampilan Menginput dan Menampilkan Estimasi Biaya Perangkat Lunak

Halaman ini merupakan halaman menghitung estimasi biaya perangkat lunak. Field yang disediakan berupa 15 effort multiplier, 5 scale factor, LOC dan biaya gaji karyawan perbulan. Gambar 3.12. menampilkan halaman estimasi biaya perangkat lunak.

The screenshot shows a software application window titled "Software Cost Estimation". The interface is organized into several sections of input fields:

- Analyst Capability:** Nominal dropdown
- Programmers Capability:** Nominal dropdown
- Application Experience:** Nominal dropdown
- Modern Programming Practices:** Nominal dropdown
- Use of Software Tools:** Nominal dropdown
- Virtual Machine:** Nominal dropdown
- Language Experience:** Nominal dropdown
- Schedule Constraint:** Nominal dropdown
- Main Memory:** Nominal dropdown
- Database Size:** Nominal dropdown
- Time:** Nominal dropdown
- Turn:** Nominal dropdown
- Machine Volatility:** Nominal dropdown
- Complexity:** Nominal dropdown
- Reliability:** Nominal dropdown
- Precededness:** Nominal dropdown
- Process Maturity:** Nominal dropdown
- Resolution:** Nominal dropdown
- Development Reliability:** Nominal dropdown
- Team:** Nominal dropdown

Below these sections are two input fields and a calculate button:

- KLOC: Input field
- Cost: Input field
- Calculate: Button

At the bottom of the form are three more input fields:

- Total Pekerja: Input field
- Total Waktu: Input field
- Estimasi Biaya: Input field

Gambar 3. 12. Antarmuka Aplikasi Estimasi Biaya Perangkat Lunak

BAB IV

IMPLEMENTASI

Setelah pada Bab IV dijelaskan mengenai analisa serta metode yang digunakan dalam rangka optimasi biaya perangkat lunak dengan menggunakan COCOMO, *fuzzy* dan *neural network*, maka pada Bab IV ini akan dijelaskan tahap implementasi dari metode yang dianalisa.

4.1. Lingkungan Implementasi

Implementasi dilakukan pada lingkungan sebagai berikut:

a. Perangkat Keras

Implementasi dilakukan pada sebuah laptop dengan spesifikasi:

- i. *Processor* : Intel® Core™ i5-2410M Processor 2.30GHz with Turbo Boost up to 2.90GHz
- ii. RAM : 4 GB
- iii. HDD : 500 GB

b. Perangkat Lunak

Implementasi dilakukan dengan perangkat lunak sebagai berikut:

- i. *Operating System* : Windows 8.1 64-bit
- ii. Implementasi COCOMO : Microsoft Excel
- iii. Implementasi *Fuzzy* : Matlab R2013a
- iv. Implementasi *Neural Network* : Dev-C++
- v. Implementasi Aplikasi : Visual Studio 2012 64-bit

4.2. Penjelasan Implementasi

Seperti yang sudah dijelaskan pada bab analisis dan perancangan, pada bab implementasi ini ada beberapa hal yang akan diaplikasikan. Berikut metode atau desain yang akan diimplementasikan.

1. Implementasi *Fuzzy* pada COCOMO II
2. Implementasi *Neural Network* pada *Fuzzy* COCOMO II

3. Implementasi Aplikasi Estimasi Biaya Perangkat Lunak

4.3. Implementasi *Fuzzy* pada COCOMO II

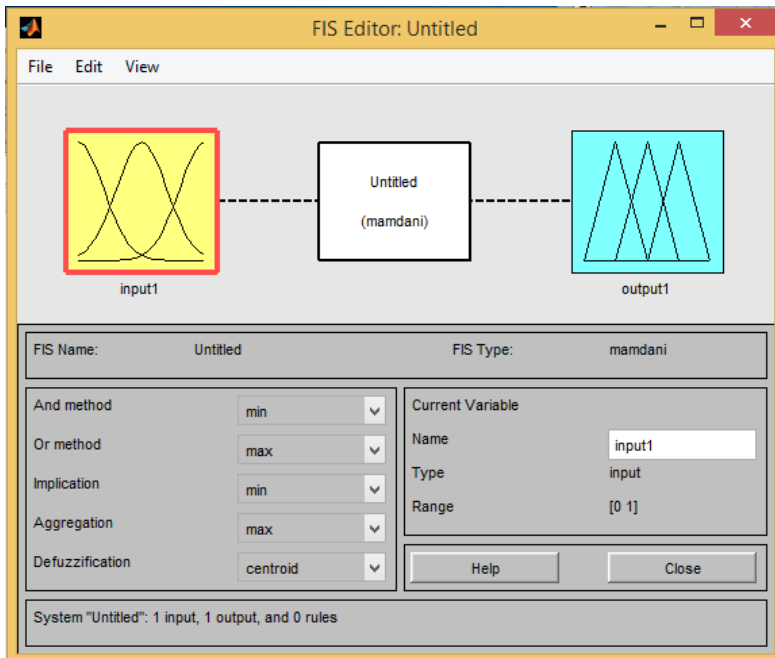
Implementasi ini dilakukan dengan cara memodelkan *effort multiplier* yang berupa *crisp data* ke dalam *fuzzy set* dengan *gaussian membership function* pada Matlab. Pada matlab telah tersedia sebuah *tool* yang disebut FIS. Setelah *input* dan *output* dimasukkan dan *rule* ditetapkan maka hasilnya diubah kembali menjadi *crisp data* untuk dipergunakan dalam rangka optimasi estimasi biaya perangkat lunak. Pada Lampiran C dapat dilihat hasil *fuzzy set* pada COCOMO dengan menggunakan FIS pada Matlab untuk beberapa *effort multiplier*. Berikut ini langkah – langkah implementasi Fuzzy Logic pada COCOMO II menggunakan Matlab :

i. Membuka *Fuzzy Inference System* pada Matlab

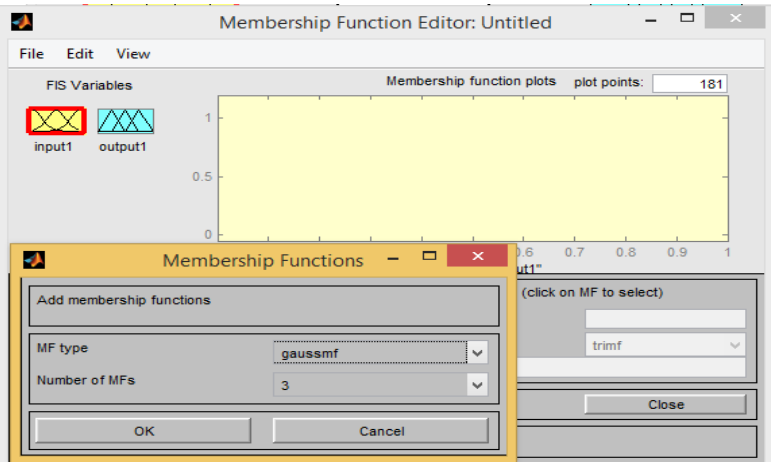
Pada implementasi *Fuzzy Logic* digunakan sebuah alat bantu yang disebut *Fuzzy Inference System Editor*. Alat bantu ini terdapat pada aplikasi Matlab. Gambar 4.1. menampilkan *FIS Editor* pada Matlab.

ii. Mengisi Jumlah *Membership Function* pada *FIS Editor*

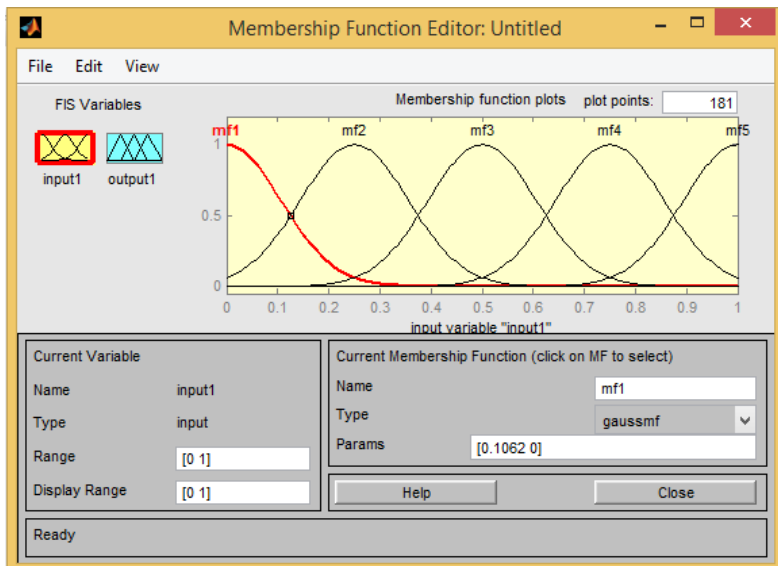
Input baru dibuat dengan cara mengisi pada *input* yang terdapat di *FIS Editor*. MF type dapat dipilih untuk menentukan tipe *membership function* dalam hal ini digunakan *Gaussian Membership Function*. Gambar 4.2. menampilkan *Membership Function* pada *FIS Editor*. Gambar 4.3. menampilkan *Membership Function Editor* pada FIS.



Gambar 4. 1. FIS Editor



Gambar 4. 2. Membership Function pada FIS Editor



Gambar 4. 3. Membership Function Editor

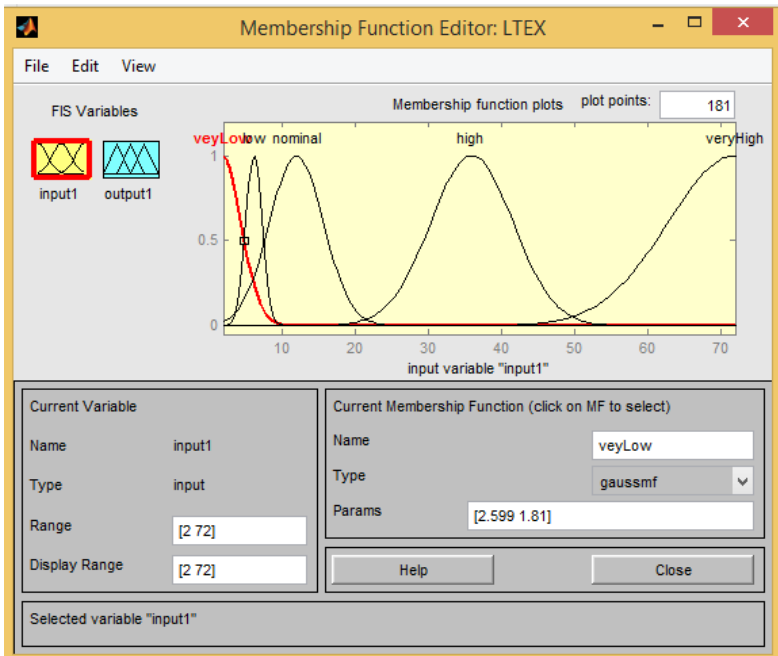
iii. Mengisi *Membership Function Editor*

Membership Function diisi berdasarkan keterangan yang terdapat pada setiap *effort multiplier*. Pada contoh berikut menggunakan sebuah *effort multiplier* yaitu LTEX. Pada setiap *effort multiplier* terdapat *descriptor* yang berfungsi menjelaskan *level* setiap *effort multiplier*.

Gambar 4.4. menampilkan LTEX *Descriptor* yang memetakan setiap level pada LTEX dengan deskripsi dalam tahun atau bulan. *Descriptor* pada LTEX memiliki rentang dari 2 bulan hingga 6 tahun. Deskripsi ini disamakan dalam bentuk bulan supaya dapat digunakan, sehingga pada *Membership Function Editor* diisi *Range* [2, 72]. Kemudian setiap *membership function* diisi berdasar LTEX *Descriptor*. Gambar 4.5. menunjukkan implementasi *Membership Function* pada LTEX.

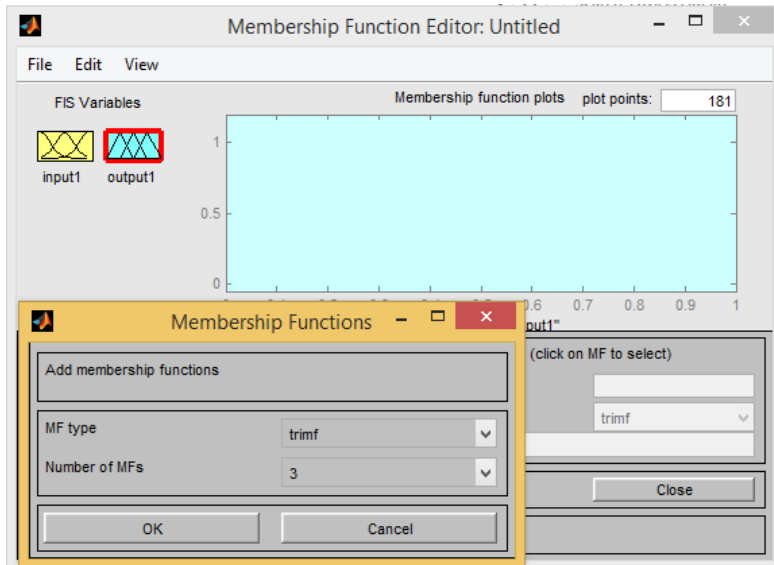
LTEX Descriptors	≤ 2 months	6 months	1 year	3 years	6 year
Rating Levels	Very Low	Low	Nominal	High	Very High

Gambar 4. 4. Deskripsi LTEX



Gambar 4. 5. LTEX Membership Function

- iv. Mengisi Jumlah Output pada *Membership Function Editor*
Output baru dibuat dengan cara mengisi pada *output* yang terdapat di *FIS Editor*. MF type dapat dipilih untuk menentukan tipe *membership function* dalam hal ini digunakan *Gaussian Membership Function*. Gambar 4.6. menampilkan *Membership Function* pada *FIS Editor*. Gambar 4.6. menampilkan *Output Membership Function Editor* pada FIS.



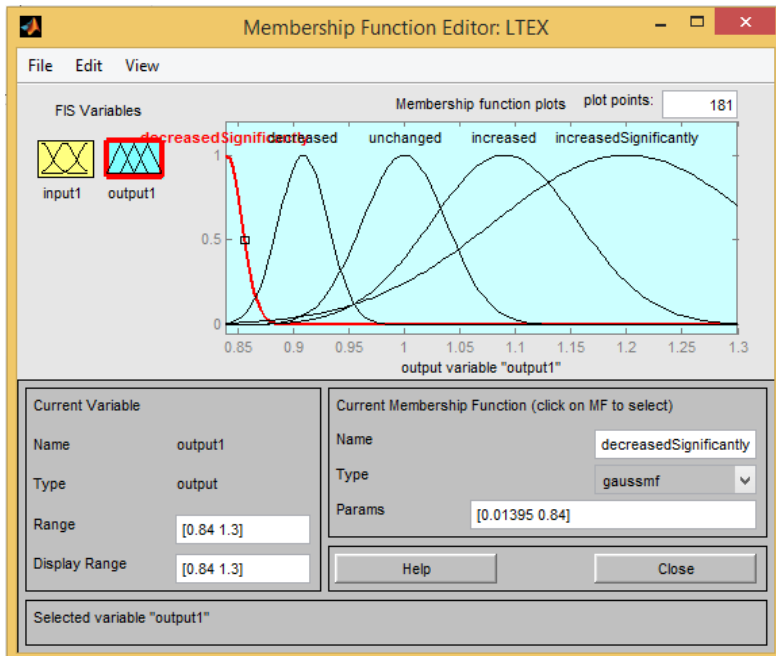
Gambar 4. 6. Output pada *Membership Function Editor*

v. Mengisi *Output* pada *Membership Function Editor*

Pada *output, membership function* diisi berdasarkan nilai yang terdapat pada setiap *Effort Multiplier*. Gambar 4.7. menampilkan nilai pada setiap level LTEX *Effort Multiplier*, rentang dimulai dari 1.2 sampai 0.84. Namun dalam penggunaannya pada *Membership Function* diisi Range[0.84,1.3] karena rentang pada *editor* ini harus berisi nilai yang semakin besar. Kemudian setiap puncak pada LTEX *membership function* diisi sesuai dengan *nilai effort multiplier*. Gambar 4.8. menampilkan implementasi *output* pada LTEX *Membership Function*. Dikarenakan pada input sudah menggunakan deskripsi *Very Low* hingga *High*, pada *output* untuk mempermudah maka *Very Low* ditulis dalam *Decreased Significantly, Low* menjadi *Decreased, dst.*

Rating Levels	Very Low	Low	Nominal	High	Very High
Effort Multipliers	1.20	1.09	1.00	0.91	0.84

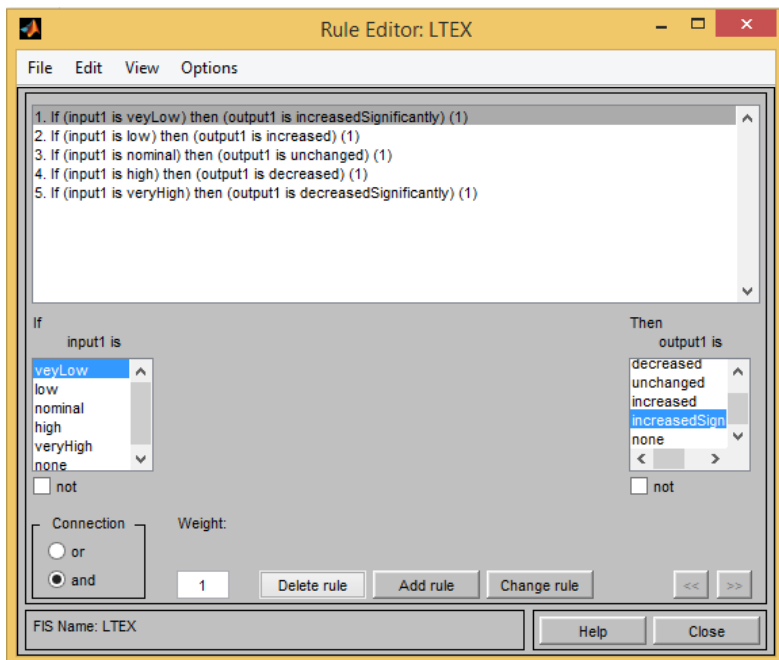
Gambar 4. 7. Nilai LTEX Effort Multiplier



Gambar 4. 8. LTEX Membership Function

vi. Mengisi Rule Editor

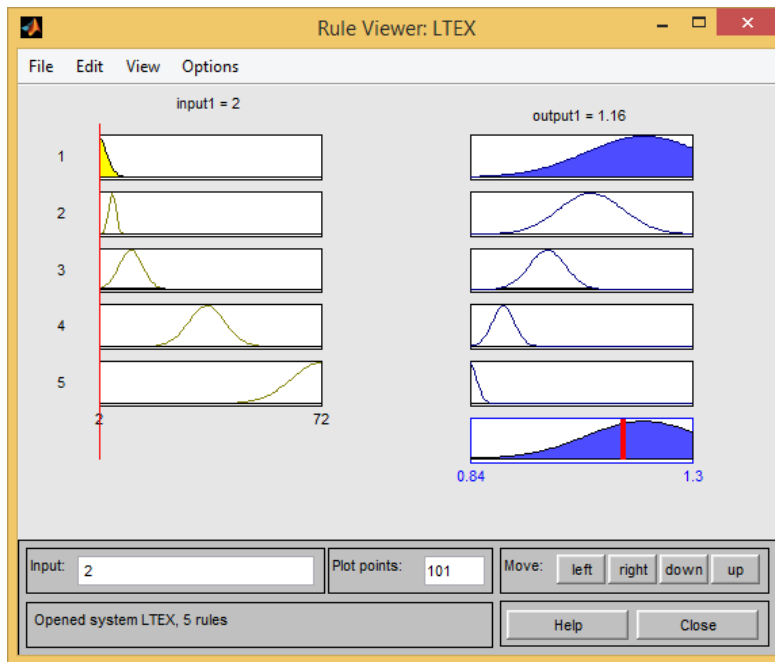
Rule Editor memetakan antara *input* dan *output*. Gambar 4.9. memetakan input yang terdapat pada LTEX dengan *output*. *Very Low* pada *input* dipetakan dengan *Increased Significantly*. Dikarenakan pada *output* sebelumnya *Very Low* pada *output* dipetakan menjadi *Increased Significantly* maka pada *rule editor* ini, *Very Low* pada *input* dipetakan dengan *Increased Significantly* pada *output*.



Gambar 4.9. Rule Editor LTEX

vii. Melihat Hasil Proses *Fuzzy Inference*

Setelah *input*, *output* dan *rule editor* diisi, selanjutnya hasil *effort multiplier* bisa ditampilkan pada *rule viewer*. Gambar 4.10 menampilkan hasil proses *fuzzy inference* pada LTEX.



Gambar 4. 10. Rule Viewer LTEX

Tabel 4.1. menunjukkan *effort multiplier* yang standar pada COCOMO II, sedangkan Tabel 4.2. menunjukkan *effort multiplier* yang sudah berubah dengan adanya implementasi *fuzzy logic*. Selanjutnya data *effort multiplier* yang terdapat pada Tabel 4.2. digunakan untuk menghitung estimasi biaya perangkat lunak. Dengan berubahnya nilai *effort multiplier* dengan menggunakan metode *fuzzy logic* pada COCOMO II maka nilai estimasi secara otomatis juga akan berubah mengikuti perubahan nilai *effort multiplier*.

Tabel 4. 1. COCOMO II Effort Multiplier

Effort Multiplier	Very Low	Low	Nominal	High	Very High	Extra High
acap	1.42	1.19	1	0.85	0.71	-

Effort Multiplier	Very Low	Low	Nominal	High	Very High	Extra High
pcap	1.34	1.15	1	0.88	0.76	-
aexp	1.22	1.1	1	0.88	0.81	-
modp	1.24	1.1	1	0.91	0.82	-
tool	1.17	1.09	1	0.9	0.78	-
vexp	1.21	1.1	1	0.9	-	-
lexp	1.19	1.09	1	0.91	0.85	-
sced	1.43	1.14	1	1	1	-
stor	-	-	1	1.05	1.17	1.46
data	-	0.9	1	1.14	1.28	-
time	-	-	1	1.11	1.29	1.63
turn	-	0.87	1	1.07	1.15	-
virt	-	0.87	1	1.15	1.3	-
cplx	0.73	0.87	1	1.17	1.34	1.74
rely	0.82	0.92	1	1.1	1.26	-

Tabel 4. 2. Fuzzy COCOMO II Effort Multiplier

Effort Multiplier	Very Low	Low	Nominal	High	Very High	Extra High
acap	1.36	1.31	1.13	0.95 4	0.853	-
pcap	1.34	1.14	1	0.88	0.775	-
aexp	1.12	1.1	0.999	0.88 3	0.825	-
modp	1.24	1.1	1	0.91	0.82	-
tool	1.16	1.09	1	0.9	0.78	-
vexp	1.21	1.1	1	0.9	-	-
lexp	1.16	1.1	1	0.90 9	0.85	-
sced	1.4	1.37	1.03	1	1	-

Effort Multiplier	Very Low	Low	Nominal	High	Very High	Extra High
stor	-	-	1	1.07	1.15	1.46
data	-	0.9	1	1.14	1.28	-
time	-	-	1	1.11	1.47	1.6
turn	-	0.87	1	1.07	1.15	-
virt	-	0.87	1	1.14	1.2	-
cplx	0.73	0.87	1	1.17	1.34	1.74
rely	0.82	0.92	1	1.1	1.26	-

4.4. Implementasi *Neural Network* pada *Fuzzy COCOMO II*

Subbab ini menjelaskan bagaimana metode *neural network* diimplementasikan pada *fuzzy COCOMO*. Pada implementasi *neural network* dilakukan dua implementasi arsitektur *neural network*. Hal ini sesuai dengan analisa yang sudah dibahas pada bab sebelumnya. Kode Sumber 4.1. mengimplementasikan *basic neural network* sedangkan Kode Sumber 4.2. mengimplementasikan *modified neural network*.

```
output =0;
HEM = HSF =0;
for(int k=0;k<nVar-2;k++)
{
    HEM += trainVar[i][k]*w[k];
}
HEM += bias1;
HEM = 1 / (1 + (exp(HEM* (-1)) ));
for(int k=0;k<5;k++)
{
    HSF += SF[k] * (v[k]+trainVar[i][15]);
}
HSF+=bias2;
HSF = 1 / (1 + (exp(HSF* (-1)) ));
output = HEM*wOutput[0]+HSF*wOutput[1]+bias3;
```

```

double err = (trainRes[i]-output);
wOutput[0] = wOutput[0]+lRate*err*HEM;
wOutput[1] = wOutput[1]+lRate*err*HSF;
bias3= bias3 + lRate*err;
double errHEM = err*wOutput[0];
double errHSF = err*wOutput[1];
for(int k=0;k<nVar-2;k++)
{
    w[k] = w[k]+lRate*errHEM*trainVar[i][k];
}
for(int k=0;k<5;k++)
{
    v[k] = v[k]+lRate*errHSF*SF[k];
}
bias1 = bias1+lRate*errHEM;
bias2 = bias2+lRate*errHSF;

```

Kode Sumber 4. 1. Fungsi Feed-forward back-propagation pada basic neural network

```

output =0;
HEM = HSF =0;
for(int k=0;k<nVar-2;k++)
{
    HEM += trainVar[i][k]*w[k];
}
HEM += bias1;
HEM = 1 / (1 + (exp(HEM* (-1)) ));
for(int k=0;k<5;k++)
{
    HSF += SF[k]* (v[k]+trainVar[i][15]);
}
HSF+=bias2;
HSF = 1 / (1 + (exp(HSF* (-1)) ));

output = HEM*wOutput[0]+HSF*wOutput[1]+bias3;
double err = (trainRes[i]-output);
double deltaBiasOut = lRate*err;
double wOutput2[2];
wOutput2[0] = lRate*err*HEM;
wOutput2[1] = lRate*err*HSF;
double out2[2];

```

```

out2[0] = err*wOutput[0]*HEM*(1-HEM);
out2[1] = err*wOutput[1]*HSF*(1-HSF);
double deltaWHid[15];
double deltaVHid[5];
double deltaBias[2];
for(int k=0;k<nVar-2;k++)
{
    deltaWHid[k]=out2[0]*lRate*trainVar[i][k];
}
deltaBias[0]= out2[0]*lRate;
deltaBias[1]= out2[1]*lRate;
for(int k=0;k<5;k++)
{
    deltaVHid[k]=out2[1]*lRate*SF[k];
}
bias3+=deltaBiasOut;
wOutput[0]+= wOutput2[0];
wOutput[1]+= wOutput2[1];
for(int k=0;k<nVar-2;k++)
{
    w[k]+= deltaWHid[k];
}
bias1+= deltaBias[0];
bias2+= deltaBias[1];
for(int k=0;k<5;k++)
{
    v[k]+= deltaVHid[k];
}

```

Kode Sumber 4. 2. Fungsi Feed-forward back-propagation pada modified neural network

4.5. Implementasi Aplikasi Estimasi Biaya Perangkat Lunak

Subbab ini menjelaskan implementasi perhitungan estimasi biaya perangkat lunak, lama penggerjaan dan jumlah pekerja. Kode Sumber 4.3. mengaplikasi perhitungan pada aplikasi estimasi.

```
double c =
0.91+(0.01*(pmat3+team3+resl3+flex3+prec3));
double effort = 2.94 * acap3 * pcap3 *aexp3 *
modp3 * tool3 * vexp3 * lexp3 * sced3 * stor3 *
data3 * time3 * turn3 * virt3 * cplx3 * rely3 *
Math.Pow(Convert.ToDouble(kloc.Text),c);
double f = 0.28 + 0.2 * 0.01 * (pmat3 + team3 +
resl3 + flex3 + prec3);
double tdev = c * Math.Pow(effort, f);
if (kloc.Text == "" || cost.Text == "")
    MessageBox.Show("Silahkan isi LOC dan gaji
perbulan");
Else
{
    groupBox4.Visible = true;
    jlh.Text = Convert.ToString(effort/152);
    lama.Text = Convert.ToString(tdev);
    double temp = Convert.ToDouble(cost.Text);
    double temp2 = effort/152*tdev*temp;
    biaya.Text = Convert.ToString(temp2);
```

Kode Sumber 4. 3. Implementasi fungsi perhitungan estimasi biaya perangkat lunak

BAB V

PENGUJIAN DAN EVALUASI

Bab ini membahas uji coba dan evaluasi pada metode yang dikembangkan.

5.1. Lingkungan Uji Coba

Implementasi dilakukan pada lingkungan sebagai berikut:

a. Perangkat Keras

Uji coba dilakukan pada sebuah laptop dengan spesifikasi:

- i. *Processor* : Intel® Core™ i5-2410M Processor 2.30GHz with Turbo Boost up to 2.90GHz
- ii. RAM : 4 GB
- iii. HDD : 500 GB

b. Perangkat Lunak

Uji coba dilakukan dengan perangkat lunak sebagai berikut:

- i. *Operating System* : Windows 8.1 64-bit
- ii. Implementasi COCOMO : Microsoft Excel
- iii. Implementasi *Fuzzy* : Matlab R2013a
- iv. Implementasi *Neural Network* : Dev-C++
- v. Implementasi Aplikasi : Visual Studio 2012 64-bit

5.2. Metode Pengujian

Pengujian metode yang dikembangkan dilakukan dengan cara mencari akurasi dari setiap metode. Metode yang paling sering digunakan dalam rangka mencari akurasi adalah *Mean Relative Error* (MRE) dan *Mean Magnitude Relative Error* (MMRE) [22]. MRE adalah metode untuk mencari persentasi akurasi antara data yang sebenarnya dengan data yang diprediksi sedangkan MMRE merupakan rata-rata dari MRE pada n data. Secara umum nilai 0% pada MRE dan MMRE menyatakan bahwa estimasi sama dengan nilai sebenarnya. Persamaan 6.1. merupakan persamaan MRE sedangkan 6.2. merupakan persamaan MMRE.

$$MRE = \frac{|Actual\ Effort - Estimated\ Effort|}{Actual\ Effort} * 100 \quad \dots(6.1.)$$

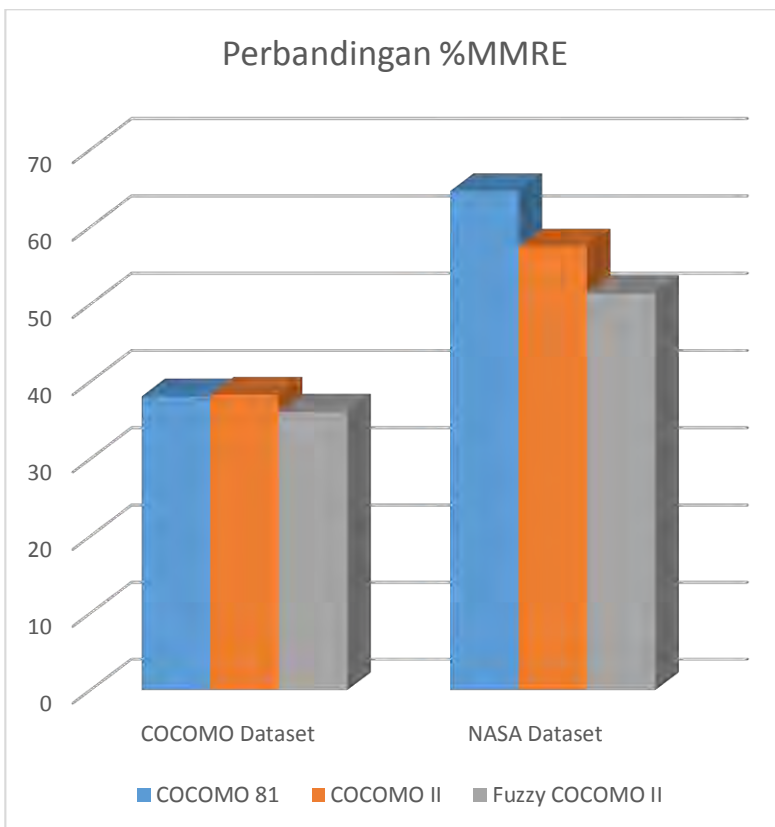
$$MMRE = \frac{1}{N} \sum_{i=1}^N MRE_i \quad \dots(6.2.)$$

5.3. Evaluasi COCOMO 81, COCOMO II, dan Fuzzy COCOMO II

Berdasarkan hasil implementasi pada bab sebelumnya, dengan membandingkan *actual effort* dan *estimated effort* pada setiap *data point* maka didapat MRE. Lampiran D, E, dan F menampilkan hasil perbandingan antar nilai sebenarnya dan nilai estimasi dengan menggunakan COCOMO 81, COCOMO II serta fuzzy-COCOMO II terhadap *dataset* COCOMO dan NASA. Tabel 6.1. menampilkan MMRE dari ketiga metode yaitu COCOMO 81, COCOMO II dan fuzzy COCOMO II terhadap dua *dataset*. Tabel 5.1. menampilkan perbandingan MMRE dengan tiga metode yang digunakan. Gambar 5.1. menampilkan perbandingan MMRE secara grafik agar lebih mudah dicermati.

Tabel 5. 1. Perbandingan MMRE terhadap COCOMO 81, COCOMO II dan fuzzy COCOMO II

Metode	COCOMO dataset (%MMRE)	NASA dataset (%MMRE)
COCOMO 81	38.08	64.61
COCOMO II	38.29	57.46
Fuzzy COCOMO II	36.11	51.42



Gambar 5. 1. Grafik perbandingan MMRE terhadap COCOMO 81, COCOMO II dan fuzzy COCOMO II

5.4. Evaluasi *Neural Network* pada *Fuzzy COCOMO*

Setiap *dataset* dibagi menjadi dua bagian yaitu data *training* dan data *testing*. Data *training* dimasukkan kedalam arsitektur *neural network* untuk selanjutnya dilakukan iterasi dalam rangka mencari nilai dari setiap *weight*. Lalu data *testing* dijalankan menurut arsitektur dan *weight* yang sudah ada. Pada pengujian ini dataset dibagi menjadi 80% data *training* dan 20%

data *testing*. Tabel 5.2. menunjukkan perbandingan antara COCOMO dengan 2 arsitektur *neural network* berdasarkan data *testing*, dimana pemilihan data *testing* dilakukan dengan cara acak pada *dataset* COCOMO. Tabel 5.3. menunjukkan perbandingan antara COCOMO dengan 2 arsitektur berdasarkan data *testing*, dimana pemilihan data *testing* dilakukan dengan cara acak pada *dataset* NASA.

Tabel 5. 2. Perbandingan MRE COCOMO dengan *neural network* pada *dataset* COCOMO

Project ID	Actual Effort (PM)	MRE (%) menggunakan				
		COCOMO 81 Model	COCOMO II Model	Fuzzy COCOMO II Model	Basic Neural Network	Modified Neural Network
2	1600	8.52	50.87	41.59	33.94	35.68
6	43	38.53	51.92	53.48	7.09	0.02
15	61	31.27	40.32	26.42	7.86	1.91
18	11400	44.96	71.25	56.6	45.31	36.74
25	523	59.33	58.46	44.01	20.55	16.28
26	387	35.91	57.67	42.38	24.36	28.01
29	7.3	25.42	18.64	17.38	2.85	40.6
39	8	12.2	8.5	17.47	5.95	21.38
40	8	23.85	0.75	17.59	82.03	47.49
42	45	184.82	73.75	98.3	10.30	2.13
45	106	15.17	26.65	15.71	12.98	18.32
52	41	6.28	17.11	1.75	14.05	1.86
62	38	19.51	6.41	5.82	26.6	25.49
MMRE(%)		38.91	37.1	33.73	22.61	21.22

Tabel 5. 3. Perbandingan MRE COCOMO dengan *neural network* pada dataset COCOMO

Project ID	Actual Effort (PM)	MRE (%) menggunakan				
		COCOMO Model 81	COCOMO Model II	Fuzzy COCOMO II Model	Basic Neural Network	Modified Neural Network
4	36	22.72	44.57	24.89	8.92	6.15
9	72	36.85	61.45	56.15	2.42	21.18
10	72	54.19	69	62.83	4.22	3.77
14	215	121.34	24.13	39.14	24.27	51.32
20	60	134.17	26.14	46.15	5.03	43.58
27	70	11.17	37.94	0.6	2.88	0
30	62	18.47	41.76	5.6	5.9	2.94
37	60	1.69	25.47	13.34	0.66	8.73
39	42	15.66	34.48	23.82	8.82	6.79
43	1368	16.7	57.64	51.29	43.17	32.87
44	973	39.13	31.65	20.71	39.35	14.34
55	370	21.98	58.11	50.15	27.72	13.9
59	4560	442.25	74.18	90.26	48	45.16
63	162	11.11	19.28	6.47	20.64	7.14
64	150	59.03	61.26	55.11	19.42	8.78
70	432	42.47	30.63	7.82	33.72	21.5
73	300	31.88	26.90	2.86	25.77	24.52
79	409	21.75	63.37	58.19	27.93	4.22
90	8211	15.76	81.25	79.30	51.37	30.26
MMRE(%)		58.86	45.74	36.56	21.06	18.27

5.5. Uji Coba pada Aplikasi Estimasi Biaya Perangkat Lunak

Pada subbab ini akan dibahas uji coba terhadap aplikasi untuk setiap kasus pengguna yang ada.

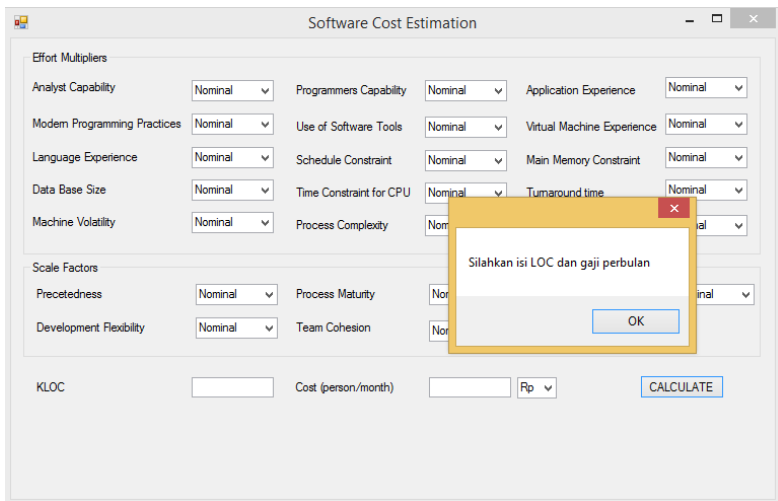
5.5.1. Uji Coba Memasukkan Nilai Atribut

Uji coba yang pertama dilakukan adalah ujicoba memasukkan nilai atribut. Tabel 5.4. menampilkan blackbox testing terhadap kasus pengguna memasukkan nilai atribut. Sedangkan Gambar 5.2. adalah ujicoba aplikasi dalam menangani adanya kesalahan.

Tabel 5. 4. Blackbox Testing Kasus Pengguna Memasukkan Nilai Atribut

No .	Skenario Pengujian	Test Case	Hasil yang diharapkan	Hasil Pengujian	Kesimpulan
1.	Mengganti nilai atribut	Mengganti nilai atribut Time menjadi High	Aplikasi dapat mengganti atribut yang diinginkan	Sesuai Harapan	Valid
2.	Menekan tombol <i>calculate</i> tanpa mengisi <i>field KLOC</i> dan <i>Cost</i>	KLOC:- Cost:-	Aplikasi meminta pengguna mengisi semua field	Sesuai Harapan	Valid
3.	Menekan tombol	KLOC: 100	Aplikasi meminta	Sesuai Harapan	Valid

No .	Skenario Pengujian	Test Case	Hasil yang diharapkan	Hasil Pengujian	Kesimpulan
	<i>calculate</i> dengan hanya mengisi LOC dan tidak mengisi <i>cost</i>	Cost: -	pengguna mengisi semua field		
4.	Menekan tombol <i>calculate</i> dengan hanya mengisi <i>Cost</i> dan tidak mengisi LOC	KLOC: - Cost:100	Aplikasi meminta pengguna mengisi semua field	Sesuai Harapan	Valid



Gambar 5. 2. Peringatan field masih ada yang belum diisi pada aplikasi

5.5.2. Uji Coba Melihat Nilai Estimasi Biaya Perangkat Lunak

Uji coba yang kedua dilakukan adalah ujicoba melihat hasil estimasi biaya perangkat lunak. Tabel 5.5. menampilkan blackbox testing terhadap kasus pengguna memasukkan nilai atribut. Sedangkan Gambar 5.3. adalah ujicoba aplikasi dalam menangani adanya kesalahan.

Tabel 5. 5. Blackbox Testing Kasus Pengguna Memasukkan Nilai Atribut

No .	Skenario Pengujian	Test Case	Hasil yang diharapkan	Hasil Pengujian	Kesimpulan
1.	Input sudah dilakukan aplikasi menampilkan hasil estimasi	Seluruh atribut dibuat nominal KLOC : 100 Cost: 500000 00	Aplikasi menampilkan estimasi biaya aplikasi	Sesuai Harapan	Valid

Gambar 5. 3. Aplikasi menampilkan jumlah pegawai, lama serta biaya perangkat lunak

Hasil pengujian menunjukkan bahwa mengestimasi biaya perangkat lunak menggunakan COCOMO 81 maupun COCOMO II masih kurang akurat, masih perlu ditambahkan adanya metode yang meningkatkan akurasi tersebut. *Fuzzy logic* dan *artificial neural network* pada pengujian terbukti mampu meningkatkan akurasi akurasi pada COCOMO II. Peningkatan yang didapat dengan menggunakan kedua metode ini adalah 43% untuk *dataset* COCOMO dan 60% untuk *dataset* NASA.

BAB VI **KESIMPULAN DAN SARAN**

Pada bab ini akan diberikan kesimpulan yang diambil selama pengerjaan tugas akhir serta saran-saran tentang pengembangan yang dapat dilakukan terhadap tugas akhir ini di masa yang akan datang.

6.1 Kesimpulan

Dari hasil selama proses perancangan, implementasi, serta pengujian dapat diambil kesimpulan sebagai berikut:

1. Estimasi biaya perangkat lunak berhasil dimodelkan dengan cara memasukkan atribut sesuai kebutuhan perangkat lunak yaitu *effort multiplier* dan jumlah baris kode sebuah perangkat lunak.
2. Metode *fuzzy* dapat digunakan untuk meningkatkan akurasi pada COCOMO dengan peningkatan akurasi sebesar 5% pada COCOMO *dataset* dan 20.41 % pada NASA *dataset*.
3. Metode *artificial neural network* dapat diimplementasikan bersama dengan metode *fuzzy logic* pada COCOMO II. Penggabungan kedua metode ini merupakan metode yang paling baik dalam estimasi biaya perangkat lunak dengan tingkat akurasi sebesar 81,79% pada COCOMO *dataset* dan 78.78% pada NASA *dataset*.

6.2 Saran

Berikut saran-saran untuk pengembangan dan perbaikan sistem di masa yang akan datang. Di antaranya adalah sebagai berikut:

1. Optimasi estimasi biaya perangkat lunak pada COCOMO dengan *fuzzy logic* dapat ditingkatkan dengan cara menambahkan *scale factor* dan LOC sebagai *input* pada *fuzzy set*.

2. Optimasi estimasi biaya perangkat lunak pada COCOMO dengan *neural network* dapat ditingkatkan dengan cara menemukan arsitektur baru yang lebih sesuai serta parameter-parameter yang sesuai pula.

DAFTAR PUSTAKA

- [1] C. S. Reddy dan K. Raju, "An improved fuzzy approach for COCOMO's effort estimation using gaussian membership function," *Journal of Software*, vol. 4, pp. 452-459, 2009.
- [2] R. S. Pressman, Software Engineering: a practitioner's approach, New York: McGraw-Hill, 1997.
- [3] P. Bourque dan R. Dupuis, Guide to the Software Engineering Body of Knowledge (SWEBOK), IEEE Computer Society, 2004.
- [4] M. O. Saliu, Adaptive Fuzzy Logic based Framework for Software Development Effort Prediction, Dhahran, 2003.
- [5] J. T. Marchewka, Information Technology Project Management, John Wiley & Sons, Inc., 2009.
- [6] C. Kirsopp, M. Shepperd dan J. Hart, "Search heuristics, case-based reasoning and software project effort prediction," dalam *Genetic and Evolutionary Computation Conference*, New York, 2002.
- [7] S. Chulani, B. Boehm dan B. Steece, Calibrating Software Cost Models Using Bayesian Analysis, University of Southern California Center for Software Engineering, 1998.
- [8] L. H. Putnam, "A General Empirical Solution to the Macro Software Sizing and Estimating Problem," *IEEE Transactions on Software Engineering*, vol. 4, no. 4, pp. 345-361, 1978.
- [9] K. Srinivasan dan D. Fisher, "Machine Learning Approaches to Estimating Software

- Development Effort,” *IEEE Transactions on Software Engineering*, vol. 21, no. 2, 1995.
- [10] L. A. Zadeh, “Fuzzy Logic, Neural Networks, and Soft Computing,” *Communication of the ACM*, vol. 37, no. 3, pp. 77-84, 1994.
 - [11] B. Boehm, Software Engineering Economics, New Jersey, USA: Prentice-Hall, Englewood Cliffs, 1994.
 - [12] B. Boehm, Software Cost Estimation with COCOMO II, New Jersey, USA: Prentice Hall, 2000.
 - [13] R. Sarno, C. Djeni, I. Mukhlash dan D. Sunaryono, “Developing a workflow management system for enterprise resource planning,” *Journal of Theoretical and Applied Information Technology*, vol. 72, no. 3, pp. 412-421, 2015.
 - [14] L. Zadeh, “Fuzzy Sets,” *Elsevier*, vol. 8, pp. 338-353, 1965.
 - [15] J. R. Jang, “Neuro-Fuzzy and Soft Computing, A Computational Approach to Learning and Machine Intelligence,” *Prentice-Hall, Inc.*, p. 72, 1997.
 - [16] M. Negnevitsky, Artificial Intellegence - A Guide to Intelligent System, England: Addison-Wesley, 2002.
 - [17] V. Chandra, “Software effort estimation: a fuzzy logic approach,” *International Journal of Computer Applications*, vol. 103, pp. 39-43, 2014.
 - [18] M. Jorgenson dan D. Sjoberg, “The impact of customer expectation on software development effort estimates,” *International Journal of Project Management*, vol. 22, no. 4, pp. 317-325.
 - [19] B. Boehm, B. Clark, E. Horowitz, R. Madachy, R. Shelby dan C. Westland, “Cost models

- for future software life cycle processes: COCOMO 2.0,” *Annals of Software Engineering*, 1995.
- [20] I. Attarzadeh dan S. Ow, “Improving the accuracy of software cost estimation model on a new fuzzy logic model,” *IDOSI*, pp. 177-184, 2010.
- [21] J. Starczewski, “Defuzzification of Uncertain Fuzzy Sets,” dalam *Studies in Fuzziness and Soft Computing*, New York, Springer, 2013, pp. 77-135.
- [22] L. Briand, K. Emam, D. Surmann dan I. Wieczorek, “An assessment and comparison of common software cost estimation modeling techniques,” *ISERN*, 1998.
- [23] A. Kaushik, A. Soni dan R. Soni, “A simple neural network approach to software cost estimation,” *Global Journal of Computer Science and Technology*, vol. 13, no. 1, pp. 23 - 30, 2013.

(Halaman ini sengaja dikosongkan)

LAMPIRAN

A. COCOMO Dataset

N o.	REL Y	DAT A	CPL X	TI ME	STO R	VIR T	TUR N	AC AP	AE XP	PC AP	VE XP	LE XP	MO DP	TO OL	SCE D	LO C	ACTU AL
1	0.88	1.16	0.7	1	1.06	1.15	1.07	1.19	1.13	1.17	1.1	1	1.24	1.1	1.04	113	2040
2	0.88	1.16	0.85	1	1.06	1	1.07	1	0.91	1	0.9	0.95	1.1	1	1	293	1600
3	1	1.16	0.85	1	1	0.87	1	0.86	0.82	0.86	0.9	0.95	0.91	0.91	1	132	243
4	0.75	1.16	0.7	1	1	0.87	1	1.19	0.91	1.42	1	0.95	1.24	1	1.04	60	240
5	0.88	0.94	1	1	1	0.87	1	1	1	0.86	0.9	0.95	1.24	1	1	16	33
6	0.75	1	0.85	1	1.21	1	1	1.46	1	1.42	0.9	0.95	1.24	1.1	1	4	43
7	0.75	1	1	1	1	0.87	0.87	1	1	1	0.9	0.95	0.91	0.91	1	6.9	8
8	1.15	0.94	1.3	1.66	1.56	1.3	1	0.71	0.91	1	1.21	1.14	1.1	1.1	1.08	22	1075
9	1.15	0.94	1.3	1.3	1.21	1.15	1	0.86	1	0.86	1.1	1.07	0.91	1	1	30	423
10	1.4	0.94	1.3	1.11	1.56	1	1.07	0.86	0.82	0.86	0.9	1	1	1	1	29	321
11	1.4	0.94	1.3	1.11	1.56	1	1.07	0.86	0.82	0.86	0.9	1	1	1	1	32	218
12	1.15	0.94	1.3	1.11	1.06	1	1	0.86	0.82	0.86	1	0.95	0.91	1	1.08	37	201
13	1.15	0.94	1.3	1.11	1.06	1.15	1	0.71	1	0.7	1.1	1	0.82	1	1	25	79

N o.	REL Y	DAT A	CPL X	TI ME	STO R	VIR T	TUR N	AC AP	AE XP	PC AP	VE XP	LE XP	MO DP	TO OL	SCE D	LO C	ACTU AL
14	1.15	0.94	1.65	1.3	1.56	1.15	1	0.86	1	0.7	1.1	1.07	1.1	1.24	1.23	3	60
15	1.4	0.94	1.3	1.3	1.06	1.15	0.87	0.86	1.13	0.86	1.21	1.14	0.91	1	1.23	3.9	61
16	1.4	1	1.3	1.3	1.56	1	0.87	0.86	1	0.86	1	1	1	1	1	6.1	40
17	1.4	1	1.3	1.3	1.56	1	0.87	0.86	0.82	0.86	1	1	1	1	1	3.6	9
18	1.15	1.16	1.15	1.3	1.21	1	1.07	0.86	1	1	1	1	1.24	1.1	1.08	320	11400
19	1.15	1.08	1	1.11	1.21	0.87	1	0.71	0.91	1	1	1	0.91	0.91	1	115 0	6600
20	1.4	1.08	1.3	1.11	1.21	1.15	1.07	0.71	0.82	1.17	1.1	1.07	1.24	1	1.08	299	6400
21	1	1.16	1.15	1.11	1.21	0.87	0.87	0.86	1	1	1	1	0.91	0.91	1	252	2455
22	1.15	1	1	1.3	1.06	1	1	0.86	0.82	0.86	0.9	1	0.91	1	1.23	118	724
23	1.15	1	1	1.11	1.06	1	1	0.86	0.82	0.86	0.9	1	1	1	1.23	77	539
24	0.88	1	0.85	1.11	1.06	1	0.87	1	1.29	1	1.1	0.95	0.82	0.83	1	90	453
25	1.15	1.16	1.3	1.15	1.06	1	0.87	0.86	1	0.86	1.1	1	0.82	0.91	1.08	38	523
26	1	1	0.85	1.11	1.06	1.15	1.07	0.86	1	0.86	1.1	1	0.91	1.1	1.08	48	387
27	1.15	0.94	1.15	1.3	1.21	1	0.87	1	1	1	1	1	0.82	1.1	1.08	9.4	88
28	1.15	1.08	1.3	1.11	1.21	1.15	1.07	0.86	1	0.86	1.1	1.07	1.1	1.1	1	13	98
29	0.88	1	1	1	1	1.19	1.1	1.29	0.86	1	1	0.91	0.91	1.23	2.1 4	7.3	

N o.	REL Y	DAT A	CPL X	TI ME	STO R	VIR T	TUR N	AC AP	AE XP	PC AP	VE XP	LE XP	MO DP	TO OL	SCE D	LO C	ACTU AL
30	0.88	1	1	1	1	1	1	1	1.29	0.86	1	1	0.91	0.91	1.23	1.9 8	5.9
31	1.4	1.08	1	1.11	1.56	1.15	1.07	0.86	0.82	0.86	1.1	1.07	1	1	1	62	1063
32	0.88	1.08	0.85	1	1	1	1	0.71	0.82	1	1	1	1.1	1.1	1	390	702
33	1.4	1.08	1.3	1.6	1.56	1.15	1	0.86	0.82	0.86	0.9	1	0.91	0.91	1	42	605
34	1.15	1.08	1	1.11	1	1	0.87	1	1	1	1	1	0.91	1.1	1.23	23	230
35	0.75	0.94	1.3	1.11	1.21	1.15	1	1	0.91	1	1.1	1	1.24	1.24	1	13	82
36	0.88	1.08	0.81	1	1	0.87	0.87	1.19	1	1.17	0.9	0.95	1	0.91	1.04	15	55
37	0.88	0.94	0.7	1	1.06	1	1	0.86	0.82	0.86	1	1	1	1	1	60	47
38	1	1	1.15	1	1	0.87	0.87	0.71	0.91	1	0.9	0.95	0.82	0.91	1	15	12
39	1	1	1.15	1	1	0.87	1	0.71	0.82	0.7	1	0.95	0.91	1.1	1	6.2	8
40	1	0.94	1.3	1	1	1	0.87	0.86	0.82	1.17	1	1	1.1	1	1	3	8
41	0.88	0.94	1	1	1	0.87	0.87	1	0.82	0.7	0.9	0.95	0.91	0.91	1	5.3	6
42	0.88	1.08	1	1	1.06	0.87	1.07	0.86	1	1	0.9	0.95	0.91	0.91	1.04	45. 5	45
43	1	1.08	1	1	1.21	0.87	1.07	0.86	1	1	0.9	0.95	1	1	1.04	28. 6	83
44	0.88	1.08	1	1.11	1.21	0.87	1.07	1	1	1	0.9	0.95	1.1	1	1.04	30. 6	87
45	0.88	1.08	1	1	1.06	0.87	1.07	1	1	1	0.9	0.95	1	0.91	1.04	35	106

N o.	REL Y	DAT A	CPL X	TI ME	STO R	VIR T	TUR N	AC AP	AE XP	PC AP	VE XP	LE XP	MO DP	TO OL	SCE D	LO C	ACTU AL
46	0.88	1.08	1	1	1.06	0.87	1.07	1	1	0.86	0.9	0.95	1	1	1.04	73	126
47	0.75	0.94	1.3	1	1	0.87	0.87	0.71	0.82	0.7	1.1	1.07	1.1	1	1.04	23	36
48	0.88	0.94	0.85	1	1	0.87	1	1.19	0.91	1.17	0.9	0.95	1.1	1	1.04	464	1272
49	1	1	0.85	1	1	1	0.87	0.71	1	0.7	1.1	1	0.82	0.91	1	91	156
50	1.15	1	1	1.3	1.21	1	0.87	0.86	1	0.86	1.1	1	1	1	1	24	176
51	0.88	1	1	1	1	1.15	1.19	1	1.42	1	0.95	1.24	1.1	1.04	10	122	
52	0.88	0.94	0.85	1	1.06	1.15	1	1	1	1	1.1	1.07	1.24	1.1	1	8.2	41
53	0.88	0.94	1.15	1.11	1.21	1.3	1	0.71	1	0.7	1.1	1.07	1	1.1	1.08	5.3	14
54	1	0.94	1	1	1.06	1.15	0.87	1	0.82	1	1	0.95	0.91	1.1	1	4.4	20
55	0.88	0.94	0.7	1	1	0.87	0.87	0.86	0.82	1.17	0.9	0.95	1.1	1	1	6.3	18
56	1.15	0.94	1.3	1.3	1.21	1	1	0.86	0.91	1	1.1	1.07	1.1	1.1	1.08	27	958
57	1	0.94	1.15	1.11	1.21	1.3	1	1	1	1	1.1	1.07	1.1	1.1	1.23	17	237
58	1.4	0.94	1.3	1.66	1.21	1	1	0.71	0.82	0.7	0.9	0.95	0.91	1	1	25	130
59	1	0.94	1.15	1.11	1.06	1	0.87	1	1	1	1	1	0.91	1	1	23	70
60	1.15	0.94	1.3	1.11	1.06	1	1	0.86	1.13	0.86	1.1	1.07	1.1	1.1	1.08	6.7	57
61	1	0.94	1.15	1	1	0.87	0.87	0.86	1	0.86	0.9	1	0.82	1	1	28	50
62	0.88	0.94	1.3	1.11	1.21	1.15	1	0.86	0.82	0.7	1.21	1.14	0.91	1.24	1	9.1	38

N o.	REL Y	DAT A	CPL X	TI ME	STO R	VIR T	TUR N	AC AP	AE XP	PC AP	VE XP	LE XP	MO DP	TO OL	SCE D	LO C	ACTU AL
63	1	0.94	1.15	1	1	0.87	0.71	0.82	0.86	1	1	0.82	1	1	10	15	

B. NASA Dataset

N o.	N a m e	Categor y	f / g	Ce ntr e	Y ea r	Mode	R E L Y	D A T A	C P L X	TI M E	ST O R	VI R T	T U R N	A C A P	A E X P	P C A P	V E X P	L E X P	M O D P	T O O L	S C E D	L O C	AC TU AL
1	de	avionics monitoring	g	2	1 9 7 9	semid etach ed	H	l	h	n	n	l	l	n	n	n	n	h	h	n	l	25. .9	117. 6
2	de	avionics monitoring	g	2	1 9 7 9	semid etach ed	H	l	h	n	n	l	l	n	n	n	n	h	h	n	l	24. .6	117. 6
3	de	avionics monitoring	g	2	1 9 7 9	semid etach ed	H	l	h	n	n	l	l	n	n	n	n	h	h	n	l	7. 7	31.2
4	de	avionics monitoring	g	2	1 9 7 9	semid etach ed	H	l	h	n	n	l	l	n	n	n	n	h	h	n	l	8. 2	36
5	de	avionics monitoring	g	2	1 9 7 9	semid etach ed	H	l	h	n	n	l	l	n	n	n	n	h	h	n	l	9. 7	25.2

No.	Name	Category	f/g	Center	Year	Mode	RELY	DAT	CPA	TME	STO	VIR	TUR	ACA	AEX	PCA	VEX	LEX	MODP	TOOL	SCED	LOC	ACTUAL
6	de	avionics monitoring	g	2	1 9 7 9	semid etached	H	l	h	n	n	l	l	n	n	n	h	h	n	l	2. 2	8.4	
7	de	avionics monitoring	g	2	1 9 7 9	semid etached	H	l	h	n	n	l	l	n	n	n	h	h	n	l	3. 5	10.8	
8	er b	avionics monitoring	g	2	1 9 8 2	semid etached	H	l	h	n	n	l	l	n	n	n	h	h	n	l	66. .6	352. 8	
9	ga l	mission planning	g	1	1 9 8 0	semid etached	H	l	h	xh	xh	l	h	h	h	n	h	h	h	n	7. 5	72	
10	ga l	mission planning	g	1	1 9 8 0	semid etached	N	l	h	n	n	l	l	h	vh	vh	n	h	n	n	n	20	72
11	ga l	mission planning	g	1	1 9 8 4	semid etached	N	l	h	n	n	l	l	h	vh	h	n	h	n	n	n	6	24
12	ga l	mission planning	g	1	1 9 8 0	semid etached	N	l	h	n	n	l	l	h	vh	vh	n	h	n	n	n	10 0	360
13	ga l	mission planning	g	1	1 9	semid etached	N	l	h	n	n	l	l	h	vh	n	n	l	n	n	n	11. .3	36

N o . .	N a m e	Categor y	f / g	Ce ntr e	Y ea r	Mode	R E L Y	D A T A	C P L X	TI M E	ST O R	VI R T	T U R N	A C A P	A E X P	P C A P	V E X P	L E X P	M O D P	T O O L	S C E D	L O C	AC TU AL
						8 5																	
1 4	ga l	missionplanning	g	1	1 9 8 0	semid etach ed	N	l	h	n	n	h	l	h	h	l	vl	n	n	n	10 0	215	
1 5	ga l	missionplanning	g	1	1 9 8 3	semid etach ed	N	l	h	n	n	l	l	h	vh	h	n	h	n	n	20	48	
1 6	ga l	missionplanning	g	1	1 9 8 2	semid etach ed	N	l	h	n	n	l	l	h	n	n	vl	n	n	n	10 0	360	
1 7	ga l	missionplanning	g	1	1 9 8 0	semid etach ed	N	l	h	n	xh	l	l	h	vh	vh	n	h	n	n	15 0	324	
1 8	ga l	missionplanning	g	1	1 9 8 4	semid etach ed	N	l	h	n	n	l	l	h	h	h	n	h	n	n	31 .5	60	
1 9	ga l	missionplanning	g	1	1 9 8 3	semid etach ed	N	l	h	n	n	l	l	h	vh	h	n	h	n	n	15	48	
2 0	ga l	missionplanning	g	1	1 9 8 4	semid etach ed	N	l	h	n	xh	l	l	h	h	n	n	h	n	n	32 .5	60	

No.	Name	Category	f/g	Center	Year	Mode	RELY	DAT	CPLX	TIME	STOR	VIRT	TURN	ACAP	AEXP	PACP	VEXP	LEXP	MODP	TOOL	SCED	LOC	ACTUAL
21	X	avionics monitoring	g	2	1985	semid etached	H	l	h	n	n	l	l	n	n	n	h	h	n	l	197	60	
22	X	avionics monitoring	g	2	1985	semid etached	H	l	h	n	n	l	l	n	n	n	h	h	n	l	666	300	
23	X	simulation	g	2	1985	semid etached	H	l	h	n	n	l	l	n	n	n	h	h	n	l	295	120	
24	X	monitor_control	g	2	1986	semid etached	H	n	n	h	n	n	n	n	h	h	n	n	n	n	15	90	
25	X	monitor_control	g	2	1986	semid etached	H	n	h	n	n	n	n	n	h	h	n	n	n	n	38	210	
26	X	monitor_control	g	2	1986	semid etached	N	n	n	n	n	n	n	n	h	h	n	n	n	n	10	48	
27	X	realdata processing	g	2	1982	semid etached	N	vh	h	vh	vh	l	h	vh	h	n	l	h	vh	vh	l	154	70
28	X	realdata processing	g	2	19	semid etached	N	vh	h	vh	vh	l	h	vh	h	n	l	h	vh	vh	l	485	239

No.	Name	Category	f/g	Center	Year	Mode	REALY	DAT	CPA	TIME	STOR	VIRT	TUR	ACAP	AEXP	PCAP	VEXP	LEXP	MODP	TOOL	SCED	LOC	ACTUAL
					82																		
29	X	realdata processing	g	2	1982	semid etached	N	vh	h	vh	vh	l	h	vh	h	n	l	h	vh	vh	l	163	82
30	X	communications	g	2	1982	semid etached	N	vh	h	vh	vh	l	h	vh	h	n	l	h	vh	vh	l	12.8	62
31	X	batchdata processing	g	2	1982	semid etached	N	vh	h	vh	vh	l	h	vh	h	n	l	h	vh	vh	l	32.6	170
32	X	datacapture	g	2	1982	semid etached	N	vh	h	vh	vh	l	h	vh	h	n	l	h	vh	vh	l	35.5	192
33	X	missionplanning	g	2	1985	semid etached	H	l	h	n	n	l	l	n	n	n	n	h	h	n	l	5.5	18
34	X	avionics monitoring	g	2	1987	semid etached	H	l	h	n	n	l	l	n	n	n	n	h	h	n	l	10.4	50
35	X	avionics monitoring	g	2	1987	semid etached	H	l	h	n	n	l	l	n	n	n	n	h	h	n	l	14	60

No.	Name	Category	f/g	Center	Year	Mode	RELY	DAT	CPLX	TIME	STOR	VIRT	TURN	ACAP	AEXP	PCAP	VEXP	LEXP	MODP	TOOL	SCED	LOC	ACTUAL
36	X	monitor_control	g	2	1986	semid etached	H	n	h	n	n	n	n	n	n	n	n	n	n	n	n	6.5	42
37	X	monitor_control	g	2	1986	semid etached	N	n	h	n	n	n	n	n	n	n	n	n	n	n	n	13	60
38	X	monitor_control	g	2	1986	semid etached	N	n	h	n	n	n	n	n	n	h	n	h	h	h	n	90	444
39	X	monitor_control	g	2	1986	semid etached	N	n	h	n	n	n	n	n	n	n	n	n	n	n	n	8	42
40	X	monitor_control	g	2	1986	semid etached	N	n	h	h	n	n	n	n	n	n	n	n	n	n	n	16	114
41	host	datacapture	g	2	1980	semid etached	N	h	h	vh	h	l	h	h	n	h	l	h	h	n	l	17.9	1248
42	slp	launchprocessing	g	6	1975	semid etached	H	l	h	n	n	l	l	n	n	h	n	n	h	vl	n	302	2400
43	Y	application_group	g	5	19	semid etached	N	h	l	n	n	h	n	h	n	n	n	h	h	n	28.1	1368	

No.	Name	Category	f/g	Center	Year	Mode	REL	DAT	CPA	TME	STO	VIR	TUR	ACA	AEX	PAC	VEX	LEX	MODP	TOOL	SCED	LOC	ACTUAL
					82																		
44	Y	application_group	g	5	1982	semidetached	H	h	l	n	n	n	h	h	n	n	n	h	n	n	284.7	973	
45	Y	avionics monitoring	g	5	1982	semidetached	H	h	n	n	n	l	l	n	h	h	n	h	n	n	79	400	
46	Y	avionics monitoring	g	5	1977	semidetached	L	n	n	n	n	l	l	h	h	vh	n	h	l	l	h	423	2400
47	Y	missionplanning	g	5	1977	semidetached	N	n	n	n	n	l	n	h	vh	vh	l	h	h	n	n	190	420
48	Y	missionplanning	g	5	1984	semidetached	N	n	h	n	h	n	n	h	h	n	n	h	h	n	h	475	252
49	Y	missionplanning	g	5	1980	semidetached	Vh	n	xh	h	h	l	l	n	h	n	n	n	l	h	n	21	107
50	Y	simulation	g	5	1983	semidetached	N	h	h	vh	n	n	h	h	h	n	h	l	l	h	78	571.4	

No.	Name	Category	f/g	Center	Year	Mode	RELY	DAT	CPLX	TIME	STOR	VIRT	TURN	ACAP	AEXP	PACP	VEXP	LEXP	MODP	TOOL	SCED	LOC	ACTUAL
51	Y	simulation	g	5	1984	semid etached	N	h	h	vh	n	n	h	h	h	n	h	l	l	h	114	98.8	
52	Y	simulation	g	5	1985	semid etached	N	h	h	vh	n	n	h	h	h	n	h	l	l	h	193	155	
53	Y	missionplanning	g	5	1979	semid etached	H	n	vh	h	h	l	h	h	n	h	h	l	vh	h	101	750	
54	Y	missionplanning	g	5	1979	semid etached	H	n	h	h	h	l	h	n	h	n	n	n	l	vh	n	219	2120
55	Y	utility	g	5	1979	semid etached	H	n	h	h	h	l	h	n	h	n	n	n	l	vh	n	50	370
56	sp1	datacapture	g	2	1979	semid etached	Vh	h	h	vh	vh	n	n	vh	vh	vh	n	h	h	h	l	227	1181
57	sp1	batchdata processing	g	2	1977	semid etached	N	h	vh	n	n	l	n	h	n	vh	l	n	h	n	l	70	278
58	de	avionics monitoring	g	2	19	semid etached	H	l	h	n	n	l	l	n	n	n	n	h	h	n	l	0.9	8.4

No.	Name	Category	f/g	Center	Year	Mode	R E L Y	D A T A	C P L X	T I M E	S T O R	V I R T	T U R N	A C A P	A E X P	P C A P	V E X P	L E X P	M O D P	T O O L	S C E D	L O C	AC TU AL
					7 9																		
5 9	sl p	operatin gsystem	g	6	1 9 7 4	semid etach ed	Vh	l	xh	xh	vh	l	l	h	vh	h	vl	h	vl	vl	h	98 0	456 0
6 0	sl p	operatin gsystem	g	6	1 9 7 5	embe dded	N	l	h	n	n	l	l	vh	n	vh	h	h	n	l	n	35 0	720
6 1	Y	operatin gsystem	g	5	1 9 7 6	embe dded	H	n	xh	h	h	l	l	h	n	n	h	h	h	h	n	70	458
6 2	Y	utility	g	5	1 9 7 9	embe dded	H	n	xh	h	h	l	l	h	n	n	h	h	h	h	n	27 1	246 0
6 3	Y	avionics monitori ng	g	5	1 9 7 1	organ ic	N	n	n	n	n	l	l	h	h	h	n	h	n	l	n	90	162
6 4	Y	avionics monitori ng	g	5	1 9 8 0	organ ic	N	n	n	n	n	l	l	h	h	h	n	h	n	l	n	40	150
6 5	Y	avionics monitori ng	g	5	1 9 7 9	embe dded	H	n	h	h	n	l	l	h	h	h	n	h	n	n	n	13 7	636

No.	Name	Category	f/g	Center	Year	Mode	REALITY	DATAX	CPLEX	TIME	STOR	VIRT	TURN	ACAP	AEXP	PACP	VEXP	LEXP	MODP	TOOL	SCED	LOC	ACTUAL
66	Y	avionics monitoring	g	5	1977	embedded	H	n	h	h	n	h	l	h	h	n	h	n	vl	n	150	882	
67	Y	avionics monitoring	g	5	1976	embedded	Vh	n	h	h	n	l	l	h	h	n	h	n	n	n	339	444	
68	Y	avionics monitoring	g	5	1983	organic	L	h	l	n	n	h	l	h	h	n	h	n	l	n	240	192	
69	Y	avionics monitoring	g	5	1978	semidetached	H	n	h	n	vh	l	n	h	h	h	h	h	l	l	144	576	
70	Y	avionics monitoring	g	5	1979	semidetached	N	l	n	n	vh	l	n	h	h	h	h	h	l	l	151	432	
71	Y	avionics monitoring	g	5	1979	semidetached	N	l	h	n	vh	l	n	h	h	h	h	h	l	l	34	72	
72	Y	avionics monitoring	g	5	1979	semidetached	N	n	h	n	vh	l	n	h	h	h	h	h	l	l	1	98	300
73	Y	avionics monitoring	g	5	19	semidetached	N	n	h	n	vh	l	n	h	h	h	h	h	l	l	1	85	300

No.	Name	Category	f/g	Center	Year	Mode	R E L Y	D A T A	C P L X	T I M E	S T O R	V I R T	T U R N	A C A P	A E X P	P C A P	V E X P	L E X P	M O D P	T O O L	S C E D	L O C	AC TU AL	
					7 9																			
7 4	Y	avionics monitoring	g	5	1 9 8 2	semid etached	N	l	n	n	vh	l	n	h	h	h	h	h	h	1	1	1	20	240
7 5	Y	avionics monitoring	g	5	1 9 7 8	semid etached	N	l	n	n	vh	l	n	h	h	h	h	h	h	1	1	1	11 1	600
7 6	Y	avionics monitoring	g	5	1 9 7 8	semid etached	H	vh	h	n	vh	l	n	h	h	h	h	h	h	1	1	1	16 2	756
7 7	Y	avionics monitoring	g	5	1 9 7 8	semid etached	H	h	vh	n	vh	l	n	h	h	h	h	h	h	1	1	1	35 2	120 0
7 8	Y	operating system	g	5	1 9 7 9	semid etached	H	n	vh	n	vh	l	n	h	h	h	h	h	h	1	1	1	16 5	97
7 9	Y	mission planning	g	5	1 9 8 4	embedded	H	n	vh	h	h	l	vh	h	n	n	h	h	h	vh	h	60	409	
8 0	Y	mission planning	g	5	1 9 8 4	embedded	H	n	vh	h	h	l	vh	h	n	n	h	h	h	vh	h	10 0	703	

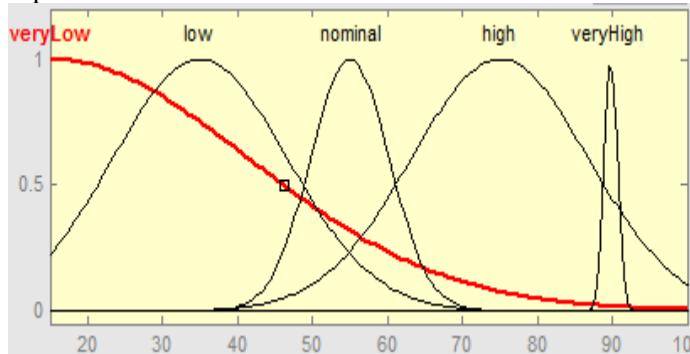
No.	Name	Category	f/g	Center	Year	Mode	RELY	DAT	CPL	TME	STO	VIR	TUR	ACA	AEX	PCA	VEX	LEX	MODP	TOOL	SCED	LOC	AC TUAL
81	hs t	Avionics	f	2	1980	embedded	H	vh	vh	xh	xh	h	h	n	n	l	l	n	n	h	32	1350	
82	hs t	Avionics	f	2	1980	embedded	H	h	h	vh	xh	h	h	h	h	h	h	h	h	n	n	53	480
83	sp l	Avionics	f	3	1977	embedded	H	l	vh	vh	xh	l	n	vh	vh	vh	vl	vl	h	h	n	41	599
84	sp l	Avionics	f	3	1977	embedded	H	l	vh	vh	xh	l	n	vh	vh	vh	vl	vl	h	h	n	24	430
85	Y	Avionics	f	5	1977	embedded	Vh	h	vh	xh	xh	n	n	h	h	h	h	h	h	n	h	165	4178.2
86	Y	science	f	5	1977	embedded	Vh	h	vh	xh	xh	n	n	h	h	h	h	h	h	n	h	65	1772.5
87	Y	Avionics	f	5	1977	embedded	Vh	h	vh	xh	xh	n	l	h	h	h	h	h	h	n	h	70	1645.9
88	Y	Avionics	f	5	19	embedded	Vh	h	xh	xh	xh	n	n	h	h	h	h	h	h	n	h	50	1924.5

No.	Name	Category	f/g	Center	Year	Mode	R E L Y	D A T A	C P L X	T I M E	S T O R	V I R T	T U R N	A C A P	A E X P	P C A P	V E X P	L E X P	M O D P	T O O L	S C E D	L O C	AC TU AL
					7 7																		
8 9	gal	Avionics	f	5	1 9 8 2	embe dded	Vh	l	vh	vh	xh	l	l	h	l	n	vl	l	l	h	h	7. 25	648
9 0	Y	Avionics	f	5	1 9 8 0	embe dded	Vh	h	vh	xh	xh	n	n	h	h	h	h	h	h	n	h	23 3	821 1
9 1	X	Avionics	f	2	1 9 8 3	embe dded	H	n	vh	vh	vh	h	h	n	n	n	l	l	n	n	h	16 .3	480
9 2	X	Avionics	f	2	1 9 8 3	embe dded	H	n	vh	vh	vh	h	h	n	n	n	l	l	n	n	h	6. 2	12
9 3	X	science	f	2	1 9 8 3	embe dded	H	n	vh	vh	vh	h	h	n	n	n	l	l	n	n	h	3	38

C. Fuzzy Inference System (FIS)

1. ACAP

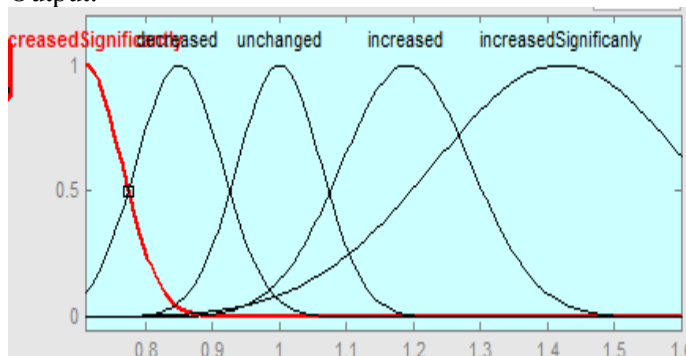
Input:



Rules:

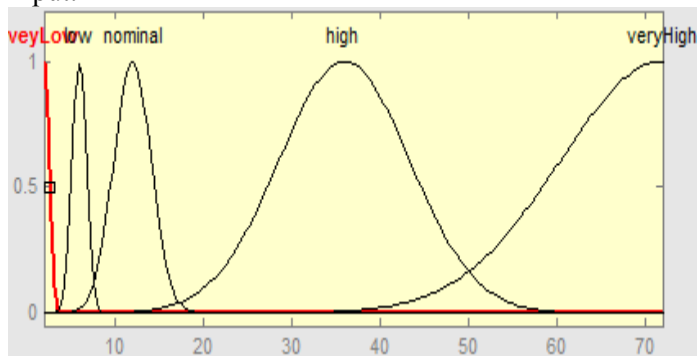
- ```
1. If (input1 is veryLow) then (output1 is increasedSignificantly) (1)
2. If (input1 is low) then (output1 is increased) (1)
3. If (input1 is nominal) then (output1 is unchanged) (1)
4. If (input1 is high) then (output1 is decreased) (1)
5. If (input1 is veryHigh) then (output1 is decreasedSignificantly) (1)
```

Output:



## 2. APEX

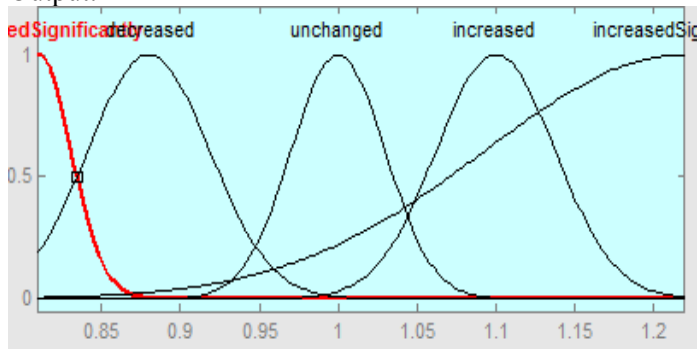
Input:



Rules:

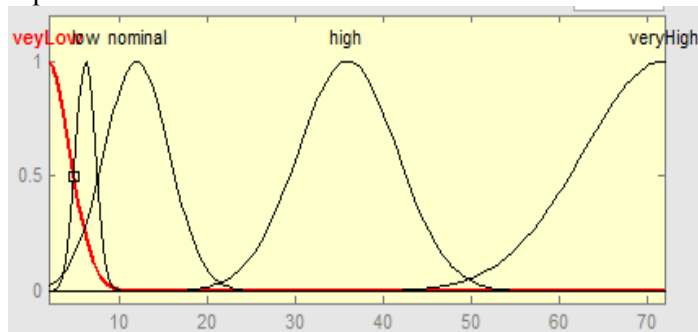
1. If (input1 is veyLow) then (output1 is increasedSignificantly) (1)
2. If (input1 is low) then (output1 is increased) (1)
3. If (input1 is nominal) then (output1 is unchanged) (1)
4. If (input1 is high) then (output1 is decreased) (1)
5. If (input1 is veryHigh) then (output1 is decreasedSignificantly) (1)

Output:



## 3. LTEX

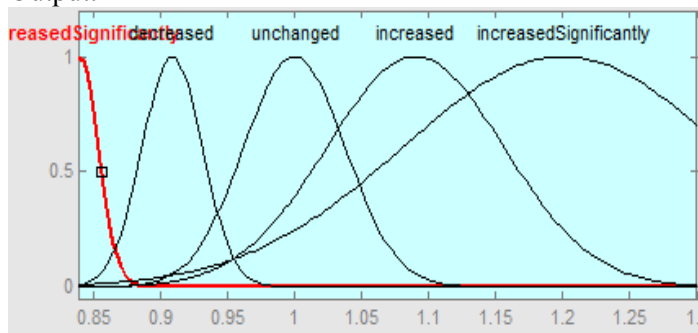
Input:



Rules:

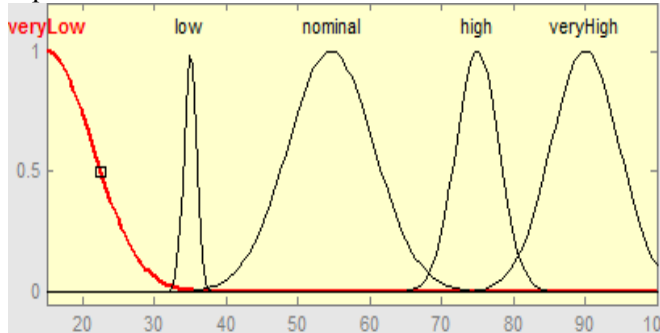
1. If (input1 is veyLow) then (output1 is increasedSignificantly) (1)
2. If (input1 is low) then (output1 is increased) (1)
3. If (input1 is nominal) then (output1 is unchanged) (1)
4. If (input1 is high) then (output1 is decreased) (1)
5. If (input1 is veryHigh) then (output1 is decreasedSignificantly) (1)

Output:



#### 4. PCAP

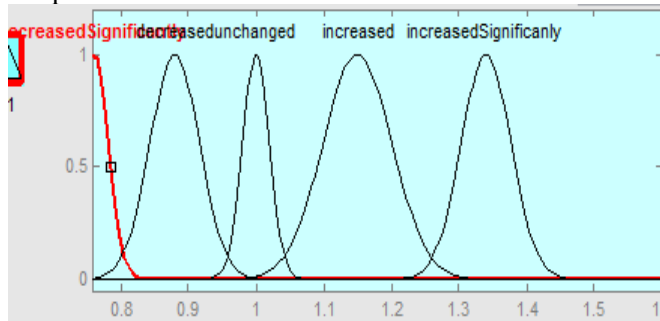
Input:



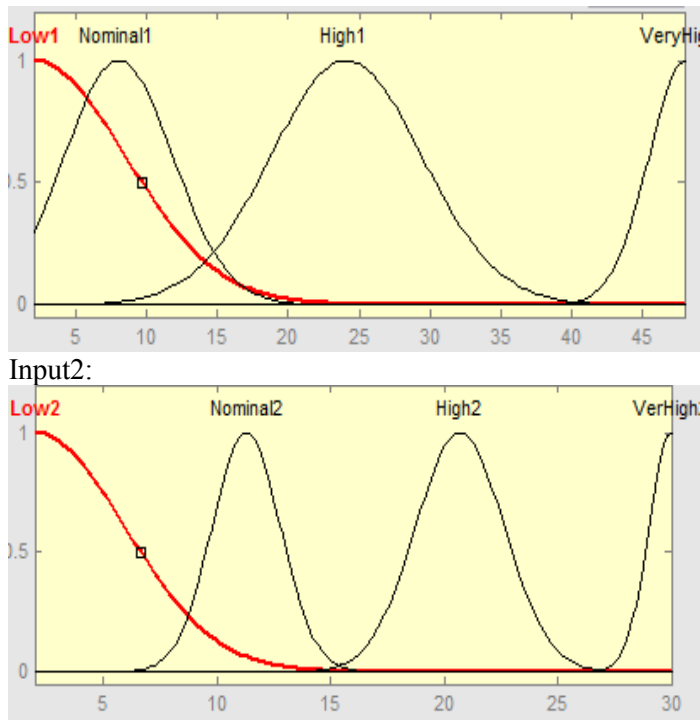
Rules:

1. If (input1 is veryLow) then (output1 is increasedSignificantly) (1)
2. If (input1 is low) then (output1 is increased) (1)
3. If (input1 is nominal) then (output1 is unchanged) (1)
4. If (input1 is high) then (output1 is decreased) (1)
5. If (input1 is veryHigh) then (output1 is decreasedSignificantly) (1)

Output:



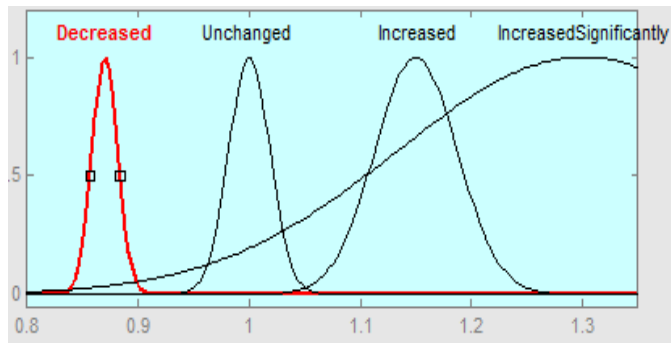
5. PVOL  
Input 1:



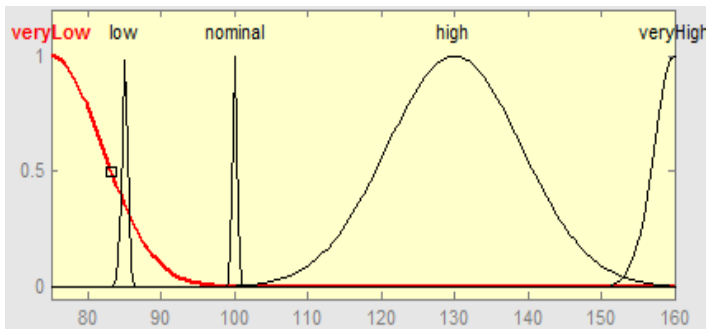
Rules:

1. If (major is VeryHigh1) and (minor is VerHigh2) then (output1 is Decreased) (1)
2. If (major is High1) and (minor is High2) then (output1 is Unchanged) (1)
3. If (major is Nominal1) and (minor is Nominal2) then (output1 is Increased) (1)
4. If (major is Low1) and (minor is Low2) then (output1 is IncreasedSignificantly) (1)

Output:



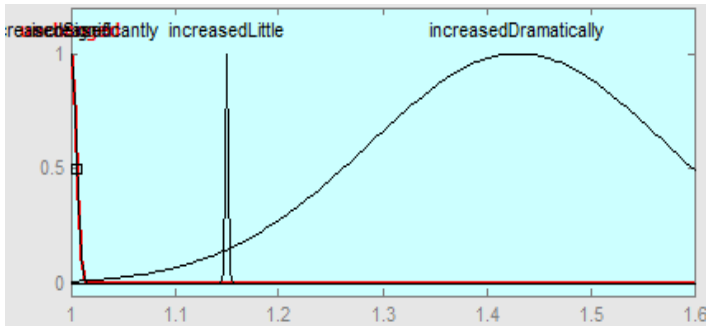
6. SCED  
Input:



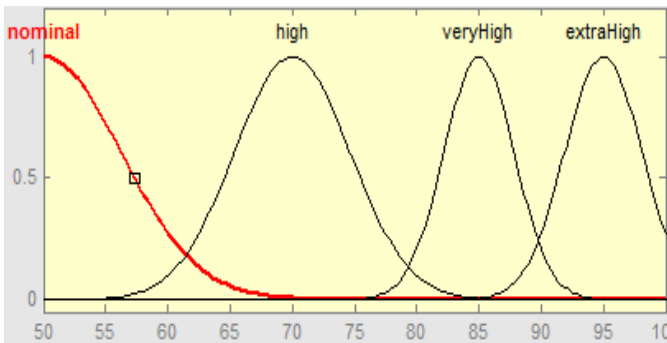
Rules:

1. If (input1 is veryLow) then (output1 is increasedDramatically) (1)
2. If (input1 is low) then (output1 is increasedLittle) (1)
3. If (input1 is nominal) then (output1 is unchanged) (1)
4. If (input1 is high) then (output1 is increased) (1)
5. If (input1 is veryHigh) then (output1 is increasedSignificantly) (1)

Output:



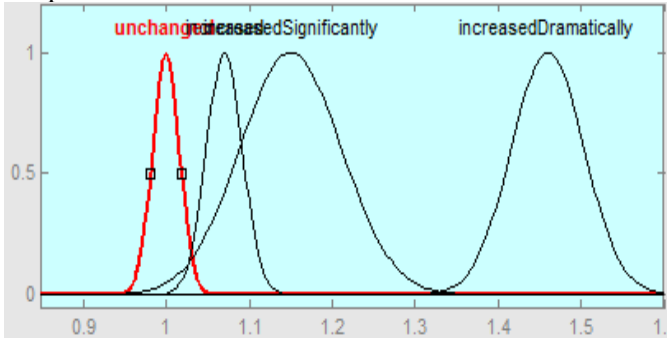
7. STOR  
Input:



Rules:

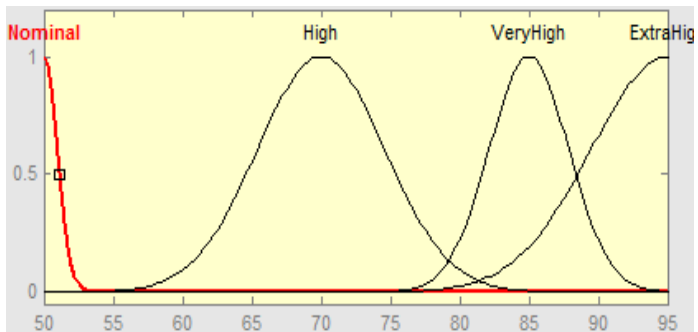
1. If (input1 is nominal) then (output1 is unchanged) (1)
2. If (input1 is high) then (output1 is increased) (1)
3. If (input1 is veryHigh) then (output1 is increasedSignificantly) (1)
4. If (input1 is extraHigh) then (output1 is increasedDramatically) (1)

Output:



## 8. TIME

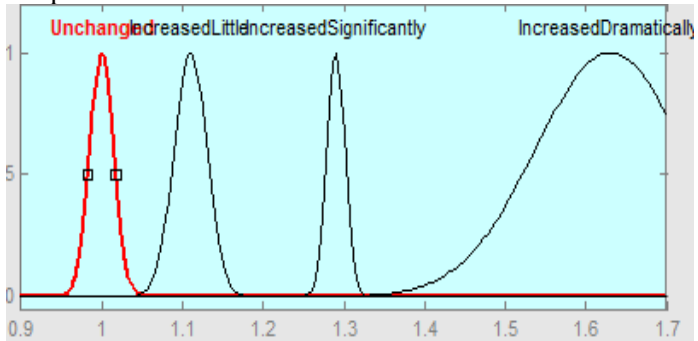
Input:



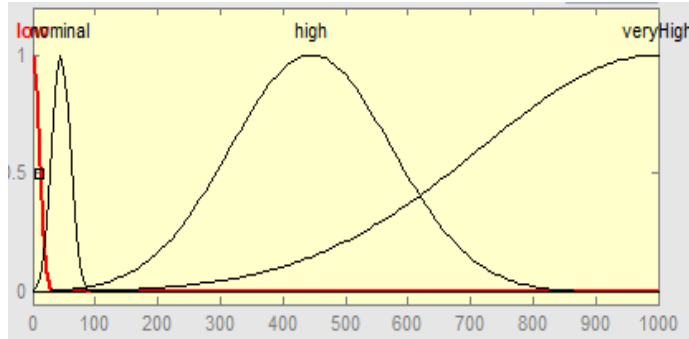
Rules:

1. If (input1 is Nominal) then (output1 is Unchanged) (1)
2. If (input1 is High) then (output1 is IncreasedLittle) (1)
3. If (input1 is VeryHigh) then (output1 is IncreasedSignificantly) (1)
4. If (input1 is ExtraHigh) then (output1 is IncreasedDramatically) (1)

Output:



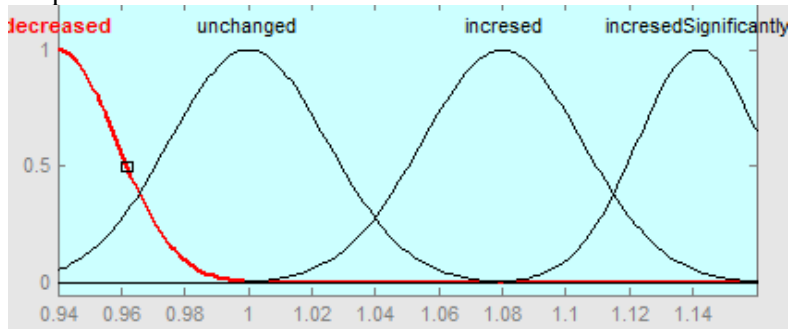
## 9. DATA Input:



Rules:

1. If (data is low) then (effort is decreased) (1)
2. If (data is nominal) then (effort is unchanged) (1)
3. If (data is high) then (effort is increased) (1)
4. If (data is veryHigh) then (effort is increasedSignificantly) (1)

Output:



#### D. Hasil estimasi biaya perangkat lunak menggunakan metode COCOMO 81.

##### 1. Menggunakan dataset COCOMO

| Nomor | Actual Effort | Estimated Effort |
|-------|---------------|------------------|
| 1     | 2040          | 1367.877         |

| <b>Nomor</b> | <b>Actual Effort</b> | <b>Estimated Effort</b> |
|--------------|----------------------|-------------------------|
| 2            | 1600                 | 1463.735                |
| 3            | 243                  | 262.0716                |
| 4            | 240                  | 293.6585                |
| 5            | 33                   | 43.92904                |
| 6            | 43                   | 26.43113                |
| 7            | 8                    | 10.49013                |
| 8            | 1075                 | 526.9614                |
| 9            | 423                  | 272.5884                |
| 10           | 321                  | 225.4711                |
| 11           | 218                  | 251.7521                |
| 12           | 201                  | 160.2893                |
| 13           | 79                   | 94.07467                |
| 14           | 60                   | 50.77675                |
| 15           | 61                   | 41.92675                |
| 16           | 40                   | 53.99408                |
| 17           | 9                    | 24.52728                |
| 18           | 11400                | 6274.686                |
| 19           | 6600                 | 6240.718                |
| 20           | 6400                 | 6200.662                |
| 21           | 2455                 | 1417.666                |
| 22           | 724                  | 607.5415                |
| 23           | 539                  | 353.4076                |
| 24           | 453                  | 325.4772                |
| 25           | 523                  | 212.701                 |
| 26           | 387                  | 248.0209                |
| 27           | 88                   | 61.15419                |
| 28           | 98                   | 149.1253                |
| 29           | 7.3                  | 9.155521                |
| 30           | 5.9                  | 6.411284                |

| <b>Nomor</b> | <b>Actual Effort</b> | <b>Estimated Effort</b> |
|--------------|----------------------|-------------------------|
| 31           | 1063                 | 701.8885                |
| 32           | 702                  | 1362.375                |
| 33           | 605                  | 503.1924                |
| 34           | 230                  | 148.4429                |
| 35           | 82                   | 115.599                 |
| 36           | 55                   | 40.88341                |
| 37           | 47                   | 109.5156                |
| 38           | 12                   | 22.34606                |
| 39           | 8                    | 8.977284                |
| 40           | 8                    | 9.907826                |
| 41           | 6                    | 4.942197                |
| 42           | 45                   | 128.1711                |
| 43           | 83                   | 119.3607                |
| 44           | 87                   | 160.8567                |
| 45           | 106                  | 122.0769                |
| 46           | 126                  | 262.8186                |
| 47           | 36                   | 38.26486                |
| 48           | 1272                 | 2204.634                |
| 49           | 156                  | 141.511                 |
| 50           | 176                  | 134.9874                |
| 51           | 122                  | 91.13987                |
| 52           | 41                   | 43.57293                |
| 53           | 14                   | 22.41917                |
| 54           | 20                   | 12.25775                |
| 55           | 18                   | 8.016535                |
| 56           | 958                  | 320.0898                |
| 57           | 237                  | 236.9018                |
| 58           | 130                  | 120.2498                |
| 59           | 70                   | 101.2212                |

| <b>Nomor</b> | <b>Actual Effort</b> | <b>Estimated Effort</b> |
|--------------|----------------------|-------------------------|
| 60           | 57                   | 53.67646                |
| 61           | 50                   | 55.95717                |
| 62           | 38                   | 45.41207                |
| 63           | 15                   | 15.27041                |

2. Menggunakan dataset NASA

| <b>Nomor</b> | <b>Actual Effort</b> | <b>Estimated Effort</b> |
|--------------|----------------------|-------------------------|
| 1            | 117.6                | 100.8713                |
| 2            | 117.6                | 95.21807                |
| 3            | 31.2                 | 25.92637                |
| 4            | 36                   | 27.81913                |
| 5            | 25.2                 | 33.57812                |
| 6            | 8.4                  | 6.373609                |
| 7            | 10.8                 | 10.72083                |
| 8            | 352.8                | 290.5114                |
| 9            | 72                   | 45.46674                |
| 10           | 72                   | 32.9817                 |
| 11           | 24                   | 10.52081                |
| 12           | 360                  | 200.0412                |
| 13           | 36                   | 27.99815                |
| 14           | 215                  | 475.8827                |
| 15           | 48                   | 40.52037                |
| 16           | 360                  | 418.2046                |
| 17           | 324                  | 491.4351                |
| 18           | 60                   | 74.792                  |
| 19           | 48                   | 29.35905                |
| 20           | 60                   | 140.5021                |
| 21           | 60                   | 74.2462                 |
| 22           | 300                  | 290.5114                |
| 23           | 120                  | 116.7005                |

| <b>Nomor</b> | <b>Actual Effort</b> | <b>Estimated Effort</b> |
|--------------|----------------------|-------------------------|
| 24           | 90                   | 62.21629                |
| 25           | 210                  | 182.5637                |
| 26           | 48                   | 30.95003                |
| 27           | 70                   | 62.18187                |
| 28           | 239                  | 224.7353                |
| 29           | 82                   | 66.26599                |
| 30           | 62                   | 50.54937                |
| 31           | 170                  | 144.0271                |
| 32           | 192                  | 158.4515                |
| 33           | 18                   | 17.786                  |
| 34           | 50                   | 36.30357                |
| 35           | 60                   | 50.64487                |
| 36           | 42                   | 32.28345                |
| 37           | 60                   | 61.01486                |
| 38           | 444                  | 360.4753                |
| 39           | 42                   | 35.42255                |
| 40           | 114                  | 85.45873                |
| 41           | 1248                 | 1202.737                |
| 42           | 2400                 | 1641.544                |
| 43           | 1368                 | 1139.556                |
| 44           | 973                  | 1353.757                |
| 45           | 400                  | 279.8254                |
| 46           | 2400                 | 1143.731                |
| 47           | 420                  | 436.9307                |
| 48           | 252                  | 194.2495                |
| 49           | 107                  | 170.1225                |
| 50           | 571.4                | 548.6515                |
| 51           | 98.8                 | 63.66255                |
| 52           | 155                  | 114.8087                |

| <b>Nomor</b> | <b>Actual Effort</b> | <b>Estimated Effort</b> |
|--------------|----------------------|-------------------------|
| 53           | 750                  | 602.7024                |
| 54           | 2120                 | 1509.588                |
| 55           | 370                  | 288.6738                |
| 56           | 1181                 | 1236.656                |
| 57           | 278                  | 277.9532                |
| 58           | 8.4                  | 2.342198                |
| 59           | 4560                 | 24726.5                 |
| 60           | 720                  | 1555.119                |
| 61           | 458                  | 606.4802                |
| 62           | 2460                 | 3077.954                |
| 63           | 162                  | 143.9988                |
| 64           | 150                  | 61.45643                |
| 65           | 636                  | 937.3165                |
| 66           | 882                  | 1712.897                |
| 67           | 444                  | 3384.476                |
| 68           | 192                  | 430.6556                |
| 69           | 576                  | 821.1095                |
| 70           | 432                  | 615.4906                |
| 71           | 72                   | 133.2667                |
| 72           | 300                  | 463.992                 |
| 73           | 300                  | 395.6275                |
| 74           | 240                  | 63.96183                |
| 75           | 600                  | 436.0427                |
| 76           | 756                  | 1086.801                |
| 77           | 1200                 | 2727.923                |
| 78           | 97                   | 1081.092                |
| 79           | 409                  | 497.9532                |
| 80           | 703                  | 919.1937                |
| 81           | 1350                 | 1558.496                |

| <b>Nomor</b> | <b>Actual Effort</b> | <b>Estimated Effort</b> |
|--------------|----------------------|-------------------------|
| 82           | 480                  | 787.8587                |
| 83           | 599                  | 358.0491                |
| 84           | 430                  | 188.3022                |
| 85           | 4178.2               | 4571.831                |
| 86           | 1772.5               | 1494.877                |
| 87           | 1645.9               | 1421.498                |
| 88           | 1924.5               | 1384.886                |
| 89           | 648                  | 133.4219                |
| 90           | 8211                 | 6917.299                |
| 91           | 480                  | 363.2361                |
| 92           | 12                   | 113.8764                |
| 93           | 38                   | 47.6551                 |

**E. Hasil estimasi biaya perangkat lunak menggunakan metode COCOMO II.**

1. Menggunakan *dataset* COCOMO

| <b>Nomor</b> | <b>Actual Effort</b> | <b>Estimated Effort</b> |
|--------------|----------------------|-------------------------|
| 1            | 2040                 | 825.8396                |
| 2            | 1600                 | 786.0756                |
| 3            | 243                  | 152.8003                |
| 4            | 240                  | 186.1924                |
| 5            | 33                   | 30.28344                |
| 6            | 43                   | 20.67529                |
| 7            | 8                    | 8.445329                |
| 8            | 1075                 | 326.4309                |
| 9            | 423                  | 165.7464                |
| 10           | 321                  | 122.5045                |
| 11           | 218                  | 135.1773                |
| 12           | 201                  | 96.20011                |

| <b>Nomor</b> | <b>Actual Effort</b> | <b>Estimated Effort</b> |
|--------------|----------------------|-------------------------|
| 13           | 79                   | 63.60861                |
| 14           | 60                   | 46.90938                |
| 15           | 61                   | 36.40239                |
| 16           | 40                   | 37.11213                |
| 17           | 9                    | 17.74082                |
| 18           | 11400                | 3278.062                |
| 19           | 6600                 | 2451.296                |
| 20           | 6400                 | 3030.931                |
| 21           | 2455                 | 759.2659                |
| 22           | 724                  | 366.7816                |
| 23           | 539                  | 226.3123                |
| 24           | 453                  | 167.7378                |
| 25           | 523                  | 217.2651                |
| 26           | 387                  | 163.8207                |
| 27           | 88                   | 42.82884                |
| 28           | 98                   | 110.363                 |
| 29           | 7.3                  | 8.660806                |
| 30           | 5.9                  | 6.73384                 |
| 31           | 1063                 | 379.2955                |
| 32           | 702                  | 721.4171                |
| 33           | 605                  | 290.488                 |
| 34           | 230                  | 116.1499                |
| 35           | 82                   | 79.27595                |
| 36           | 55                   | 61.44552                |
| 37           | 47                   | 67.83092                |
| 38           | 12                   | 14.74838                |
| 39           | 8                    | 7.319988                |
| 40           | 8                    | 8.059899                |
| 41           | 6                    | 4.032352                |

| <b>Nomor</b> | <b>Actual Effort</b> | <b>Estimated Effort</b> |
|--------------|----------------------|-------------------------|
| 42           | 45                   | 78.18626                |
| 43           | 83                   | 72.67917                |
| 44           | 87                   | 102.7661                |
| 45           | 106                  | 77.75473                |
| 46           | 126                  | 158.5703                |
| 47           | 36                   | 29.1772                 |
| 48           | 1272                 | 927.5519                |
| 49           | 156                  | 88.70502                |
| 50           | 176                  | 83.8572                 |
| 51           | 122                  | 61.00625                |
| 52           | 41                   | 33.98328                |
| 53           | 14                   | 20.48868                |
| 54           | 20                   | 8.942176                |
| 55           | 18                   | 6.044466                |
| 56           | 958                  | 194.837                 |
| 57           | 237                  | 182.6633                |
| 58           | 130                  | 69.38425                |
| 59           | 70                   | 65.70168                |
| 60           | 57                   | 41.06879                |
| 61           | 50                   | 36.21848                |
| 62           | 38                   | 35.56376                |
| 63           | 15                   | 11.17725                |

## 2. Menggunakan *dataset* NASA

| <b>Nomor</b> | <b>Actual Effort</b> | <b>Estimated Effort</b> |
|--------------|----------------------|-------------------------|
| 1            | 117.6                | 63.02231                |
| 2            | 117.6                | 59.85902                |
| 3            | 31.2                 | 18.73636                |
| 4            | 36                   | 19.95301                |
| 5            | 25.2                 | 23.60295                |

| <b>Nomor</b> | <b>Actual Effort</b> | <b>Estimated Effort</b> |
|--------------|----------------------|-------------------------|
| 6            | 8.4                  | 5.353246                |
| 7            | 10.8                 | 8.516528                |
| 8            | 352.8                | 162.0574                |
| 9            | 72                   | 27.75765                |
| 10           | 72                   | 22.31532                |
| 11           | 24                   | 7.751638                |
| 12           | 360                  | 111.5766                |
| 13           | 36                   | 19.87115                |
| 14           | 215                  | 266.8804                |
| 15           | 48                   | 25.83879                |
| 16           | 360                  | 237.0173                |
| 17           | 324                  | 244.3528                |
| 18           | 60                   | 44.21304                |
| 19           | 48                   | 19.37909                |
| 20           | 60                   | 75.68214                |
| 21           | 60                   | 47.93589                |
| 22           | 300                  | 162.0574                |
| 23           | 120                  | 71.78216                |
| 24           | 90                   | 41.69842                |
| 25           | 210                  | 111.3461                |
| 26           | 48                   | 22.76736                |
| 27           | 70                   | 43.44411                |
| 28           | 239                  | 136.8207                |
| 29           | 82                   | 45.98305                |
| 30           | 62                   | 36.10939                |
| 31           | 170                  | 91.9661                 |
| 32           | 192                  | 100.1471                |
| 33           | 18                   | 13.38312                |
| 34           | 50                   | 25.30625                |

| <b>Nomor</b> | <b>Actual Effort</b> | <b>Estimated Effort</b> |
|--------------|----------------------|-------------------------|
| 35           | 60                   | 34.06611                |
| 36           | 42                   | 24.59457                |
| 37           | 60                   | 44.7174                 |
| 38           | 444                  | 203.041                 |
| 39           | 42                   | 27.5184                 |
| 40           | 114                  | 61.09085                |
| 41           | 1248                 | 683.2473                |
| 42           | 2400                 | 729.3295                |
| 43           | 1368                 | 579.5059                |
| 44           | 973                  | 665.0868                |
| 45           | 400                  | 155.3521                |
| 46           | 2400                 | 537.1428                |
| 47           | 420                  | 231.6398                |
| 48           | 252                  | 106.2675                |
| 49           | 107                  | 104.0292                |
| 50           | 571.4                | 303.2152                |
| 51           | 98.8                 | 44.31607                |
| 52           | 155                  | 75.02633                |
| 53           | 750                  | 283.6427                |
| 54           | 2120                 | 678.821                 |
| 55           | 370                  | 154.982                 |
| 56           | 1181                 | 628.6329                |
| 57           | 278                  | 201.6256                |
| 58           | 8.4                  | 2.189964                |
| 59           | 4560                 | 7942.708                |
| 60           | 720                  | 395.0614                |
| 61           | 458                  | 198.1184                |
| 62           | 2460                 | 767.0012                |
| 63           | 162                  | 130.7617                |

| <b>Nomor</b> | <b>Actual Effort</b> | <b>Estimated Effort</b> |
|--------------|----------------------|-------------------------|
| 64           | 150                  | 58.1163                 |
| 65           | 636                  | 260.8757                |
| 66           | 882                  | 441.742                 |
| 67           | 444                  | 739.419                 |
| 68           | 192                  | 420.5714                |
| 69           | 576                  | 408.6822                |
| 70           | 432                  | 299.6844                |
| 71           | 72                   | 78.94996                |
| 72           | 300                  | 252.8463                |
| 73           | 300                  | 219.3055                |
| 74           | 240                  | 39.6933                 |
| 75           | 600                  | 220.2978                |
| 76           | 756                  | 588.5023                |
| 77           | 1200                 | 1304.337                |
| 78           | 97                   | 536.3226                |
| 79           | 409                  | 149.8181                |
| 80           | 703                  | 249.6968                |
| 81           | 1350                 | 623.2267                |
| 82           | 480                  | 259.9204                |
| 83           | 599                  | 135.0536                |
| 84           | 430                  | 79.05577                |
| 85           | 4178.2               | 1090.088                |
| 86           | 1772.5               | 429.4285                |
| 87           | 1645.9               | 402.3415                |
| 88           | 1924.5               | 428.9355                |
| 89           | 648                  | 56.36934                |
| 90           | 8211                 | 1539.336                |
| 91           | 480                  | 157.2928                |
| 92           | 12                   | 59.82916                |

| <b>Nomor</b> | <b>Actual Effort</b> | <b>Estimated Effort</b> |
|--------------|----------------------|-------------------------|
| 93           | 38                   | 28.94959                |

**F. Hasil estimasi biaya perangkat lunak menggunakan metode *Fuzzy-COCOMO II*.**

1. Menggunakan *dataset COCOMO*

| <b>Nomor</b> | <b>Actual Effort</b> | <b>Estimated Effort</b> |
|--------------|----------------------|-------------------------|
| 1            | 2040                 | 910.3922                |
| 2            | 1600                 | 934.4907                |
| 3            | 243                  | 179.7141                |
| 4            | 240                  | 205.4409                |
| 5            | 33                   | 35.17295                |
| 6            | 43                   | 20.00503                |
| 7            | 8                    | 9.808898                |
| 8            | 1075                 | 417.6927                |
| 9            | 423                  | 214.4811                |
| 10           | 321                  | 144.2406                |
| 11           | 218                  | 159.162                 |
| 12           | 201                  | 134.5261                |
| 13           | 79                   | 81.00259                |
| 14           | 60                   | 59.34822                |
| 15           | 61                   | 44.884                  |
| 16           | 40                   | 48.84001                |
| 17           | 9                    | 23.80328                |
| 18           | 11400                | 4947.29                 |
| 19           | 6600                 | 2991.67                 |
| 20           | 6400                 | 4344.538                |
| 21           | 2455                 | 861.8626                |
| 22           | 724                  | 476.6725                |
| 23           | 539                  | 258.103                 |

| <b>Nomor</b> | <b>Actual Effort</b> | <b>Estimated Effort</b> |
|--------------|----------------------|-------------------------|
| 24           | 453                  | 182.4407                |
| 25           | 523                  | 292.8381                |
| 26           | 387                  | 222.9877                |
| 27           | 88                   | 65.0782                 |
| 28           | 98                   | 125.3259                |
| 29           | 7.3                  | 8.569054                |
| 30           | 5.9                  | 6.838981                |
| 31           | 1063                 | 446.7725                |
| 32           | 702                  | 909.2499                |
| 33           | 605                  | 332.8152                |
| 34           | 230                  | 128.3674                |
| 35           | 82                   | 89.43886                |
| 36           | 55                   | 66.91285                |
| 37           | 47                   | 81.38751                |
| 38           | 12                   | 18.29248                |
| 39           | 8                    | 9.397619                |
| 40           | 8                    | 9.407457                |
| 41           | 6                    | 4.869156                |
| 42           | 45                   | 89.23647                |
| 43           | 83                   | 80.00909                |
| 44           | 87                   | 113.9012                |
| 45           | 106                  | 89.34859                |
| 46           | 126                  | 182.2144                |
| 47           | 36                   | 36.74156                |
| 48           | 1272                 | 1014.542                |
| 49           | 156                  | 111.8226                |
| 50           | 176                  | 108.4706                |
| 51           | 122                  | 67.01726                |
| 52           | 41                   | 40.28229                |

| <b>Nomor</b> | <b>Actual Effort</b> | <b>Estimated Effort</b> |
|--------------|----------------------|-------------------------|
| 53           | 14                   | 27.59244                |
| 54           | 20                   | 10.69675                |
| 55           | 18                   | 7.047305                |
| 56           | 958                  | 298.0578                |
| 57           | 237                  | 184.8431                |
| 58           | 130                  | 85.94343                |
| 59           | 70                   | 77.84883                |
| 60           | 57                   | 56.96626                |
| 61           | 50                   | 41.82754                |
| 62           | 38                   | 40.20995                |
| 63           | 15                   | 14.08743                |

2. Menggunakan dataset NASA

| <b>Nomor</b> | <b>Actual Effort</b> | <b>Estimated Effort</b> |
|--------------|----------------------|-------------------------|
| 1            | 117.6                | 85.40365                |
| 2            | 117.6                | 81.11698                |
| 3            | 31.2                 | 25.39027                |
| 4            | 36                   | 27.03899                |
| 5            | 25.2                 | 31.98515                |
| 6            | 8.4                  | 7.254364                |
| 7            | 10.8                 | 11.54103                |
| 8            | 352.8                | 219.6094                |
| 9            | 72                   | 31.57056                |
| 10           | 72                   | 26.7639                 |
| 11           | 24                   | 9.116992                |
| 12           | 360                  | 133.8195                |
| 13           | 36                   | 23.61157                |
| 14           | 215                  | 299.1434                |
| 15           | 48                   | 30.38997                |
| 16           | 360                  | 266.823                 |
| 17           | 324                  | 293.0647                |

| <b>Nomor</b> | <b>Actual Effort</b> | <b>Estimated Effort</b> |
|--------------|----------------------|-------------------------|
| 18           | 60                   | 51.22921                |
| 19           | 48                   | 22.79248                |
| 20           | 60                   | 87.69213                |
| 21           | 60                   | 64.95953                |
| 22           | 300                  | 219.6094                |
| 23           | 120                  | 97.27443                |
| 24           | 90                   | 48.69824                |
| 25           | 210                  | 130.0375                |
| 26           | 48                   | 26.58927                |
| 27           | 70                   | 70.41698                |
| 28           | 239                  | 221.7678                |
| 29           | 82                   | 74.53226                |
| 30           | 62                   | 58.5284                 |
| 31           | 170                  | 149.0645                |
| 32           | 192                  | 162.3249                |
| 33           | 18                   | 18.13591                |
| 34           | 50                   | 34.29336                |
| 35           | 60                   | 46.16413                |
| 36           | 42                   | 28.59699                |
| 37           | 60                   | 51.99454                |
| 38           | 444                  | 235.8236                |
| 39           | 42                   | 31.99664                |
| 40           | 114                  | 71.03253                |
| 41           | 1248                 | 1067.906                |
| 42           | 2400                 | 840.7697                |
| 43           | 1368                 | 666.361                 |
| 44           | 973                  | 771.4771                |
| 45           | 400                  | 181.2314                |
| 46           | 2400                 | 616.1804                |

| <b>Nomor</b> | <b>Actual Effort</b> | <b>Estimated Effort</b> |
|--------------|----------------------|-------------------------|
| 47           | 420                  | 277.8174                |
| 48           | 252                  | 121.8218                |
| 49           | 107                  | 123.8064                |
| 50           | 571.4                | 388.6947                |
| 51           | 98.8                 | 56.80922                |
| 52           | 155                  | 96.17701                |
| 53           | 750                  | 323.7304                |
| 54           | 2120                 | 807.8736                |
| 55           | 370                  | 184.446                 |
| 56           | 1181                 | 1054.685                |
| 57           | 278                  | 277.0413                |
| 58           | 8.4                  | 2.967694                |
| 59           | 4560                 | 8675.729                |
| 60           | 720                  | 497.4719                |
| 61           | 458                  | 232.9024                |
| 62           | 2460                 | 901.665                 |
| 63           | 162                  | 151.5122                |
| 64           | 150                  | 67.33877                |
| 65           | 636                  | 302.274                 |
| 66           | 882                  | 503.0545                |
| 67           | 444                  | 856.7572                |
| 68           | 192                  | 483.0743                |
| 69           | 576                  | 543.0544                |
| 70           | 432                  | 398.2188                |
| 71           | 72                   | 104.9082                |
| 72           | 300                  | 335.9806                |
| 73           | 300                  | 291.4118                |
| 74           | 240                  | 52.74421                |
| 75           | 600                  | 292.7304                |

| <b>Nomor</b> | <b>Actual Effort</b> | <b>Estimated Effort</b> |
|--------------|----------------------|-------------------------|
| 76           | 756                  | 781.9984                |
| 77           | 1200                 | 1733.195                |
| 78           | 97                   | 712.6622                |
| 79           | 409                  | 170.9921                |
| 80           | 703                  | 284.9869                |
| 81           | 1350                 | 690.8687                |
| 82           | 480                  | 340.2062                |
| 83           | 599                  | 192.8101                |
| 84           | 430                  | 112.8645                |
| 85           | 4178.2               | 1203.715                |
| 86           | 1772.5               | 474.1909                |
| 87           | 1645.9               | 444.2804                |
| 88           | 1924.5               | 473.6465                |
| 89           | 648                  | 72.75556                |
| 90           | 8211                 | 1699.792                |
| 91           | 480                  | 198.9599                |
| 92           | 12                   | 75.67799                |
| 93           | 38                   | 36.61838                |

## G. Daftar Istilah

| No. | Istilah              | Deskripsi                                                    |
|-----|----------------------|--------------------------------------------------------------|
| 1.  | <i>Input</i>         | Masukan berupa nilai atau data                               |
| 2.  | <i>Output</i>        | Keluaran berupa nilai atau data                              |
| 3.  | <i>Field</i>         | Kolom tempat mengisi nilai atau atribut                      |
| 4.  | <i>Testing</i>       | Data yang digunakan untuk proses uji coba                    |
| 5.  | <i>Training</i>      | Data yang digunakan untuk proses pembelajaran                |
| 6.  | <i>Dataset</i>       | Kumpulan data                                                |
| 7.  | <i>Weight</i>        | Nilai yang digunakan sebagai pengali antara beberapa atribut |
| 8.  | <i>Data point</i>    | Setiap bari data yang terdapat pada <i>dataset</i> .         |
| 9.  | <i>Actual Effort</i> | Nilai usaha yang sebenarnya                                  |

|     |                            |                                                                                 |
|-----|----------------------------|---------------------------------------------------------------------------------|
| 10. | <i>Estimated Effort</i>    | Nilai estimasi usaha                                                            |
| 11. | <i>Membership Function</i> | Fungsi keanggotaan terhadap suatu kurva                                         |
| 12. | <i>FIS</i>                 | Sebuah alat yang terdapat pada tool Matlab untuk menggambarkan <i>fuzzy set</i> |
| 13. | <i>Fuzzy set</i>           | Sebuah kurva yang menggambarkan                                                 |
| 14. | <i>Layer</i>               | Lapisan                                                                         |
| 15. | <i>Crisp Data</i>          | Data yang bersifat mutlak, biasanya nilai yang selalu sama                      |
| 16. | <i>Sigmoid</i>             | Salah satu model perhitungan aktivasi pada <i>neural network</i>                |
| 17. | <i>Node</i>                | Setiap inputan pada <i>neural network</i>                                       |

(Halaman ini sengaja dikosongkan)

## BIODATA PENULIS



Penulis, Johannes Christian Pandapotan Sidabutar lahir di Jakarta pada 06 Agustus 1993. Penulis adalah anak pertama dari dua bersaudara dan dibesarkan di Pematangsiantar, Sumatera Utara.

Penulis menempuh pendidikan formal di TK Slamet Riyadi Jakarta (1997-1999), SD Kalam Kudus Pematangsiantar (1999-2005), SMP Kalam Kudus Pematangsiantar (2005-2008), dan SMA Kalam Kudus Pematangsiantar (2008-2011). Pada tahun 2011, penulis memulai pendidikan S1 jurusan Teknik Informatika Fakultas Teknologi Informasi di Institut Teknologi Sepuluh Nopember, Surabaya, Jawa Timur.

Di jurusan Teknik Informatika, penulis mengambil bidang minat Manajemen Informasi (MI) dan memiliki ketertarikan di bidang *software enterprise*, *business process*, SAP, kecerdasan komputasional. Penulis juga aktif dalam organisasi kemahasiswaan yaitu Himpunan Mahasiswa Teknik *Computer* Informatika (HMTC) yaitu sebagai staff departemen riset dan teknologi HMTC 2012/2013. Penulis sempat menjadi asisten dosen selama menjalani perkuliahan di Teknik Informatika yaitu asisten dosen mata kuliah aljabar linier. Penulis dapat dihubungi melalui alamat email [jo.chris93@gmail.com](mailto:jo.chris93@gmail.com).